

**UNIVERSIDADE TECNOLÓGICA FEDERAL DO PARANÁ**

**ROGÉRIO ZOLIN BERTECHINI**

**ANÁLISE ELÁSTICA LINEAR DE PLACAS DELGADAS ISOTRÓPICAS  
UTILIZANDO O ELEMENTO FINITO TRIANGULAR**

**CAMPO MOURÃO**

**2022**

**ROGÉRIO ZOLIN BERTECHINI**

**ANÁLISE ELÁSTICA LINEAR DE PLACAS DELGADAS ISOTRÓPICAS  
UTILIZANDO O ELEMENTO FINITO TRIANGULAR**

**Linear elastic analysis of isotropic thin plates by triangular finite element**

Trabalho de Conclusão de Curso de Graduação apresentado como requisito para obtenção do título de Bacharel em Engenharia Civil ao Curso Superior de Engenharia Civil do Departamento Acadêmico de Construção Civil da Universidade Tecnológica Federal do Paraná (UTFPR).

Orientador: Prof. Dr. Leandro Waidemam

**CAMPO MOURÃO**

**2022**



[4.0 Internacional](https://creativecommons.org/licenses/by/4.0/)

Esta licença permite compartilhamento, remixe, adaptação e criação a partir do trabalho, mesmo para fins comerciais, desde que sejam atribuídos créditos ao(s) autor(es). Conteúdos elaborados por terceiros, citados e referenciados nesta obra não são cobertos pela licença.

**ROGÉRIO ZOLIN BERTECHINI**

**ANÁLISE LINEAR ELÁSTICA DE PLACAS DELGADAS ISOTRÓPICAS  
UTILIZANDO O ELEMENTO FINITO TRIANGULAR**

Trabalho de Conclusão de Curso de Graduação apresentado como requisito para obtenção do título de Bacharel em Engenharia Civil ao Curso Superior de Engenharia Civil do Departamento Acadêmico de Construção Civil da Universidade Tecnológica Federal do Paraná (UTFPR).

Orientador: Prof. Dr. Leandro Waidemam

Data de aprovação: 17 de Novembro de 2022

---

Leandro Waidemam  
Doutorado  
Universidade Tecnológica Federal do Paraná - Campus Campo Mourão

---

Jorge Luís Nunes de Góes  
Doutorado  
Universidade Tecnológica Federal do Paraná - Campus Campo Mourão

---

Marcelo Rodrigo Carreira  
Doutorado  
Universidade Tecnológica Federal do Paraná - Campus Campo Mourão

**CAMPO MOURÃO  
2022**

Aos meus pais Pedro e Dolores (in memoriam),  
por todos os momentos de ausência.

## AGRADECIMENTOS

Agradeço primeiramente à Deus, que jamais me abandonou, mesmo em meio à todas as dificuldades que se fizeram presentes no decorrer de minha vida, e por me dar saúde para continuar seguindo em frente.

Agradeço também à minha mãe Dolores Aparecida Zolin Bertechini (*in memoriam*) por depositar sua confiança na minha capacidade (quando por muitas vezes, já nem eu mesmo confiava), além de ter sido minha mais leal amizade, bem como um dos meus maiores exemplos de caráter, juntamente com meu pai.

Ao meu pai Pedro Bertechini, por me ensinar a perseverar e a continuar seguindo em frente, mantendo a calma. E, ainda, por fornecer todo o apoio necessário para que eu não desistisse dos meus objetivos no decorrer desta graduação.

Aos demais familiares, pelo incentivo e apoio.

Ao meu orientador, Prof. Dr. Leandro Waidemam, o responsável por despertar em mim a curiosidade pela análise de estruturas e pelo Método dos Elementos Finitos. Agradeço pela grande contribuição na minha formação acadêmica, pela amizade, pela paciência e sobretudo pela excelente orientação neste trabalho.

Ao Prof. Dr. Jorge Luís Nunes de Góes, tutor do PET Civil, programa que fiz parte durante um breve período, porém de grande relevância em meu desenvolvimento acadêmico e pessoal. Agradeço por seus conselhos, conhecimentos transmitidos e confiança.

Ao Prof. Dr. Wellington José Corrêa, por ser sempre solícito quando precisei de ajuda com o LaTeX e com as formalidades matemáticas.

A todos os professores do curso de engenharia civil da UTFPR-CM pelos conhecimentos passados ao longo desses anos e ao grupo PET Civil pelo acolhimento nessa incrível família e pelos bons momentos vividos, os quais jamais esquecerei.

À todas as amizades construídas no decorrer de minha vida, podendo citar: Ana Caroline, Bruno, Gabriel, Henrique, Igor, Jaqueline, Maibuk, Maria Fernanda, Milena e Willyan. E, em especial à Laysa Samara e Ana Paula Vieira por estarem presentes tanto nos momentos bons quanto nos não tão bons assim, e à Guilherme Zarski, para mim exemplo de determinação e perseverança.

E, por fim, a todos que direta ou indiretamente fizeram parte da minha vida acadêmica e contribuíram para que este trabalho se tornasse possível.

“Faça o que puder, com o que tiver, onde estiver.”  
- Theodore Roosevelt

## RESUMO

O presente trabalho tem como objetivo apresentar uma formulação matemática embasada no Método dos Elementos Finitos (MEF) capaz de realizar a análise linear de placas delgadas. As placas em questão são discretizadas fazendo-se o uso do elemento finito triangular contando com três graus de liberdade em cada um dos três nós do elemento, culminando em um total de nove graus de liberdade por elemento, sendo o campo de deslocamentos no sentido perpendicular ao plano médio da placa aproximado por um polinômio cúbico contendo nove termos. De modo a tornar válida a formulação apresentada, foi implementado um algoritmo computacional no *software* MATLAB® capaz de realizar tal análise para diversas condições de carregamento e vinculação. Ao final, elaborou-se e executou-se alguns exemplos, os quais foram submetidos à uma análise quantitativa e qualitativa comparando-os com resultados fornecidos pelas tabelas de Bares e Czérny, pelo *software* SCIA Engineer, bem como por outros autores.

Palavras-chave: Método dos Elementos Finitos; análise linear de estruturas; placas delgadas.

## **ABSTRACT**

The present work has the purpose of presenting a mathematical formulation based on Finite Element Method (FEM) able to perform thin plates linear analysis. The concerned plates are discretized using the triangular finite element with three degrees of freedom in each one of the three nodes, culminating in a total of nine degrees of freedom per element, and the displacement field on the perpendicular direction of the medium plan of the plate is approximated by a cubic polynomial containing nine terms. In order to make valid the presented formulation, a computational algorithm has been implemented in MATLAB<sup>®</sup> software, able to perform such analysis for several load and boundary conditions. At the end, it was elaborated and performed some examples, which were submitted at a qualitative and quantitative analysis comparing them with the results provided by the Bares and Czérny tables, SCIA Engineer, as well as by other authors.

Keywords: Finite Element Method; linear analysis of structures; thin plates.



## LISTA DE FIGURAS

Figura 1	- Deformação de um elemento plano infinitesimal.....	19
Figura 2	- O elemento plano de tensões.....	22
Figura 3	- Deslocamento de um ponto situado em uma seção normal ao plano da placa.....	24
Figura 4	- Placa submetida à um carregamento e as devidas tensões atuantes..	26
Figura 5	- Esforços atuantes em uma placa submetida a um carregamento distribuído.....	27
Figura 6	- Representação gráfica da integral de momento fletor.....	28
Figura 7	- Elemento triangular e seus graus de liberdade.....	40
Figura 8	- Refinamento de malha.....	41
Figura 9	- Elemento com maior número de nós.....	41
Figura 10	- Elemento triangular genérico.....	42
Figura 11	- Ponto P admitido em uma coordenada $(x, y)$ do elemento triangular.	42
Figura 12	- Valores de cada coordenada ao longo do elemento triangular.....	44
Figura 13	- Fluxograma referente ao processo de cálculo.....	53
Figura 14	- Placa quadrada com todos os bordos simplesmente apoiados submetida a carregamento uniformemente distribuído.....	58
Figura 15	- Convergência do momento $M_x$ .....	59
Figura 16	- Convergência do momento $M_y$ .....	60
Figura 17	- Convergência dos deslocamentos.....	60
Figura 18	- Convergência do erro percentual relativo para os momentos fletores.	61
Figura 19	- Convergência do erro percentual relativo para os deslocamentos.....	62
Figura 20	- Configuração deformada da placa (valores em $cm$ ).....	63
Figura 21	- Placa quadrada com carga pontual aplicada no centro.....	64
Figura 22	- Comparação da deflexão das placas nas configurações apoiada e engastada com os valores obtidos de Leal (2015).....	65
Figura 23	- Convergência do erro percentual para a deflexão da placa.....	66
Figura 24	- Configuração deformada da placa apoiada em todas as bordas (valores em $cm$ ).....	67
Figura 25	- Configuração deformada da placa engastada em todas as bordas (valores em $cm$ ).....	67
Figura 26	- Placa retangular com dois bordos simplesmente apoiados e dois bordos engastados.....	68
Figura 27	- Configuração deformada da placa obtida por meio do código implementado (valores em $cm$ ).....	70
Figura 28	- Configuração deformada da placa obtida por meio do SCIA Engineer	70
Figura 29	- Comparação entre os deslocamentos obtidos via código implementado e via SCIA Engineer, na seção $y = 220\text{ cm}$ .....	71
Figura 30	- Distribuição de $M_x$ obtida por meio do código implementado (dimensões da placa em $cm$ ).....	72
Figura 31	- Distribuição de $M_x$ obtida por meio do SCIA Engineer.....	72
Figura 32	- Distribuição de $M_y$ obtida por meio do código implementado (dimensões da placa em $cm$ ).....	73
Figura 33	- Distribuição de $M_y$ obtida por meio do SCIA Engineer .....	73
Figura 34	- Momentos fletores $M_x$ obtidos na seção $y = 220\text{ cm}$ da placa por meio do código implementado e do SCIA Engineer.....	74

Figura 35 - Momentos fletores $M_y$ obtidos na seção $x = 350 \text{ cm}$ da placa por meio do código implementado e do SCIA Engineer.....	74
Figura 36 - Casos de vinculação - tabela de Bares.....	118
Figura 37 - Coeficientes $\alpha$ para o cálculo de flechas - tabela de Bares adaptada para $\nu = 0,2$ .....	119
Figura 38 - Coeficientes $\mu_x$ e $\mu_y$ para o cálculo de momentos - tabela de Bares adaptada para $\nu = 0,2$ , casos 1, 2 e 3.....	120
Figura 39 - Coeficientes para o cálculo de momentos - tabela de Czérny adaptada para $\nu = 0,2$ .....	121

## LISTA DE TABELAS

Tabela 1	- Comparação entre resultados de momentos e deslocamentos obtidos para o ponto central da placa, através do código implementado e das tabelas de Bares e Czérny.....	59
Tabela 2	- Comparação dos resultados obtidos através do código implementado com os obtidos por Leal (2015).....	65
Tabela 3	- Comparação entre resultados obtidos através do código implementado e do software SCIA Engineer para a mesma quantidade de elementos em ambos os lados.....	69
Tabela 4	- Comparação entre resultados obtidos através do código implementado e do software SCIA Engineer para uma maior quantidade de elementos na maior dimensão da placa.....	69
Tabela 5	- Comparação entre valores dos coeficientes das tabelas de Bares e Czérny com os valores obtidos por meio do código implementado para diferentes valores da relação $l_y/l_x$ .....	76

## LISTA DE ABREVIATURAS E SIGLAS

DCL	Diagrama de corpo livre
EDP	Equação diferencial parcial
ELS	Estado limite de serviço
ELU	Estado limite último
MATLAB®	<i>Matrix Laboratory</i>
MEF	Método dos Elementos finitos
PTV	Princípio dos Trabalhos Virtuais

## LISTA DE SÍMBOLOS

$\{\sigma\}$	Vetor que contém as tensões
$\sigma$	Tensão normal
$\tau$	Tensão de cisalhamento
$\{\epsilon\}$	Vetor que contém as deformações
$\epsilon$	Deformação normal
$\gamma$	Deformação angular
$Q$	Força cortante
$M$	Momento
$t$	Espessura da placa
$u$	Deslocamento linear na direção $x$
$v$	Deslocamento linear na direção $y$
$w$	Função que fornece a deflexão da placa na direção $z$
$\theta$	Deslocamento angular no plano $x - y$
$\varphi$	Deslocamentos angulares nos planos $x - z$ e $y - z$
$[E]$	Matriz constitutiva
$E$	Módulo de elasticidade longitudinal (Módulo de Young)
$\nu$	Coefficiente de Poisson
$p$	Carga distribuída na área da placa
$D$	Rigidez da placa à flexão
$U_e$	Trabalho externo exercido por uma força
$U_i$	Energia interna de deformação
$A$	Área da placa
$R$	Reação vertical na borda da placa
$[\phi]$	Matriz que contém as funções de forma
$[L]$	Matriz que contém os operadores diferenciais
$[k]$	Matriz de rigidez do elemento
$\{d\}$	Vetor de deslocamentos nodais
$\xi_1$	Primeira coordenada homogênea
$\xi_2$	Segunda coordenada homogênea
$\xi_3$	Terceira coordenada homogênea
$[\psi]$	Matriz contendo as coordenadas homogêneas do polinômio aproximador
$\{\alpha\}$	Vetor contendo as constantes do polinômio aproximador

## SUMÁRIO

<b>1</b>	<b>INTRODUÇÃO</b> .....	<b>15</b>
<b>1.1</b>	<b>Objetivos</b> .....	<b>16</b>
1.1.1	Objetivo Geral .....	17
1.1.2	Objetivos específicos.....	17
<b>1.2</b>	<b>Justificativa</b> .....	<b>17</b>
<b>2</b>	<b>FUNDAMENTAÇÃO TEÓRICA</b> .....	<b>19</b>
<b>2.1</b>	<b>Teoria da elasticidade bidimensional</b> .....	<b>19</b>
2.1.1	Relações deformação-deslocamento .....	19
2.1.2	Relações tensão-deformação.....	21
<b>2.2</b>	<b>Teoria de placas delgadas</b> .....	<b>23</b>
2.2.1	Relações deformação-deslocamento aplicadas ao problema de placas delgadas.....	24
2.2.2	Equilíbrio de uma placa .....	26
2.2.3	Condições de contorno .....	32
<u>2.2.3.1</u>	<u>Borda simplesmente apoiada</u> .....	<u>32</u>
<u>2.2.3.2</u>	<u>Borda engastada</u> .....	<u>33</u>
<u>2.2.3.3</u>	<u>Borda livre</u> .....	<u>33</u>
<b>2.3</b>	<b>Método dos Elementos Finitos (MEF)</b> .....	<b>34</b>
2.3.1	Princípio dos Trabalhos Virtuais (PTV).....	35
2.3.2	Elemento finito triangular .....	39
<u>2.3.2.1</u>	<u>Relação geral entre coordenadas</u> .....	<u>41</u>
<u>2.3.2.2</u>	<u>Funções de forma</u> .....	<u>44</u>
<u>2.3.2.3</u>	<u>Matriz de rigidez</u> .....	<u>49</u>
<u>2.3.2.4</u>	<u>Vetor de cargas nodais equivalentes</u> .....	<u>51</u>
<b>3</b>	<b>ASPECTOS COMPUTACIONAIS</b> .....	<b>52</b>
<b>3.1</b>	<b>Esquema geral de cálculo</b> .....	<b>52</b>
<b>3.2</b>	<b>Etapas</b> .....	<b>54</b>
3.2.1	Entrada de dados .....	54
3.2.2	Propriedades e coeficientes .....	54
3.2.3	Montagem da matriz de rigidez .....	54
3.2.4	Montagem do vetor de forças .....	55
3.2.5	Condições de contorno.....	55

3.2.6	Resolução do sistema .....	55
3.2.7	Deslocamentos .....	56
3.2.8	Momentos.....	56
3.2.9	Resultados gráficos .....	56
<b>4</b>	<b>ANÁLISE NUMÉRICA.....</b>	<b>57</b>
<b>4.1</b>	<b>Generalidades .....</b>	<b>57</b>
4.1.1	Uso de tabelas .....	57
4.1.2	Erro relativo .....	57
<b>4.2</b>	<b>Exemplo 1 - Placa quadrada submetida a carregamento distri- buído uniforme .....</b>	<b>58</b>
<b>4.3</b>	<b>Exemplo 2 - Placa quadrada submetida a carregamento apli- cado no centro .....</b>	<b>63</b>
<b>4.4</b>	<b>Exemplo 3 - Placa retangular submetida a carregamento distri- buído uniforme .....</b>	<b>68</b>
<b>4.5</b>	<b>Exemplo 4 - Placas simplesmente apoiadas genéricas com di- ferentes relações entre suas dimensões.....</b>	<b>75</b>
<b>5</b>	<b>CONSIDERAÇÕES FINAIS .....</b>	<b>77</b>
	<b>REFERÊNCIAS .....</b>	<b>79</b>
	<b>APÊNDICE A - CÓDIGO FONTE DO PROGRAMA (COMENTADO)..</b>	<b>81</b>
	<b>ANEXO A - TABELAS DE BARES E CZÉRNÝ .....</b>	<b>117</b>

## 1 INTRODUÇÃO

A análise estrutural é de suma importância no âmbito da construção civil, pois a mesma possibilita a realização de uma estrutura viável economicamente, e sobretudo segura para seus devidos fins. Nos projetos estruturais deve-se garantir que a estrutura permaneça íntegra durante sua vida útil prevista em norma, para tal é necessário assegurar dois estados limites, o ELU (Estado Limite Último), que garante que a estrutura não sofrerá colapso, e o ELS (Estado Limite de Serviço), que é imposto basicamente para garantir que a estrutura não apresente deformações excessivas, não comprometendo a usabilidade e conforto por parte dos usuários.

Em uma estrutura geralmente são usados vários tipos de elementos estruturais, sendo os mais comuns os pilares, as vigas, as estacas, os blocos de fundação, as sapatas, e as lajes, que por sua vez, podem ser subdivididas em treliçadas, nervuradas ou maciças, sendo a última configuração objetos de estudo deste trabalho.

Pela definição de Bastos (2021) as lajes são elementos planos, bidimensionais e de superfície, nos quais duas dimensões predominam sobre a terceira, sendo esta a espessura. Nesses elementos as cargas atuam de maneira perpendicular à sua superfície, distribuídas em uma área, linearmente, ou de forma pontual, cargas estas que podem ser transmitidas para as vigas, ou de forma menos comum, diretamente aos pilares.

As lajes maciças são estudadas por meio das teorias de placas, sendo subdivididas em placas espessas ou delgadas, com grandes ou pequenas deformações. A escolha de qual teoria aplicar se deve à geometria do problema que se quer resolver, no entanto, algumas teorias são mais complexas que outras, necessitando de considerações adicionais.

Todas as teorias de placas, entretanto, envolvem a resolução de equações diferenciais parciais, que torna o processo trabalhoso e muitas vezes inviável de forma analítica, fazendo com que, no passado, fossem utilizadas séries de Fourier para aproximar as soluções. Todavia, o processo para esse tipo de resolução é bastante complexo e demorado.

Devido à tal complexidade, com o aprimoramento dos computadores, foram desenvolvidos métodos numéricos capazes de encontrar as soluções dessas equações diferenciais de forma muito mais rápida, o que trouxe grande evolução para a



engenharia estrutural.

A análise estrutural utilizada nos dias atuais possui quatro níveis de abstração, sendo eles a estrutura real, ou seja, a estrutura em sua integridade, conforme será quando for construída; o modelo estrutural, que é um diagrama composto por linhas e planos, indicando as forças, momentos e outros agentes físicos agindo nele, conhecido como diagrama de corpo livre (DCL); o modelo discreto, fruto do processo chamado de discretização, que pode ser realizado de diversas maneiras a depender do método de análise que se pretende utilizar; e, por último, o modelo computacional, que se trata da implementação computacional do método de análise desejado (MARTHA, 2010).

Um dos métodos numéricos mais utilizados na análise estrutural atualmente é o Método dos Elementos Finitos (MEF), presente em praticamente todos os *softwares* comerciais voltados à esse fim, tendo superado métodos como o de Rayleigh-Ritz, de Galerkin, diferenças finitas e resíduos ponderados. O MEF se sobressai aos dois primeiros devido à dificuldade na obtenção de funções aproximadoras que estes apresentam, além do fato de que essas funções tinham que ter ordem elevada, tornando os cálculos demasiadamente árduos ou em algumas circunstâncias até mesmo impraticáveis (ASSAN, 2003).

O MEF iniciou-se sendo utilizado para a análise de estruturas reticuladas, não obstante o mesmo se mostrou também extremamente útil na análise de estruturas contínuas em duas ou três dimensões, bem como em problemas contendo não-linearidades físicas, inclusive fora desse campo, tais como engenharia geotécnica, interações fluido-mecânicas e análises de fluxo térmico e hidráulico (VAZ, 2011).

Tendo em vista este cenário, o presente trabalho apresenta uma formulação do MEF direcionada à análise linear de placas delgadas isotrópicas.

## **1.1 Objetivos**

Os objetivos geral e específicos do trabalho são apresentados nas seções 1.1.1 e 1.1.2.

### 1.1.1 Objetivo Geral

Apresentar a formulação matemática e um código computacional para a análise estática linear de placas delgadas via MEF usando o elemento finito triangular.

### 1.1.2 Objetivos específicos

- Deduzir, por meio da teoria das placas delgadas, a equação diferencial parcial que descreve o fenômeno físico da deflexão de uma placa retangular, e as condições de contorno intrínsecas ao problema;
- Descrever o método dos elementos finitos aplicado ao problema, considerando, para isso, o elemento finito triangular;
- Desenvolver um código implementado no *software* MATLAB® fundamentado no MEF para a solução do problema proposto;
- Comparar os resultados obtidos com o código desenvolvido com as tabelas clássicas, com outros autores e com o *software* comercial SCIA Engineer, de modo a verificar o correto desenvolvimento e implementação do código computacional.

## 1.2 Justificativa

As placas estão contidas em uma infinidade de construções, isso se deve ao fato de que seu modo de transferir esforços é extremamente útil tendo em vista os propósitos do ser humano. Diniz et al (2013) diz que elas são as principais responsáveis por receber cargas diretamente, sendo variáveis ou permanentes, e as transmitem para as vigas de bordo que, por sua vez transferem-nas aos pilares.

Em um único pavimento de um edifício, por exemplo, pode-se ter várias lajes maciças, não se limitando, todavia, a esse tipo de edificação, visto que elas estão presentes também em pontes, viadutos, passarelas suspensas, barracões industriais, etc.

Existe um interesse especial em saber-se o quanto uma placa irá defletir, pois uma deflexão exagerada desencadeará desconforto e insegurança aos habitantes da edificação. A ABNT NBR 6118:2014 impõe uma limitação com base nessas premissas, o que é chamado de estado limite de serviço (ELS), onde são levados em consi-

deração a aceitabilidade sensorial das pessoas, efeitos em elementos não estruturais, tais como paredes e forros que possam sofrer danos com a movimentação da placa, e efeitos nos próprios elementos estruturais.

Entretanto, o interesse não se limita na deflexão, há ainda a necessidade da obtenção das tensões atuantes na placa e das reações de apoio da mesma, a fim de que se possa dimensionar a mesma e seus apoios para que apresente segurança aos ocupantes e também de modo que o custo de execução não seja maior que o necessário.

O avanço dos computadores permitiu que cálculos estimados por meio de métodos executados manualmente, como expansão em séries, fossem substituídos por métodos numéricos como o MEF, que quando implementado computacionalmente com uma precisão adequada fornece resultados muito próximos dos exatos.

Segundo Cook et al (2002), os erros são intrínsecos ao MEF, exceto nos casos onde o problema é simples a ponto de não necessitar do uso do método. No entanto, uma série de fatores podem reduzir o erro envolvido nos cálculos, tais como o tipo, o tamanho e a forma dos elementos, o tamanho da malha, e ainda quais condições de contorno e restrições são impostas ao mesmo.

Além disso, o presente trabalho visa também ser uma fonte de aprendizado, tendo em vista que muitos engenheiros que se propõem a utilizar programas computacionais baseados em elementos finitos acabam por ter dificuldades, dado que a aprendizagem é feita sem a base conceitual necessária, já que buscam simplesmente aprender a usar os softwares e não o MEF (ALVES FILHO, 2000).

## 2 FUNDAMENTAÇÃO TEÓRICA

Neste capítulo serão apresentadas as teorias referentes ao assunto abordado no trabalho, tais como as teorias da elasticidade bidimensional e de placas delgadas e o Método dos Elementos Finitos.

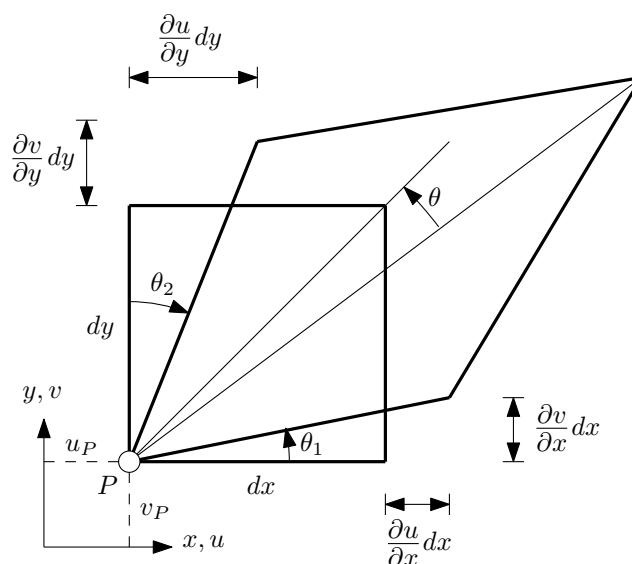
### 2.1 Teoria da elasticidade bidimensional

Como as placas são elementos em que duas direções predominam sobre uma terceira, parte-se da análise da teoria da elasticidade bidimensional.

#### 2.1.1 Relações deformação-deslocamento

Na análise das deformações por meio teoria da elasticidade bidimensional no plano  $x-y$ , considera-se que os deslocamentos ao longo do eixo  $z$  são desprezíveis, e que as seções transversais ao plano deformam todas da mesma maneira, dessa forma para sua análise é tomado um elemento infinitesimal genérico no plano  $x-y$ , e analisa-se o campo de deslocamentos  $u(x, y)$  e  $v(x, y)$ , nas direções  $x$  e  $y$ , respectivamente (OÑATE, 2009). O elemento analisado se encontra na Figura 1.

Figura 1 – Deformação de um elemento plano infinitesimal



Fonte: Adaptado de Oñate (2009, p. 120)

Sabe-se da resistência dos materiais, que a deformação normal é dada pela

equação:

$$\epsilon = \frac{\ell - \ell_0}{\ell_0} \quad (1)$$

Onde,

$\ell$ : Comprimento final;

$\ell_0$ : Comprimento inicial.

Assim, analisando o elemento infinitesimal apresentado na Figura 1, tem-se:

$$\epsilon_x = \frac{dx + \frac{\partial u}{\partial x} dx - dx}{dx} \quad (2)$$

Colocando  $dx$  em evidência, obtém-se:

$$\epsilon_x = \frac{\partial u}{\partial x} \quad (3)$$

Por meio de um processo análogo é possível obter:

$$\epsilon_y = \frac{\partial v}{\partial y} \quad (4)$$

Analisando as deformações tangenciais tem-se,

$$\text{tg}(\theta_1) = \frac{\frac{\partial v}{\partial x} dx}{dx + \frac{\partial u}{\partial x} dx} \quad (5)$$

e:

$$\text{tg}(\theta_2) = \frac{\frac{\partial u}{\partial y} dy}{dy + \frac{\partial v}{\partial y} dy} \quad (6)$$

Como assumiu-se que a placa está submetida à pequenas deformações pode-se considerar que,

$$\text{tg}(\theta_1) \approx \theta_1 \quad (7)$$

e que,

$$\operatorname{tg}(\theta_2) \approx \theta_2 \quad (8)$$

o que implica que os termos  $\frac{\partial u}{\partial x}$  e  $\frac{\partial v}{\partial y}$  são aproximadamente zero devido à geometria do problema. Assim, simplificando os termos  $dx$  e  $dy$ , respectivamente, as Equações 5 e 6 se tornam:

$$\theta_1 = \frac{\partial v}{\partial x} \quad (9)$$

$$\theta_2 = \frac{\partial u}{\partial y} \quad (10)$$

Não é difícil perceber que a deformação tangencial no elemento diferencial é dada pela Equação 11:

$$\gamma_{xy} = \theta_1 + \theta_2 \quad (11)$$

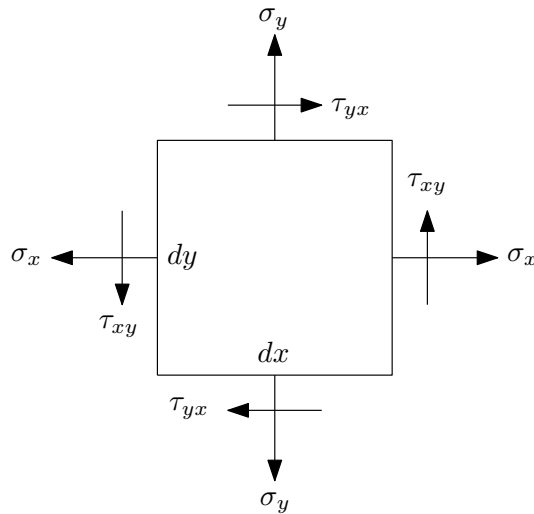
Substituindo os valores das Equações 9 e 10 na Equação 11, tem-se a deformação tangencial.

$$\gamma_{xy} = \frac{\partial v}{\partial x} + \frac{\partial u}{\partial y} \quad (12)$$

### 2.1.2 Relações tensão-deformação

Para realizar-se a análise das tensões atuantes em uma placa utiliza-se do chamado estado plano de tensões (Figura 2), caracterizado por duas componentes de tensão normal  $\sigma_x$  e  $\sigma_y$  e duas componentes de tensão tangencial  $\tau_{xy} = \tau_{yx}$ .

Figura 2 – O elemento plano de tensões



Fonte: Adaptado de Oñate (2009, p.121)

Tendo em vista que a aplicação de uma força em um elemento estrutural gera tensões que se refletem em deformações no material, é possível estabelecer relações entre elas, obtidas por meio da Lei de Hooke generalizada. As chamadas relações constitutivas estão dispostas nas Equações 13, 14 e 15, onde  $E$  é o módulo de elasticidade longitudinal, ou módulo de Young, e  $\nu$  é o coeficiente de Poisson, sendo ambos propriedades mecânicas do material da placa, quando a mesma é considerada isotrópica (TIMOSHENKO; GOODIER, 1934).

$$\sigma_x = \frac{E}{1 - \nu^2} (\epsilon_x + \nu \epsilon_y) \quad (13)$$

$$\sigma_y = \frac{E}{1 - \nu^2} (\epsilon_y + \nu \epsilon_x) \quad (14)$$

$$\tau_{xy} = \frac{E}{2(1 + \nu)} \gamma_{xy} \quad (15)$$

Pode-se também representar as Equações 13, 14 e 15 em notação matricial, representada por:

$$\{\sigma\} = [E]\{\epsilon\} \quad (16)$$

onde:

$$\{\sigma\} = \begin{Bmatrix} \sigma_x \\ \sigma_y \\ \tau_{xy} \end{Bmatrix} \quad (17)$$

$$[E] = \frac{E}{1-\nu^2} \begin{bmatrix} 1 & \nu & 0 \\ \nu & 1 & 0 \\ 0 & 0 & \frac{(1-\nu)}{2} \end{bmatrix} \quad (18)$$

$$\{\epsilon\} = \begin{Bmatrix} \epsilon_x \\ \epsilon_y \\ \gamma_{xy} \end{Bmatrix} \quad (19)$$

## 2.2 Teoria de placas delgadas

De acordo com Timoshenko e Woinowsky-Krieger (1959), as placas são classificadas conforme sua espessura, e as propriedades de flexão das mesmas também dependem dela. Assim há três classes principais de placas: as placas delgadas com pequena deflexão, as placas delgadas com grande deflexão e as placas espessas.

Com base na ampla gama de aplicações, para o presente trabalho adota-se a teoria das placas delgadas com pequenas deflexões.

Sendo assim, Martinelli et al (1986), diz que as placas são consideradas delgadas quando a relação “ $d/a$ ” fica compreendida entre  $1/5$  e  $1/100$ , onde  $d$  é a espessura da placa e  $a$  a sua menor dimensão.

Essa teoria assume três hipóteses básicas:

1. O plano médio da placa não sofre deformação quando a placa é submetida à flexão;
2. Segmentos de reta posicionados inicialmente normais ao plano médio da placa permanecem normais ao plano médio da mesma após submetida à flexão;
3. As tensões normais ao plano médio da placa podem ser desconsideradas.



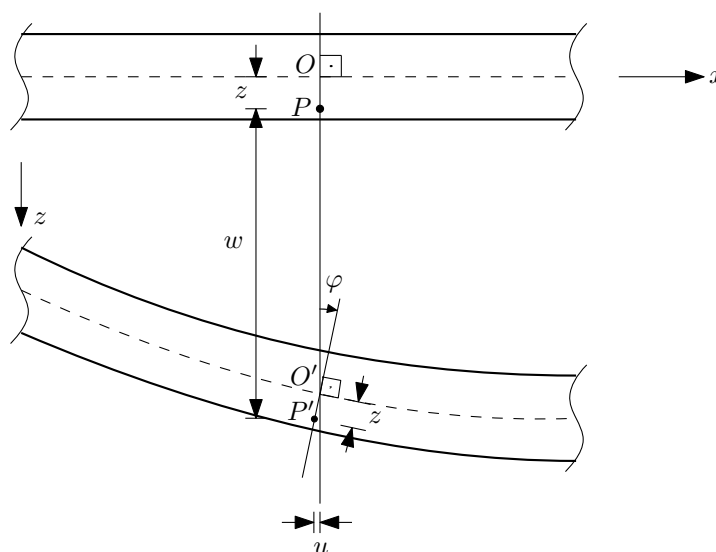
Assumindo essas três hipóteses, o deslocamento pode ser expresso em termos de duas coordenadas apenas, ou seja, se trata de um problema bidimensional.

Sendo que, ainda segundo Timoshenko e Woinowsky-Krieger (1959) a segunda hipótese é equivalente ao se desprezar o efeito das forças cortantes em placas, assim em casos de placas com buracos, por exemplo, a mesma não deve ser desprezada, porém nos outros casos é uma hipótese válida. Da mesma forma a primeira hipótese não se mostra verdadeira no caso em que se tem cargas aplicadas de maneira perpendicular às laterais da placa, pois esses esforços geram tensões e conseqüentemente deformações em seu plano médio.

### 2.2.1 Relações deformação-deslocamento aplicadas ao problema de placas delgadas

Como citado anteriormente, assume-se que um segmento de reta inicialmente normal ao plano médio da placa continua normal a esse plano após a mesma sofrer flexão, e ainda que um ponto situado no plano médio da placa sofre deslocamentos apenas no eixo  $z$ , não sofrendo nenhum deslocamento nos eixos  $x$  e  $y$  (WAIDEMAM, 2004). Dessa forma, toma-se um ponto  $P$  genérico, pertencente à um segmento de reta normal ao plano médio da placa e situado à uma distância  $z$  do mesmo (Figura 3). O ponto sofre deslocamentos  $u$  e  $v$  na direção  $x$  e  $y$  respectivamente, assim como um deslocamento  $w$  na direção  $z$ , o qual é função de  $x$  e  $y$  e chamado de deflexão.

Figura 3 – Deslocamento de um ponto situado em uma seção normal ao plano da placa



Fonte: Adaptado de Waidemam (2004 p. 51)

Dessa forma, pode-se dizer baseado na definição de derivada, que:

$$\operatorname{tg}(\varphi) = \frac{-u}{z} \quad (20)$$

Organizando a Equação 20 e explicitando  $u$ , tem-se:

$$u = -z \frac{\partial w}{\partial x} \quad (21)$$

De maneira análoga, para o plano  $y - z$ , chega-se a relação:

$$v = -z \frac{\partial w}{\partial y} \quad (22)$$

Substituindo as Equações 21 e 22, nas Equações 3, 4 e 12, respectivamente, obtém-se as seguintes relações:

$$\epsilon_x = \frac{\partial}{\partial x} \left( -z \frac{\partial w}{\partial x} \right) \quad (23)$$

$$\epsilon_y = \frac{\partial}{\partial y} \left( -z \frac{\partial w}{\partial y} \right) \quad (24)$$

$$\gamma_{xy} = \frac{\partial}{\partial x} \left( -z \frac{\partial w}{\partial y} \right) + \frac{\partial}{\partial y} \left( -z \frac{\partial w}{\partial x} \right) \quad (25)$$

que se tornam:

$$\epsilon_x = -z \frac{\partial^2 w}{\partial x^2} \quad (26)$$

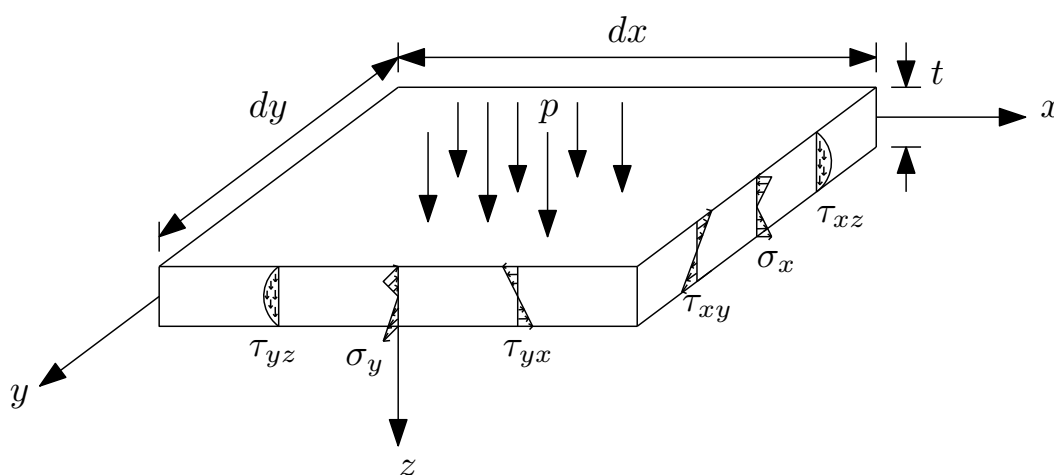
$$\epsilon_y = -z \frac{\partial^2 w}{\partial y^2} \quad (27)$$

$$\gamma_{xy} = -2z \frac{\partial^2 w}{\partial x \partial y} \quad (28)$$

### 2.2.2 Equilíbrio de uma placa

A Figura 4 mostra uma placa, sobre a qual atua uma carga distribuída  $p$  estática. Admite-se que a placa em questão tem uma espessura  $t$ , e lados de comprimento  $dx$  e  $dy$ , respectivamente.

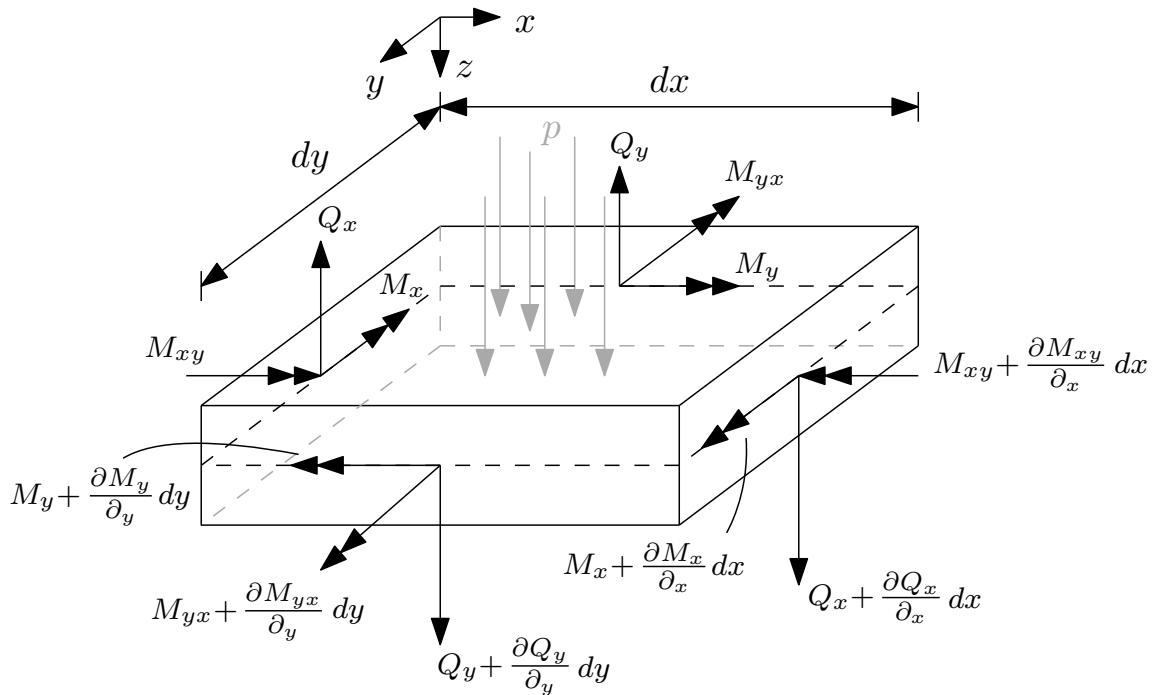
Figura 4 – Placa submetida à um carregamento e as devidas tensões atuantes



Fonte: Adaptado de Waidemam (2004, p. 53)

Analisando-se a Figura 4, pode-se observar que são gerados três tipos de tensões na placa. As tensões  $\sigma_x$  e  $\sigma_y$ , são responsáveis pelos momentos fletores  $M_x$  e  $M_y$  respectivamente, da mesma forma  $\tau_{xy}$  e  $\tau_{yx}$  geram os momentos torçores  $M_{xy}$  e  $M_{yx}$ , ambas variando linearmente em relação à  $z$ . Por fim, tem-se as tensões  $\tau_{yz}$  e  $\tau_{xz}$ , que variam quadraticamente em relação ao eixo  $z$  e acarretam nas respectivas forças cortantes  $Q_y$  e  $Q_x$ . Os esforços oriundos das tensões atuantes podem ser observados na Figura 5.

Figura 5 – Esforços atuantes em uma placa submetida a um carregamento distribuído



Fonte: Adaptado de Leal (2015, p. 27)

Sabe-se da resistência dos materiais que:

$$F = \int \sigma dA \quad (29)$$

Sabe-se também da mecânica que a intensidade do momento é dada por:

$$M = F \cdot s \quad (30)$$

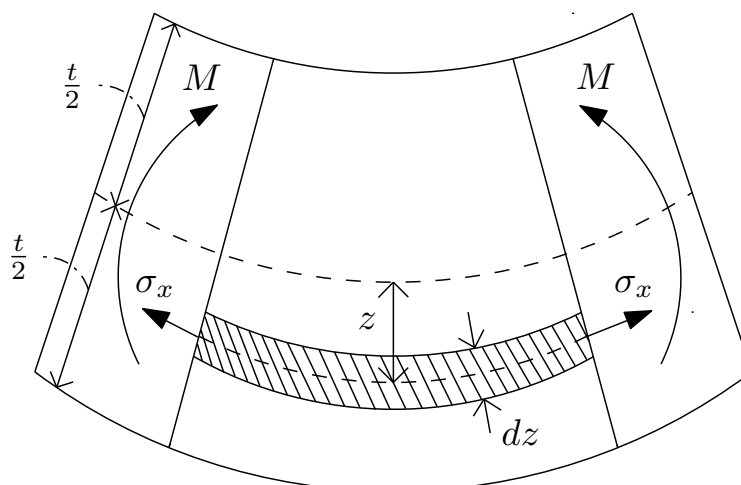
onde  $s$  é a distância entre o ponto de cálculo do momento e a linha de ação da força, tomada de forma perpendicular.

Aplicando-se a Equação 29 na Equação 30, tem-se:

$$M = \int \sigma s dA \quad (31)$$

Assim, tomando-se um pedaço da seção transversal da placa (Figura 6), pode-se integrar as tensões em relação à um elemento diferencial  $dz$  encontrado à uma distância  $z$  do plano médio da mesma e obter-se os momentos por unidade de comprimento.

Figura 6 – Representação gráfica da integral de momento fletor



Fonte: Adaptado de Timoshenko (1959, p. 5)

Dessa forma tem-se os seguintes momentos:

$$M_x = \int_{-t/2}^{t/2} \sigma_x z dz \quad (32)$$

$$M_y = \int_{-t/2}^{t/2} \sigma_y z dz \quad (33)$$

$$M_{xy} = \int_{-t/2}^{t/2} \tau_{xy} z dz \quad (34)$$

$$M_{yx} = \int_{-t/2}^{t/2} \tau_{yx} z dz \quad (35)$$

sendo que, de acordo com Costa (1986), devido às tensões  $\tau_{xy} = \tau_{yx}$ :

$$M_{yx} = -M_{xy} \quad (36)$$

Além dos momentos, pode-se obter de maneira análoga as forças cortantes:

$$Q_x = \int_{-t/2}^{t/2} \tau_{xz} dz \quad (37)$$

$$Q_y = \int_{-t/2}^{t/2} \tau_{yz} dz \quad (38)$$

Os esforços atuantes na placa carregada podem ser representados conforme a Figura 5, e a partir disso pode-se realizar o equilíbrio de esforços na placa.

Realizando o equilíbrio de forças na direção “z”, tem-se:

$$\left( Q_x + \frac{\partial Q_x}{\partial x} \cdot dx \right) dy + \left( Q_y + \frac{\partial Q_y}{\partial y} \cdot dy \right) dx - Q_y \cdot dx - Q_x \cdot dy + p \cdot dy \cdot dx = 0 \quad (39)$$

Colocando os termos em evidência e dividindo todos eles por  $dy \cdot dx$ , é obtido:

$$\frac{\partial Q_x}{\partial x} + \frac{\partial Q_y}{\partial y} = -p \quad (40)$$

Fazendo o equilíbrio de momentos em torno de “x”:

$$\begin{aligned} M_y \cdot dx - \left( M_y + \frac{\partial M_y}{\partial y} \cdot dy \right) dx - M_{xy} \cdot dy + \left( M_{xy} + \frac{\partial M_{xy}}{\partial x} \cdot dx \right) dy - Q_x \cdot dy \cdot \frac{dy}{2} \\ + \left( Q_x + \frac{\partial Q_x}{\partial x} \cdot dx \right) dy \cdot \frac{dy}{2} + \left( Q_y + \frac{\partial Q_y}{\partial y} \cdot dy \right) dx \cdot dy + p \cdot dx \cdot dy \cdot \frac{dy}{2} = 0 \end{aligned} \quad (41)$$

Os termos que contém o produto de mais de dois elementos infinitesimais podem ser desprezados, pois se tornam demasiadamente pequenos em comparação com o restante dos termos. Ainda, fazendo de maneira análoga ao que foi realizado com a equação de equilíbrio de forças, tem-se:

$$\frac{\partial M_y}{\partial y} \cdot dy \cdot dx - \frac{\partial M_{xy}}{\partial x} \cdot dy \cdot dx = Q_y \cdot dy \cdot dx \quad (42)$$

Por fim, dividindo todos os termos por  $dy \cdot dx$ , tem-se:

$$\frac{\partial M_y}{\partial y} - \frac{\partial M_{xy}}{\partial x} = Q_y \quad (43)$$

Finalmente, efetuando-se o equilíbrio de momentos em torno de “y”:

$$\begin{aligned} - M_x \cdot dy + \left( M_x + \frac{\partial M_x}{\partial x} \cdot dx \right) dy - M_{xy} \cdot dx + \left( M_{xy} + \frac{\partial M_{xy}}{\partial y} \cdot dy \right) dx + Q_y \cdot dx \cdot \frac{dx}{2} \\ - \left( Q_y + \frac{\partial Q_y}{\partial y} \cdot dy \right) dx \cdot \frac{dx}{2} - \left( Q_x + \frac{\partial Q_x}{\partial x} \cdot dx \right) dy \cdot dx - p \cdot dy \cdot dx \cdot \frac{dx}{2} = 0 \end{aligned} \quad (44)$$

Fazendo de maneira similar ao realizado na seção anterior, tem-se:

$$\frac{\partial M_x}{\partial x} \cdot dy \cdot dx + \frac{\partial M_{xy}}{\partial y} \cdot dy \cdot dx = Q_x \cdot dy \cdot dx \quad (45)$$

e, por fim:

$$\frac{\partial M_x}{\partial x} + \frac{\partial M_{xy}}{\partial y} = Q_x \quad (46)$$

Substituindo as Equações 43 e 46 na Equação 40, tem-se:

$$\frac{\partial}{\partial x} \left( \frac{\partial M_x}{\partial x} + \frac{\partial M_{xy}}{\partial y} \right) + \frac{\partial}{\partial y} \left( \frac{\partial M_y}{\partial y} - \frac{\partial M_{xy}}{\partial x} \right) = -p \quad (47)$$

Realizando as operações necessárias e levando em consideração que  $M_{yx} = -M_{xy}$ , tem-se:

$$\frac{\partial^2 M_x}{\partial x^2} - 2 \cdot \frac{\partial^2 M_{xy}}{\partial x \partial y} + \frac{\partial^2 M_y}{\partial y^2} = -p \quad (48)$$

Substituindo-se as Equações 26, 27 e 28 nas Equações 13, 14 e 15 tem-se:

$$\sigma_x = -\frac{Ez}{1-\nu^2} \left( \frac{\partial^2 w}{\partial x^2} + \nu \frac{\partial^2 w}{\partial y^2} \right) \quad (49)$$

$$\sigma_y = -\frac{Ez}{1-\nu^2} \left( \frac{\partial^2 w}{\partial y^2} + \nu \frac{\partial^2 w}{\partial x^2} \right) \quad (50)$$

$$\tau_{xy} = -\frac{Ez}{(1-\nu)} \left( \frac{\partial^2 w}{\partial x \partial y} \right) \quad (51)$$

Para obter-se os momentos, basta substituir as Equações 49, 50 e 51 nas Equações 32, 33 e 34 respectivamente e resolver as integrais. Dessa forma:

$$M_x = -\frac{Et^3}{12(1-\nu^2)} \left( \frac{\partial^2 w}{\partial x^2} + \nu \frac{\partial^2 w}{\partial y^2} \right) \quad (52)$$

$$M_y = -\frac{Et^3}{12(1-\nu^2)} \left( \frac{\partial^2 w}{\partial y^2} + \nu \frac{\partial^2 w}{\partial x^2} \right) \quad (53)$$

$$M_{yx} = -\frac{Et^3}{12(1+\nu)} \left( \frac{\partial^2 w}{\partial x \partial y} \right) \quad (54)$$

Como já dito anteriormente,  $M_{yx} = -M_{xy}$ , assim  $M_{xy}$  fica:

$$M_{xy} = \frac{Et^3}{12(1+\nu)} \left( \frac{\partial^2 w}{\partial x \partial y} \right) \quad (55)$$

Pode-se definir:

$$D = \frac{Et^3}{12(1-\nu^2)} \quad (56)$$

Desse modo, as Equações 52, 53, 54 e 55 podem ser escritas na forma:

$$M_x = -D \left( \frac{\partial^2 w}{\partial x^2} + \nu \frac{\partial^2 w}{\partial y^2} \right) \quad (57)$$

$$M_y = -D \left( \frac{\partial^2 w}{\partial y^2} + \nu \frac{\partial^2 w}{\partial x^2} \right) \quad (58)$$

$$M_{yx} = -D(1+\nu) \left( \frac{\partial^2 w}{\partial x \partial y} \right) \quad (59)$$

$$M_{xy} = D(1+\nu) \left( \frac{\partial^2 w}{\partial x \partial y} \right) \quad (60)$$



Substituindo-se as Equações 57, 58, e 60 na Equação 47, é obtido:

$$\begin{aligned} & \frac{\partial}{\partial x} \left[ \frac{\partial}{\partial x} \left( -D \left( \frac{\partial^2 w}{\partial x^2} + \nu \frac{\partial^2 w}{\partial y^2} \right) \right) \right] - \\ & -2 \cdot \frac{\partial}{\partial x} \left[ \frac{\partial}{\partial y} \left( D(1 + \nu) \left( \frac{\partial^2 w}{\partial x \partial y} \right) \right) \right] + \\ & + \frac{\partial}{\partial y} \left[ \frac{\partial}{\partial y} \left( -D \left( \frac{\partial^2 w}{\partial y^2} + \nu \frac{\partial^2 w}{\partial x^2} \right) \right) \right] = -p \end{aligned} \quad (61)$$

que após realizadas as devidas simplificações se torna:

$$\frac{\partial^4 w}{\partial x^4} + 2 \cdot \frac{\partial^4 w}{\partial x^2 \partial y^2} + \frac{\partial^4 w}{\partial y^4} = \frac{p}{D} \quad (62)$$

a qual é a equação que descreve a deflexão  $w$  da placa em termos de suas coordenadas  $x$  e  $y$ , sendo uma EDP de quarta ordem, não homogênea e linear, apresentando coeficientes constantes. E que, de acordo com Ventsel e Krauthammer (2001) foi obtida primeiramente por Lagrange em 1811.

### 2.2.3 Condições de contorno

Como acontece com a maioria das equações diferenciais, para se resolver a EDP obtida com a teoria de placas delgadas (Equação 62) é necessário que se imponha condições de contorno, ou seja, valores conhecidos da função  $w(x, y)$  ou de suas derivadas em pontos com coordenadas  $x$  e  $y$  conhecidas.

#### 2.2.3.1 Borda simplesmente apoiada

Sabe-se que em uma borda apoiada a translação na direção do eixo  $z$  é impedida e os momentos são nulos, por ser uma vinculação do tipo rótula, assim considerando-se uma placa retangular com a lateral paralela ao eixo  $y$  simplesmente apoiada, sem a presença de momentos fletores aplicados, onde  $x = a$ , tem-se:

$$w = 0 \quad (63)$$

$$M_x = -D \left( \frac{\partial^2 w}{\partial x^2} + \nu \frac{\partial^2 w}{\partial y^2} \right) = 0 \quad (64)$$

### 2.2.3.2 Borda engastada

Na borda engastada, ambos os movimentos, de translação e rotação são impedidos, dessa forma, caso a borda paralela ao eixo “y” seja engastada, para  $x = a$  tem-se:

$$w = 0 \quad (65)$$

$$\frac{\partial w}{\partial x} = 0 \quad (66)$$

Ainda, nesse caso, a reação na borda fica:

$$R_x = Q_x \quad (67)$$

### 2.2.3.3 Borda livre

Quando não há vínculos na borda da placa, não se tem momento fletor, momento torçor, e nem esforços cortantes, dessa forma:

$$M_x = 0; \quad M_y = 0; \quad M_{xy} = 0; \quad Q_x = 0; \quad Q_y = 0; \quad (68)$$

Coforme Timoshenko e Woinowsky-Krieger (1959) para a resolução da Equação 62 são necessárias somente duas condições de contorno. Dessa forma pode-se combinar a força cortante  $Q_x$  com o momento torçor  $\frac{\partial M_{xy}}{\partial y}$  e obter:

$$Q_x - \frac{\partial M_{xy}}{\partial y} = 0 \quad (69)$$

Substituindo os valores de  $Q_x$  e de  $\frac{\partial M_{xy}}{\partial y}$  na Equação 69 e realizando algumas manipulações algébricas chega-se em:

$$\frac{\partial^3 w}{\partial x^3} + (2 - \nu) \frac{\partial^3 w}{\partial x \partial y^2} = 0 \quad (70)$$

Por fim, para o momento fletor tem-se:

$$\frac{\partial^2 w}{\partial x^2} + \nu \frac{\partial^2 w}{\partial y^2} = 0 \quad (71)$$

### 2.3 Método dos Elementos Finitos (MEF)

Sabe-se que, na resistência dos materiais contida nos cursos de graduação, geralmente é aprendido a análise de vigas, onde todas as fórmulas são obtidas através da solução analítica da equação diferencial que rege o fenômeno. No entanto, isso é possível graças ao problema ser unidimensional, o que não ocorre quando se trata de elementos de placa, que por sua vez são bidimensionais, fazendo com que a equação diferencial que governa os fenômenos físicos relacionados as mesmas seja muito mais complexa que a de vigas (ALVES FILHO, 2013).

Alves Filho (2013) diz ainda que tal complexidade se resume na obtenção da solução exata apenas para casos muito específicos, com certas condições de contorno, ou casos em que há um grande número de simplificações, o que se torna inviável na prática pois os problemas do mundo real ficam demasiadamente distantes do modelo adotado. Azevedo (2003) afirma também que muitas vezes se recorria às séries de Fourier para resolver esses problemas, porém da mesma forma as resoluções eram limitadas à casos os quais a geometria era simples, por conta da complexidade dos cálculos envolvidos.

Para sanar esse problema foi desenvolvido o Método dos Elementos Finitos (MEF), que serve tanto para análise de estruturas reticuladas, como vigas e pórticos, como para análise de meios contínuos como é o caso das placas (AZEVEDO, 2003).

Primeiramente o MEF foi desenvolvido por Walter Ritz em 1909, para aplicá-lo em problemas da mecânica dos sólidos deformáveis. Porém, nesse método o funcional de energia era aproximado por funções com coeficientes a serem determinados. No entanto, Richard Courant, em 1943 introduziu funções especiais definidas sobre regiões triangulares no método, fazendo com que o mesmo tivesse mais chances de sucesso, pois as incógnitas, que foram determinadas, são os valores nos pontos nodais das regiões triangulares (CAMPOS, 2006).

Após as contribuições de Courant, Argyris e Kelsey introduziram definitivamente a formulação matricial do MEF, quando aplicaram o método na análise da fuse-

lagem e asas de aviões (ASSAN, 2003).

A formulação do MEF como é conhecida atualmente foi estabelecida por Turner, Clough, Martin e Topp, no ano de 1956, sendo que o nome Método dos Elementos Finitos foi proposto por Clough (ASSAN, 2003). Campos (2006) também afirma que a primeira vez que o método surgiu com esse nome foi com o trabalho de Clough em 1960, intitulado *The finite element method in plane stress analysis*.

Assan (2003) salienta que o MEF é conhecido desde meados da década de 50, entretanto, seu uso em projetos nas diversas áreas, além da área estrutural só foi consolidado após a evolução dos computadores, e que hoje o método está presente em diversos softwares comerciais e agregado no dia a dia dos engenheiros.

O MEF é como outros métodos numéricos, uma técnica que utiliza da discretização de um domínio, contínuo ou não, de modo que se tenha vários domínios (elementos) de dimensões finitas, daí seu nome, com forma variando dependendo da sua aplicação, e interligados por um número pequeno de pontos chamados nós, os quais podem estar presentes em maior ou menor número nos elementos, também dependendo de para qual problema se queira aplicar o método (SORIANO, 2002).

Segundo Vaz (2011), para a formulação do MEF podem ser usados o Princípio da Mínima Energia Potencial Total, o Método dos Resíduos Ponderados e o Princípio dos Deslocamentos Virtuais, que faz parte do PTV, o qual será o utilizado neste trabalho.

### 2.3.1 Princípio dos Trabalhos Virtuais (PTV)

Quando um corpo é submetido a uma ou mais forças, são geradas tensões em seu interior que se refletem em deformações no mesmo, esse é o princípio básico da resistência dos materiais, também conhecida como mecânica dos sólidos deformáveis (HIBBELER, 2010).

Admitindo uma força aplicada no exterior de um corpo, sabe-se que a mesma causa um certo deslocamento no corpo. Diz-se que a força externa transferiu energia ao corpo sendo este denominado trabalho externo. À energia absorvida pelo corpo em função das deformações apresentadas, dá-se o nome de energia interna de deformação ou trabalho interno. No entanto, no Princípio dos Trabalhos Virtuais (PTV), existem duas condições possíveis: a primeira diz que há forças virtuais que geram

tensões virtuais, já a segunda afirma que há deslocamentos virtuais que se refletem em deformações virtuais. No caso aqui abordado os deslocamentos e deformações são virtuais.

Por fim, se estabelece ainda, pelo princípio da conservação de energia, que os trabalhos virtuais externo e interno devem ser equivalentes, como mostra a Equação 72.

$$U_i^* = U_e^* \quad (72)$$

Sabe-se que o trabalho virtual externo é tido como o produto de força por deslocamento. Já o trabalho virtual interno é tido como a integral do produto entre as tensões e deformações no volume do corpo. Como neste trabalho foi considerado uma carga distribuída na área da placa, surge o termo que contém a integral de área no trabalho causado por forças externas. Dessa forma, a Equação 72 fica:

$$\int_V \sigma \epsilon^* dV = F d^* + \int_A w^* p dA \quad (73)$$

onde,

$\epsilon^*$ : Deformação virtual interna da placa;

$\sigma$ : Tensão real interna atuante na placa;

$d^*$ : Deslocamento virtual externo da placa;

$F$ : Força externa atuante na placa;

$w^*$ : Deslocamento virtual perpendicular ao plano da placa;

$p$ : Força distribuída na área da placa.

Em função do problema bidimensional discretizado tratado nesse trabalho, a Equação 73 precisa ser escrita na forma vetorial, se tornando:

$$\int_V \{\epsilon^*\}^T \{\sigma\} dV = \{d^*\}^T \{F\} + \int_A w^* p dA \quad (74)$$

onde,

$\{\epsilon^*\}^T$ : Vetor transposto de deformações virtuais internas no elemento;

$\{\sigma\}$ : Vetor de tensões reais atuantes no elemento;

$\{d^*\}^T$ : Vetor transposto de deslocamentos virtuais externos nodais;

$\{F\}$ : Vetor de forças nodais atuantes no elemento;

É preciso relacionar os deslocamentos de cada elemento com o deslocamento de cada nó presente no mesmo, para tal utiliza-se as chamadas funções de forma, que são funções de aproximação, ou seja, por meio delas é possível obter uma aproximação do deslocamento do elemento com base nos deslocamentos dos nós. Esse procedimento pode ser representado na forma matricial:

$$w = [\phi]\{d\} \quad (75)$$

onde,  $w$  é o deslocamento do elemento,  $[\phi]$  é a matriz de funções de forma e  $\{d\}$  são os deslocamentos nodais.

A mesma pode ser escrita na sua forma transposta, ficando:

$$w = \{d\}^T[\phi]^T \quad (76)$$

Fazendo as Equações 3, 4 e 12 na forma matricial, tem-se:

$$\{\epsilon\} = [L]\{w\} \quad (77)$$

onde o vetor  $\{\epsilon\}$  é composto pelas seguintes relações fornecidas pela teoria de placas:

$$\epsilon_x = -z \frac{\partial^2 w}{\partial x^2}$$

$$\epsilon_y = -z \frac{\partial^2 w}{\partial y^2}$$

$$\gamma_{xy} = -2z \frac{\partial^2 w}{\partial x \partial y}$$

podendo assim ser escrito na forma:

$$\begin{Bmatrix} \epsilon_x \\ \epsilon_y \\ \gamma_{xy} \end{Bmatrix} = -z \cdot \begin{bmatrix} \frac{\partial^2}{\partial x^2} \\ \frac{\partial^2}{\partial y^2} \\ 2\frac{\partial^2}{\partial x \partial y} \end{bmatrix} \cdot \{ w \}$$

sendo a matriz  $[L]$  dada por:

$$[L] = -z \cdot \begin{bmatrix} \frac{\partial^2}{\partial x^2} \\ \frac{\partial^2}{\partial y^2} \\ 2\frac{\partial^2}{\partial x \partial y} \end{bmatrix} \quad (78)$$

Tendo isso em vista pode-se substituir a Equação 75 na Equação 77, e obter-se:

$$\{\epsilon\} = [L][\phi]\{d\} \quad (79)$$

Multiplicando a Equação 78 pela matriz de funções de forma, tem-se:

$$[B] = [L][\phi] \quad (80)$$

Assim pode-se relacionar o vetor de deformações expresso na Equação 19, com o vetor de deslocamentos nodais:

$$\{\epsilon\} = [B]\{d\} \quad (81)$$

De maneira similar, pode-se representar a expressão na forma transposta:

$$\{\epsilon^*\}^T = \{d^*\}^T [B]^T \quad (82)$$

Substituindo a Equação 81 na Equação 16, obtém-se:

$$\{\sigma\} = [E][B]\{d\} \quad (83)$$

Substituindo as Equações 76, 82 e 83 na Equação 74, tem-se:

$$\int_V \{d^*\}^T [B]^T [E] [B] \{d\} dV = \{d^*\}^T \{F\} + \int_A \{d^*\}^T [\phi]^T p dA \quad (84)$$

Como os deslocamentos nodais, tanto reais quanto virtuais, são constantes e não nulos, os mesmos podem ser retirados das integrais, se tornando:

$$\{d^*\}^T \left( \int_V [B]^T [E] [B] dV \right) \{d\} = \{d^*\}^T \{F\} + \{d^*\}^T \int_A [\phi]^T p dA \quad (85)$$

Colocando o termo  $\{d^*\}^T$  em evidência do lado direito da Equação 85 tem-se:

$$\{d^*\}^T \left( \int_V [B]^T [E] [B] dV \right) \{d\} = \{d^*\}^T \left( \{F\} + \int_A [\phi]^T p dA \right) \quad (86)$$

Simplificando a equação resta:

$$\left( \int_V [B]^T [E] [B] dV \right) \{d\} = \{F\} + \int_A [\phi]^T p dA \quad (87)$$

Na forma abreviada a equação fica:

$$[k] \{d\} = \{f\} \quad (88)$$

que é a equação fundamental do MEF, onde:

$$[k] = \int_V [B]^T [E] [B] dV \quad (89)$$

é chamada de matriz de rigidez, sendo específica para cada elemento, e:

$$\{f\} = \{F\} + \int_A [\phi]^T p dA \quad (90)$$

é o vetor de forças nodais equivalentes para cada elemento.

### 2.3.2 Elemento finito triangular

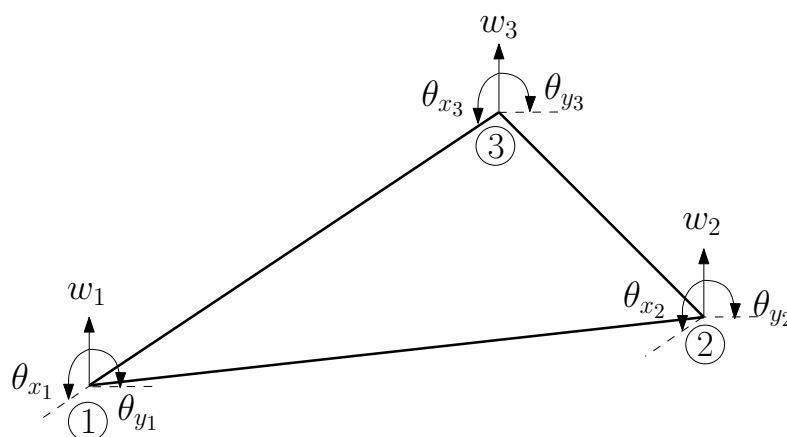
No método dos elementos finitos podem ser usados diferentes tipos de elementos, os quais são escolhidos de acordo com a geometria do problema que se queira resolver. Para problemas planos, destacam-se o elemento triangular e o ele-



mento retangular, tendo o triangular a particularidade de contornar mais precisamente superfícies circulares ou curvas.

Para o presente trabalho, foi escolhido o elemento triangular de 3 nós (Figura 7), o qual possui três graus de liberdade em cada ponto nodal, sendo uma translação e duas rotações. A translação é denotada por  $w$ , enquanto que a rotação em torno de  $x$  é expressa como  $\theta_x$  e a rotação em torno de  $y$  como  $\theta_y$ .

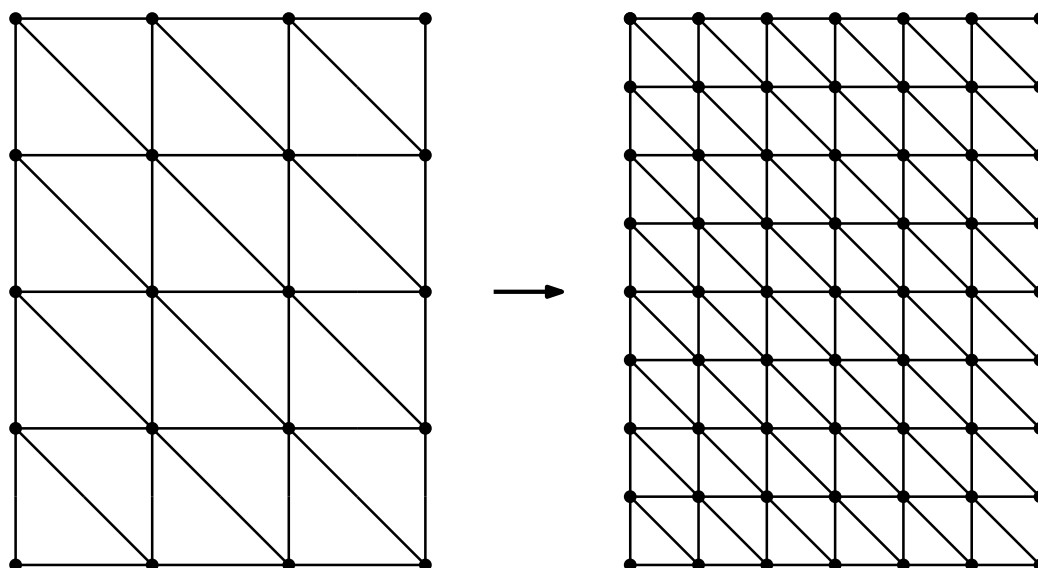
Figura 7 – Elemento triangular e seus graus de liberdade



Fonte: Adaptado de Waidemam (2004, p. 75)

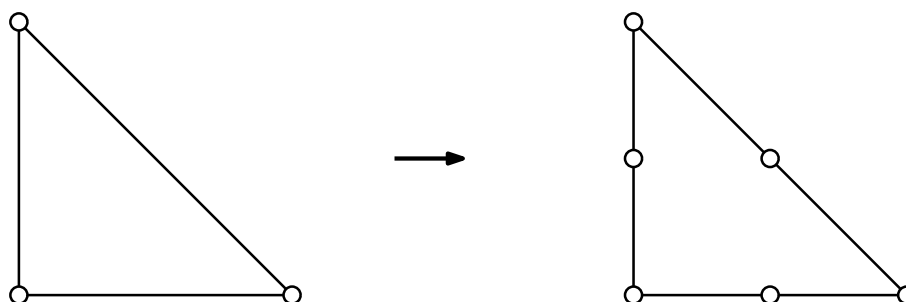
Existem fundamentalmente dois modos de se aumentar a precisão do método. A primeira maneira diz respeito a usar mais elementos de menores dimensões cada, mantendo inalterado o número de nós no elemento (Figura 8). Esta técnica é conhecida como refinamento de malha. Já a outra consiste em usar mais nós em um mesmo elemento (Figura 9), o que aumentaria o número de termos no polinômio empregado nas funções de forma. Neste trabalho, deve-se empregar a técnica do refinamento de malha para se obter maior precisão nos resultados desejados.

Figura 8 – Refinamento de malha



Fonte: Adaptado de Leal (2015, p. 49)

Figura 9 – Elemento com maior número de nós



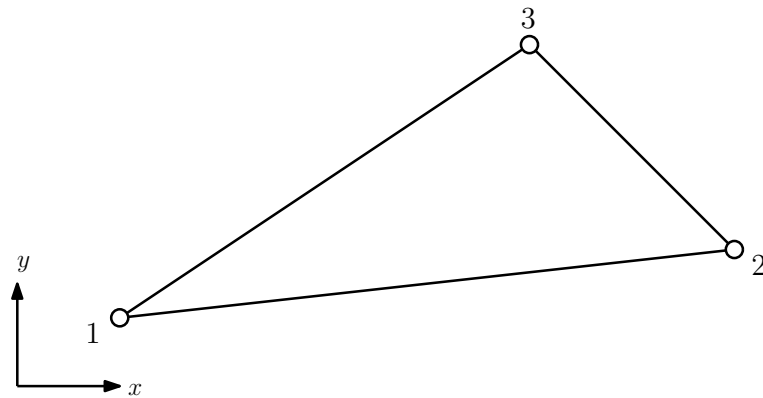
Fonte: Adaptado de Leal (2015, p. 49)

Vale salientar no entanto, que o método possui limitações, sendo que a medida que aumenta-se o número de elementos o custo computacional envolvido também aumenta, tornando o processo muito demorado ou até mesmo inviável, já que exige um maior poder de processamento por parte da máquina.

### 2.3.2.1 Relação geral entre coordenadas

Considere-se o elemento triangular genérico presente na Figura 10.

Figura 10 – Elemento triangular genérico

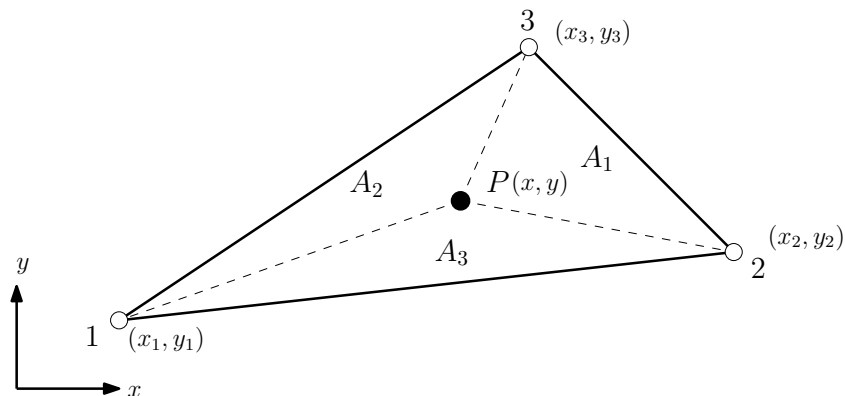


Fonte: Adaptado de Zienkiewicz e Taylor (2000, p. 180)

O elemento em questão possui três nós, numerados de maneira que se tenha as coordenadas  $(x, y)$  equivalentes à cada um deles. Com base nisso, sabe-se que por meio da geometria analítica é possível calcular a área de um triângulo resolvendo o determinante expresso na Equação 91.

$$2A_{\Delta} = \begin{vmatrix} 1 & x_1 & y_1 \\ 1 & x_2 & y_2 \\ 1 & x_3 & y_3 \end{vmatrix} \quad (91)$$

A Figura 11 ilustra um elemento triangular no qual admite-se internamente um ponto genérico  $P$  com coordenadas  $(x, y)$ .

Figura 11 – Ponto  $P$  admitido em uma coordenada  $(x, y)$  do elemento triangular

Fonte: Adaptado de Zienkiewicz e Taylor (2000, p. 180)

Pode-se obter um novo conjunto de coordenadas homogêneas dividindo-se a área de cada triângulo formado pelas retas que ligam o ponto  $P$  a cada uma das

extremidades pela área do triângulo total. Tomando como exemplo a área  $A_1$  tem-se:

$$\xi_1 = \frac{A_1}{A_\Delta} \quad (92)$$

Desse modo:

$$2 A_1 = \begin{vmatrix} 1 & x & y \\ 1 & x_2 & y_2 \\ 1 & x_3 & y_3 \end{vmatrix} \quad (93)$$

Calculando o determinante, tem-se:

$$A_1 = \frac{x_2 y_3 - x_3 y_2 + (y_2 - y_3)x + (x_3 - x_2)y}{2} \quad (94)$$

Fazendo:

$$a_1 = x_2 y_3 - x_3 y_2$$

$$b_1 = y_2 - y_3$$

$$c_1 = x_3 - x_2$$

A Equação 94 fica:

$$A_1 = \frac{a_1 + b_1 x + c_1 y}{2} \quad (95)$$

Substituindo a Equação 95 na Equação 92, obtém-se,

$$\xi_1 = \frac{1}{2A_\Delta} (a_1 + b_1 x + c_1 y) \quad (96)$$

onde:

$$2A_\Delta = x_2 y_3 + x_1 y_2 + x_3 y_1 - x_2 y_1 - x_3 y_2 - x_1 y_3 \quad (97)$$

O mesmo pode ser feito com as áreas  $A_2$  e  $A_3$ , para obter-se as coordenadas homogêneas  $\xi_2$  e  $\xi_3$ . Ao realizar-se o cálculo dos determinantes correspondentes às outras áreas, percebe-se que os índices variam de maneira cíclica. Para tal, as

equações podem ser representadas de maneira genérica:

$$\begin{aligned} a_i &= x_j y_k - x_k y_j \\ b_i &= y_j - y_k \\ c_i &= x_k - x_j \end{aligned} \quad (98)$$

com a variação dos índices podendo ser representada por:

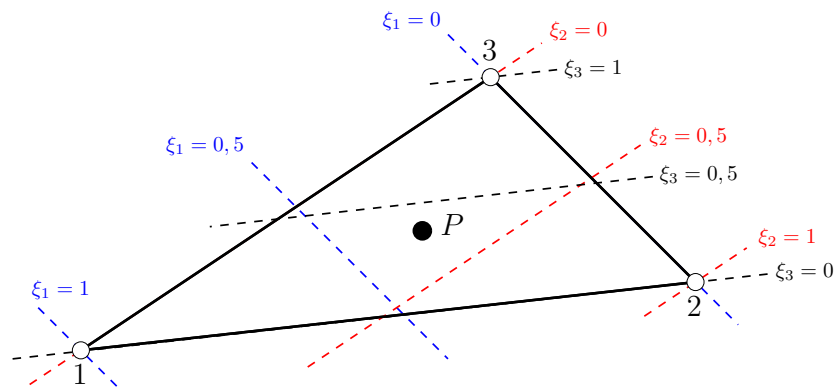
$$\begin{cases} P/i = 1 \rightarrow j = 2, k = 3 \\ P/i = 2 \rightarrow j = 3, k = 1 \\ P/i = 3 \rightarrow j = 1, k = 2 \end{cases}$$

Desse modo, obtém-se a seguinte relação entre coordenadas:

$$\xi_i = \frac{1}{2A_{\Delta}}(a_i + b_i x + c_i y) \quad (99)$$

A Figura 12 ilustra os valores de cada coordenada homogênea ao longo das faces e nos vértices do elemento triangular.

Figura 12 – Valores de cada coordenada ao longo do elemento triangular



Fonte: Adaptado de Zienkiewicz e Taylor (2000, p. 180)

### 2.3.2.2 Funções de forma

Venâncio Filho (1975) apud Waidemam (2004), estabelece que o campo de deslocamentos para o elemento triangular utilizado é caracterizado pelo seguinte polinômio em termos das coordenadas  $(x, y)$ :

$$w = \left[ 1 \quad x \quad y \quad x^2 \quad y^2 \quad xy \quad x^3 \quad x^2y \quad xy^2 \quad y^3 \right] \cdot \{\alpha\} \quad (100)$$

sendo que  $\{\alpha\}$  é um vetor com dez constantes.

Como o elemento utilizado tem apenas nove graus de liberdade é necessário que o polinômio tenha o mesmo número de termos, desse modo um termo entre  $x^2y$  e  $xy^2$  devia ser eliminado.

No entanto, a retirada de um termo acarretaria na perda de simetria do polinômio, problema contornado combinando os termos acima descritos resultando em  $(x^2y + xy^2)$ . Porém, ao combinar tais termos, quando os eixos  $x$  e  $y$  coincidissem com os lados do elemento, comprometeria o desenvolvimento do mesmo, o que não ocorre quando se usa coordenadas homogêneas.

Sendo assim, Venâncio Filho (1975) apud Waidemam (2004) apresenta o seguinte polinômio para representar o campo de deslocamentos em termos de coordenadas homogêneas  $(\xi_1, \xi_2, \xi_3)$ :

$$w = \left[ \xi_1 \quad \xi_2 \quad \xi_3 \quad \xi_1\xi_2 \quad \xi_2\xi_3 \quad \xi_2\xi_1 \quad (\xi_1\xi_2^2 - \xi_1^2\xi_2) \quad (\xi_2\xi_3^2 - \xi_2^2\xi_3) \quad (\xi_3\xi_1^2 - \xi_3^2\xi_1) \right] \cdot \{\alpha\} \quad (101)$$

onde  $\{\alpha\}$  é um vetor composto por nove constantes.

A Equação 101 é um polinômio de 3º grau incompleto, no qual é ausente o termo  $\xi_1\xi_2\xi_3$ , sendo o mesmo responsável por deslocamentos nulos nos lados do elemento, e dessa forma, associado ao deslocamento de um nó interno.

O campo de deslocamentos (Equação 101) pode também ser escrito na forma:

$$w(\xi_1, \xi_2, \xi_3) = \alpha_0\xi_1 + \alpha_1\xi_2 + \alpha_2\xi_3 + \alpha_3\xi_1\xi_2 + \alpha_4\xi_2\xi_3 + \alpha_5\xi_2\xi_1 + \alpha_6(\xi_1\xi_2^2 - \xi_1^2\xi_2) + \alpha_7(\xi_2\xi_3^2 - \xi_2^2\xi_3) + \alpha_8(\xi_3\xi_1^2 - \xi_3^2\xi_1) \quad (102)$$

Ou ainda, matricialmente:

$$w = [\psi] \cdot \{\alpha\} \quad (103)$$

onde:

$$[\psi] = \left[ \xi_1 \quad \xi_2 \quad \xi_3 \quad \xi_1\xi_2 \quad \xi_2\xi_3 \quad \xi_2\xi_1 \quad (\xi_1\xi_2^2 - \xi_1^2\xi_2) \quad (\xi_2\xi_3^2 - \xi_2^2\xi_3) \quad (\xi_3\xi_1^2 - \xi_3^2\xi_1) \right] \quad (104)$$

e:

$$\{\alpha\}^T = \{\alpha_0 \quad \alpha_1 \quad \alpha_2 \quad \alpha_3 \quad \alpha_4 \quad \alpha_5 \quad \alpha_6 \quad \alpha_7 \quad \alpha_8\} \quad (105)$$

Além do polinômio de deslocamentos, precisa-se também dos polinômios referentes aos giros nas direções  $x$  e  $y$ . Desse modo, o giro em torno de  $x$  pode ser escrito como:

$$\theta_x(\xi_1, \xi_2, \xi_3) = \frac{\partial w(\xi_1, \xi_2, \xi_3)}{\partial y} = \frac{\partial w}{\partial \xi_1} \cdot \frac{\partial \xi_1}{\partial y} + \frac{\partial w}{\partial \xi_2} \cdot \frac{\partial \xi_2}{\partial y} + \frac{\partial w}{\partial \xi_3} \cdot \frac{\partial \xi_3}{\partial y} \quad (106)$$

Realizando-se as derivadas percebe-se que o polinômio fica:

$$\begin{aligned} \theta_x(\xi_1, \xi_2, \xi_3) = \frac{1}{2A} \{ & c_1\alpha_0 + c_2\alpha_1 + c_3\alpha_2 + (\xi_2c_1 + \xi_1c_2)\alpha_3 + (\xi_3c_2 + \xi_2c_3)\alpha_4 + \\ & + (\xi_3c_1 + \xi_1c_3)\alpha_5 + [(\xi_2^2 - 2\xi_1\xi_2)c_1 + (2\xi_1\xi_2 - \xi_1^2)c_2] \alpha_6 + \\ & + [(\xi_3^2 - 2\xi_2\xi_3)c_2 + (2\xi_2\xi_3 - \xi_2^2)c_3] \alpha_7 + \\ & + [(2\xi_3\xi_1 - \xi_3^2)c_1 + (\xi_1^2 - 2\xi_3\xi_1)c_3] \alpha_8 \} \end{aligned} \quad (107)$$

Analogamente tem-se:

$$\begin{aligned} \theta_y(\xi_1, \xi_2, \xi_3) = \frac{1}{2A} \{ & b_1\alpha_0 + b_2\alpha_1 + b_3\alpha_2 + (\xi_2b_1 + \xi_1b_2)\alpha_3 + (\xi_3b_2 + \xi_2b_3)\alpha_4 + \\ & + (\xi_3b_1 + \xi_1b_3)\alpha_5 + [(\xi_2^2 - 2\xi_1\xi_2)b_1 + (2\xi_1\xi_2 - \xi_1^2)b_2] \alpha_6 + \\ & + [(\xi_3^2 - 2\xi_2\xi_3)b_2 + (2\xi_2\xi_3 - \xi_2^2)b_3] \alpha_7 + \\ & + [(2\xi_3\xi_1 - \xi_3^2)b_1 + (\xi_1^2 - 2\xi_3\xi_1)b_3] \alpha_8 \} \end{aligned} \quad (108)$$

De maneira que se pode reuni-los na forma matricial:

$$\begin{Bmatrix} w \\ \theta_x \\ \theta_y \end{Bmatrix} = [\varphi] \cdot \begin{Bmatrix} \alpha_0 \\ \alpha_1 \\ \alpha_2 \\ \alpha_3 \\ \alpha_4 \\ \alpha_5 \\ \alpha_6 \\ \alpha_7 \\ \alpha_8 \end{Bmatrix} \quad (109)$$

onde  $[\varphi]$  é uma matriz de três linhas e nove colunas com os coeficientes que multiplicam  $\alpha$  presentes nas Equações 102, 107 e 108.

Ainda pode-se escrever a Equação 109 na forma simplificada:

$$\{\delta\} = [\varphi] \cdot \{\alpha\}$$

Ao substituir-se as coordenadas nodais na Equação 109 tem-se:

⇒ Para o nó 1 onde  $\xi_1 = 1$  e  $\xi_2 = \xi_3 = 0$ :

$$[\varphi_1] = \begin{bmatrix} 2A & 0 & 0 & 0 & 0 & 0 & 0 & 0 & 0 \\ c_1 & c_2 & c_3 & c_2 & 0 & c_3 & -c_2 & 0 & c_3 \\ b_1 & b_2 & b_3 & b_2 & 0 & b_3 & -b_2 & 0 & b_3 \end{bmatrix}$$

⇒ Para o nó 2 onde  $\xi_2 = 1$  e  $\xi_1 = \xi_3 = 0$ :

$$[\varphi_2] = \begin{bmatrix} 0 & 2A & 0 & 0 & 0 & 0 & 0 & 0 & 0 \\ c_1 & c_2 & c_3 & c_1 & c_3 & 0 & c_1 & -c_3 & 0 \\ b_1 & b_2 & b_3 & b_1 & b_3 & 0 & b_1 & -b_3 & 0 \end{bmatrix}$$

⇒ Para o nó 3 onde  $\xi_3 = 1$  e  $\xi_1 = \xi_2 = 0$ :

$$[\varphi_3] = \begin{bmatrix} 0 & 0 & 2A & 0 & 0 & 0 & 0 & 0 & 0 \\ c_1 & c_2 & c_3 & 0 & c_2 & c_1 & 0 & c_2 & -c_1 \\ b_1 & b_2 & b_3 & 0 & b_2 & b_1 & 0 & b_2 & -b_1 \end{bmatrix}$$

Combinando as matrizes referentes aos três pontos nodais, pode-se escrever:

$$\begin{Bmatrix} w_1 \\ \theta_{x1} \\ \theta_{y1} \\ w_2 \\ \theta_{x2} \\ \theta_{y2} \\ w_3 \\ \theta_{x3} \\ \theta_{y3} \end{Bmatrix} = \frac{1}{2A} \begin{bmatrix} 2A & 0 & 0 & 0 & 0 & 0 & 0 & 0 & 0 \\ c_1 & c_2 & c_3 & c_2 & 0 & c_3 & -c_2 & 0 & c_3 \\ b_1 & b_2 & b_3 & b_2 & 0 & b_3 & -b_2 & 0 & b_3 \\ 0 & 2A & 0 & 0 & 0 & 0 & 0 & 0 & 0 \\ c_1 & c_2 & c_3 & c_1 & c_3 & 0 & c_1 & -c_3 & 0 \\ b_1 & b_2 & b_3 & b_1 & b_3 & 0 & b_1 & -b_3 & 0 \\ 0 & 0 & 2A & 0 & 0 & 0 & 0 & 0 & 0 \\ c_1 & c_2 & c_3 & 0 & c_2 & c_1 & 0 & c_2 & -c_1 \\ b_1 & b_2 & b_3 & 0 & b_2 & b_1 & 0 & b_2 & -b_1 \end{bmatrix} \cdot \begin{Bmatrix} \alpha_0 \\ \alpha_1 \\ \alpha_2 \\ \alpha_3 \\ \alpha_4 \\ \alpha_5 \\ \alpha_6 \\ \alpha_7 \\ \alpha_8 \end{Bmatrix}$$



Que pode ser expresso como:

$$\{d\} = [A] \cdot \{\alpha\}$$

Isolando-se  $\{\alpha\}$ :

$$\{\alpha\} = [A]^{-1} \cdot \{d\} \quad (110)$$

no qual:

$$[A]^{-1} = \frac{1}{2} \begin{bmatrix} 2 & 0 & 0 & 0 & 0 & 0 & 0 & 0 & 0 \\ 0 & 0 & 0 & 2 & 0 & 0 & 0 & 0 & 0 \\ 0 & 0 & 0 & 0 & 0 & 0 & 2 & 0 & 0 \\ 0 & -b_3 & c_3 & 0 & b_3 & -c_3 & 0 & 0 & 0 \\ 0 & 0 & 0 & 0 & -b_1 & c_1 & 0 & b_1 & -c_1 \\ 0 & b_2 & -c_2 & 0 & 0 & 0 & 0 & -b_2 & c_2 \\ -2 & b_3 & -c_3 & 2 & b_3 & 0 - c_3 & 0 & 0 & 0 \\ 0 & 0 & 0 & -2 & b_1 & -c_1 & 2 & b_1 & -c_1 \\ 2 & b_2 & -c_2 & 0 & 0 & 0 & -2 & b_2 & -c_2 \end{bmatrix}$$

Substituindo-se a Equação 110 na Equação 103:

$$w = [\psi] \cdot [A]^{-1} \cdot \{d\} \quad (111)$$

obtém-se:

$$w = [\phi] \cdot \{d\} \quad (112)$$

onde em  $[\phi]$  estão contidas as nove funções de  $\xi_1$ ,  $\xi_2$  e  $\xi_3$  descritas abaixo:

$$[\phi] = \begin{bmatrix} \phi_1 & \phi_2 & \phi_3 & \phi_4 & \phi_5 & \phi_6 & \phi_7 & \phi_8 & \phi_9 \end{bmatrix} \quad (113)$$

no qual:

$$\begin{aligned}\phi_1 &= \xi_1 - (\xi_1 \xi_2^2 - \xi_1^2 \xi_2) + (\xi_3 \xi_1^2 - \xi_3^2 \xi_1) \\ \phi_2 &= \frac{1}{2} [-b_3 \xi_1 \xi_2 + b_2 \xi_3 \xi_1 + b_3 (\xi_1 \xi_2^2 - \xi_1^2 \xi_2) + b_2 (\xi_3 \xi_1^2 - \xi_3^2 \xi_1)] \\ \phi_3 &= \frac{1}{2} [c_3 \xi_1 \xi_2 - c_2 \xi_3 \xi_1 - c_3 (\xi_1 \xi_2^2 - \xi_1^2 \xi_2) - c_2 (\xi_3 \xi_1^2 - \xi_3^2 \xi_1)] \\ \phi_4 &= \xi_2 + (\xi_1 \xi_2^2 - \xi_1^2 \xi_2) - (\xi_2 \xi_3^2 - \xi_2^2 \xi_3) \\ \phi_5 &= \frac{1}{2} [b_3 \xi_1 \xi_2 - b_1 \xi_2 \xi_3 + b_3 (\xi_1 \xi_2^2 - \xi_1^2 \xi_2) + b_1 (\xi_2 \xi_3^2 - \xi_2^2 \xi_3)] \\ \phi_6 &= \frac{1}{2} [-c_3 \xi_1 \xi_2 + c_1 \xi_2 \xi_3 - c_3 (\xi_1 \xi_2^2 - \xi_1^2 \xi_2) - c_1 (\xi_2 \xi_3^2 - \xi_2^2 \xi_3)] \\ \\ \phi_7 &= \xi_3 + (\xi_2 \xi_3^2 - \xi_2^2 \xi_3) - (\xi_3 \xi_1^2 - \xi_3^2 \xi_1) \\ \phi_8 &= \frac{1}{2} [b_1 \xi_2 \xi_3 - b_2 \xi_3 \xi_1 + b_1 (\xi_2 \xi_3^2 - \xi_2^2 \xi_3) + b_2 (\xi_3 \xi_1^2 - \xi_3^2 \xi_1)] \\ \phi_9 &= \frac{1}{2} [-c_1 \xi_2 \xi_3 + c_2 \xi_3 \xi_1 - c_1 (\xi_2 \xi_3^2 - \xi_2^2 \xi_3) - c_2 (\xi_3 \xi_1^2 - \xi_3^2 \xi_1)]\end{aligned}$$

sendo todos funções de  $\xi_1$ ,  $\xi_2$  e  $\xi_3$ .

### 2.3.2.3 Matriz de rigidez

Sabe-se que a matriz de rigidez de cada elemento é dada pela Equação 89:

$$[k] = \int_V [B]^T [D] [B] dV$$

e que tem-se a relação expressa pela Equação 77:

$$\{\epsilon\} = [L]\{w\}$$

que pode ser escrita em termos das coordenadas homogêneas, onde  $L$  se torna:

$$[L] = \frac{-z}{4A^2} \cdot \left[ \begin{array}{c} b_1^2 \frac{\partial^2}{\partial \xi_1^2} + b_2^2 \frac{\partial^2}{\partial \xi_2^2} + b_3^2 \frac{\partial^2}{\partial \xi_3^2} + 2b_1b_2 \frac{\partial^2}{\partial \xi_1 \partial \xi_2} + 2b_1b_3 \frac{\partial^2}{\partial \xi_1 \partial \xi_3} + 2b_2b_3 \frac{\partial^2}{\partial \xi_2 \partial \xi_3} \\ c_1^2 \frac{\partial^2}{\partial \xi_1^2} + c_2^2 \frac{\partial^2}{\partial \xi_2^2} + c_3^2 \frac{\partial^2}{\partial \xi_3^2} + 2c_1c_2 \frac{\partial^2}{\partial \xi_1 \partial \xi_2} + 2c_1c_3 \frac{\partial^2}{\partial \xi_1 \partial \xi_3} + 2c_2c_3 \frac{\partial^2}{\partial \xi_2 \partial \xi_3} \\ 2 \left( b_1c_1 \frac{\partial^2}{\partial \xi_1^2} + b_2c_2 \frac{\partial^2}{\partial \xi_2^2} + b_3c_3 \frac{\partial^2}{\partial \xi_3^2} + (b_1c_2 + b_2c_1) \frac{\partial^2}{\partial \xi_1 \partial \xi_2} + (b_1c_3 + b_3c_1) \frac{\partial^2}{\partial \xi_1 \partial \xi_3} + (b_2c_3 + b_3c_2) \frac{\partial^2}{\partial \xi_2 \partial \xi_3} \right) \end{array} \right]$$

ou:

$$[L] = \frac{-z}{4A^2} \cdot [l]$$

Conforme estabelecido pela Equação 80:

$$[B] = [L][\phi]$$

Assim, pode-se substituí-la na Equação 89:

$$[k] = \int_V ([L][\phi])^T [E] ([L][\phi]) dV$$

$$\begin{aligned} [k] &= \int_V \frac{-z}{4A^2} ([l][\phi])^T [E] \left( \frac{-z}{4A^2} \right) ([l][\phi]) dV \\ [k] &= \frac{1}{16A^4} \int_A \int_{-\frac{t}{2}}^{\frac{t}{2}} z^2 ([l][\phi])^T [E] ([l][\phi]) dz dA \\ [k] &= \left( \frac{1}{16A^4} \right) \left( \frac{t^3}{12} \right) \int_A ([l][\phi])^T [E] ([l][\phi]) dA \end{aligned}$$

podendo-se generalizar como:

$$[k] = \left( \frac{1}{16A^4} \right) \left( \frac{t^3}{12} \right) \int_A f(\xi_1, \xi_2, \xi_3) dA \quad (114)$$

Segundo Brebbia e Connor (1973) apud Waidemam (2004), a integral da

Equação 114 pode ser resolvida fazendo as seguintes substituições:

$$\begin{aligned}\xi_3 &= 1 - \xi_1 - \xi_2 \\ dA &= 2A \, d\xi_1 \, d\xi_2\end{aligned}$$

Assim, a integral se torna:

$$[k] = \left(\frac{1}{16A^4}\right) \left(\frac{t^3}{12}\right) 2A \int_0^1 \int_0^{(1-\xi_2)} f(\xi_1, \xi_2) \, d\xi_1 \, d\xi_2 \quad (115)$$

No presente trabalho, a integral presente na Equação 115 será resolvida utilizando-se dos recursos do MATLAB®, dispensando, assim, a apresentação da matriz de rigidez de forma explícita.

#### 2.3.2.4 Vetor de cargas nodais equivalentes

O método dos elementos finitos, como se sabe, pressupõe o domínio do problema discretizado em uma malha composta por nós e elementos. Assim, no caso de uma carga distribuída é preciso calcular a carga equivalente em cada nó, ou seja, cada nó recebe uma parcela dessa carga, o que é realizado por meio do vetor de cargas nodais equivalentes:

$$[f_d] = \int_A [\phi]^T p \, dA \quad (116)$$

que pode ser resolvida utilizando-se da mesma substituição de variáveis empregada na solução da integral da equação 114. Nota-se que como  $p$  é uma carga constante, a mesma pode ser retirada da integral da equação 116.

$$[f_d] = 2A \cdot p \int_0^1 \int_0^{(1-\xi_2)} f(\xi_1, \xi_2) \, d\xi_1 \, d\xi_2 \quad (117)$$

Como  $[\phi]$  é um vetor que contém nove elementos, o resultado da integral tbm é um vetor com nove elementos, sendo contido nesse vetor valores de força aplicada na direção  $z$ , momento fletor em torno de  $x$  e momento fletor em torno de  $y$  para cada um dos três nós do elemento triangular.

### 3 ASPECTOS COMPUTACIONAIS

Este trabalho se constituiu da elaboração de um código computacional implementado no *software* MATLAB<sup>®</sup>, capaz de calcular as deflexões e os esforços internos atuantes nas placas.

A entrada de dados se dá no próprio software, onde são fornecidos os valores das propriedades geométricas da placa e das propriedades mecânicas do material que a compõe, bem como a intensidade e localização dos carregamentos a serem aplicados na mesma.

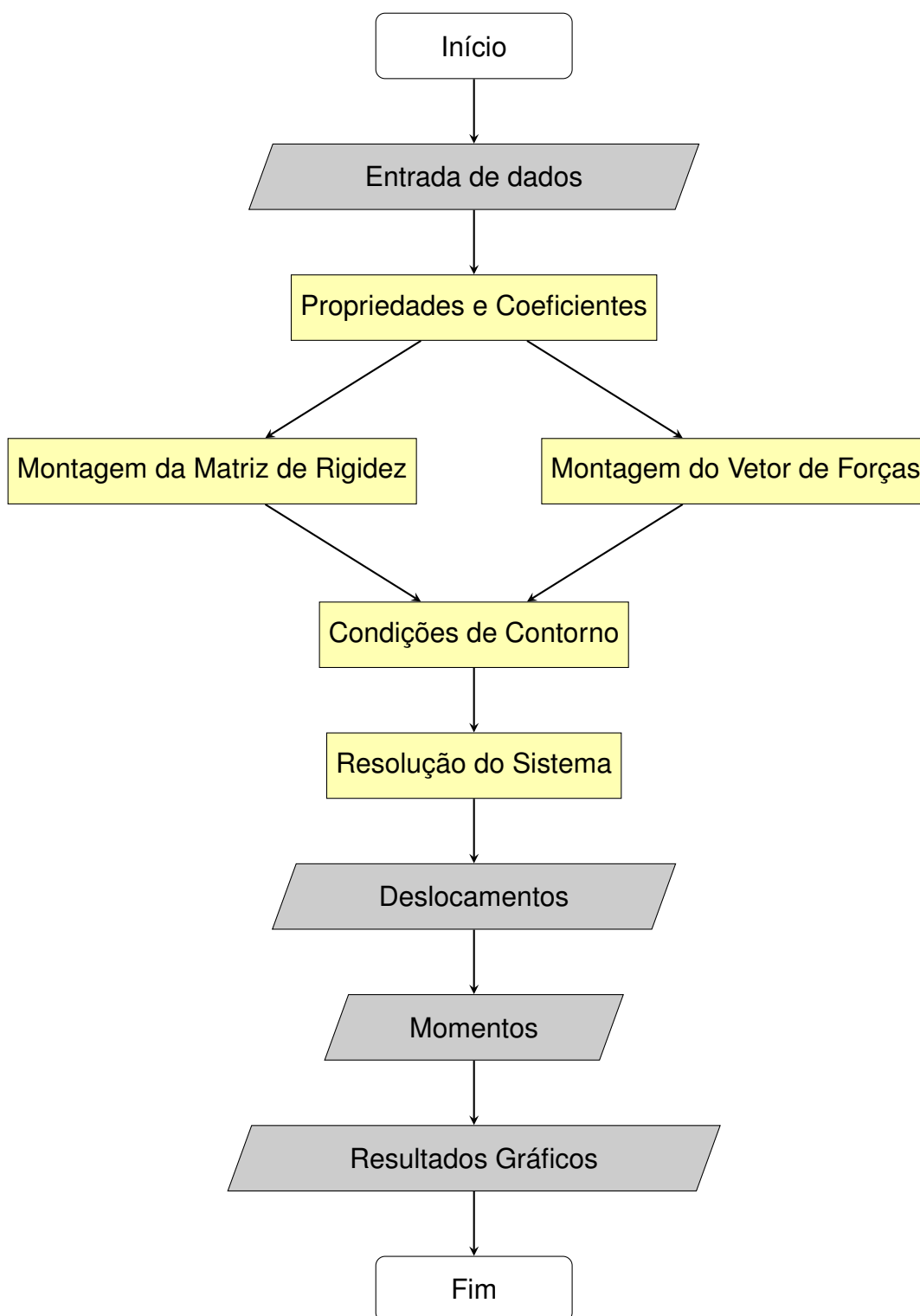
Nas próximas etapas, o algoritmo calcula e monta as matrizes de rigidez locais e global da estrutura, o vetor de forças global, contendo as forças distribuídas e as nodais equivalentes provenientes do carregamento distribuído, sendo por fim aplicadas as condições de contorno tanto na matriz de rigidez, quanto no vetor de forças globais.

Por último, o código resolve o sistema linear de equações para obter os deslocamentos e giros nodais e calcula os esforços internos de momentos fletores e torções atuantes na placa, apresentando os gráficos contendo esses valores para cada nó da estrutura.

#### 3.1 Esquema geral de cálculo

Para que se tenha um melhor entendimento do processo realizado no código computacional foi elaborado o fluxograma da Figura 14, onde, de forma simplificada, cada processo se refere à uma etapa do cálculo realizada no código.

Figura 13 – Fluxograma referente ao processo de cálculo



Fonte: Autoria própria (2022)

## 3.2 Etapas

### 3.2.1 Entrada de dados

No algoritmo criado, quando executado, existem campos de entrada, na linha de comando do MATLAB®, onde podem ser fornecidos valores de carga distribuída, módulo de Young, coeficiente de Poisson, espessura da placa, dimensões da placa nas direções  $x$  e  $y$ , e a quantidade de nós a ser dividida cada uma dessas dimensões, sendo assim montada uma malha regular por meio do próprio algoritmo.

A carga concentrada precisa ser posicionada no coordenada correta da placa e isso nem sempre condiz com coordenadas de nós, sendo assim foi elaborado uma condicional que compara a coordenada da carga com a coordenada de todos os nós da estrutura, de modo a posicioná-la corretamente, sendo que quando a coordenada não coincide, o código informa o erro ao usuário, solicita a sua correção de modo que o código seja executado novamente. O processo pode ser repetido para quantas cargas concentradas o usuário queira inserir na estrutura, bastando fornecer o número de cargas.

Após esse passo foram também criados campos de entrada para que se pudesse inserir as condições de contorno presentes na placa.

### 3.2.2 Propriedades e coeficientes

A partir dos dados armazenados são calculadas a área para cada elemento e a matriz constitutiva do material, bem como os coeficientes utilizados na mudança de coordenadas, nas funções de forma e em suas derivadas (Equações 98).

### 3.2.3 Montagem da matriz de rigidez

Nessa parte do algoritmo são montadas a matriz de rigidez local utilizando-se da equação 115, com a qual é realizada uma integração em termos das coordenadas homogêneas, e a matriz de rigidez global, que é basicamente uma sobreposição das matrizes de rigidez local de cada elemento, formando uma única matriz para a estrutura inteira.

Cabe salientar, no entanto, que tanto a matriz de rigidez local quanto a matriz de rigidez global são simétricas e que, além disso, não admitem inversa, ou seja, são

singulares, o que é alterado somente ao se aplicar as condições de contorno na matriz de rigidez global, tornando-a inversível.

#### 3.2.4 Montagem do vetor de forças

Como já mencionado anteriormente, para a montagem do vetor de forças distribuídas é utilizada a equação 117, no entanto tem-se também o vetor de cargas concentradas e, como após a integração das cargas distribuídas tem-se somente cargas concentradas nos nós, os mesmos podem ser somados, ficando:

$$\{f\} = \{f_d\} + \{f_c\} \quad (118)$$

onde,

$\{f_d\}$ : Vetor de forças distribuídas;

$\{f_c\}$ : Vetor de forças concentradas;

#### 3.2.5 Condições de contorno

Conforme dito na seção 3.2.3 deste trabalho, a matriz de rigidez pode ser invertida somente se forem aplicadas à ela as condições de contorno do problema, que são restrições impostas em termos de giro e deslocamento em pontos da placa.

Para isso, foi criada uma rotina que tem como função definir as condições de contorno nas bordas da placa, na qual o código pede ao usuário se a placa está engastada ou apoiada, no qual por meio de comandos de zero e um o usuário diz se não ou se sim, respectivamente.

#### 3.2.6 Resolução do sistema

Para obter-se o vetor de deslocamentos, é necessário que seja resolvido o sistema linear (Equação 88). Para resolvê-lo, basta inverter a matriz de rigidez e multiplicá-la pelo vetor de forças.



### 3.2.7 Deslocamentos

Como declarado na seção anterior, a resolução do sistema fornece em um primeiro momento o vetor de deslocamentos em todos os pontos da placa analisada.

### 3.2.8 Momentos

Para obter-se os esforços internos de momento, é necessário que se tenha o vetor de deslocamentos, pois de acordo com as equações 57, 58, 60 e 113,  $w$  precisa ser derivado duas vezes em relação às duas variáveis e em relação à cada uma delas de maneira cruzada, e nota-se que  $w$  depende de  $d$ , que é o vetor de deslocamentos. Assim, é possível obter os momentos para cada um dos três nós de cada elemento e, como alguns nós são comuns a dois ou mais elementos, deve-se fazer uma média dos valores encontrados para os referidos nós.

### 3.2.9 Resultados gráficos

Com os valores de deslocamentos e momentos obtidos anteriormente, é possível que sejam traçados gráficos bidimensionais de momentos fletores e torçores, bem como uma superfície que representa a placa em seu estado deformado.

O código fonte implementado está disponível no Apêndice A do trabalho.

## 4 ANÁLISE NUMÉRICA

### 4.1 Generalidades

Esta seção tem como objetivo explicitar os resultados obtidos por meio de simulações numéricas realizadas no código implementado. A validação dos resultados foi realizada mediante outras formas de cálculo existentes, como as tabelas de Bares (CARVALHO; FIGUEIREDO FILHO, 2014) e Czérny (ZENZEN, 2012) e usando o software SCIA Engineer, e comparando o resultado com outros autores.

Para melhor entendimento os resultados são apresentados de maneira elucidativa na forma de tabelas e gráficos.

#### 4.1.1 Uso de tabelas

As tabelas de lajes são os métodos que se tinha para calcular esforços internos e deflexões nas mesmas antes do desenvolvimento de métodos como o MEF. A tabela de Bares, por exemplo, é advinda de uma expansão em séries de Fourier, já a tabela de Czérny foi realizada a partir da teoria da elasticidade (ZENZEN, 2012).

Originalmente as tabelas foram construídas com valores do coeficiente de Poisson distintos dos usados na ABNT NBR 6118:2014. Assim, para que pudessem ser utilizadas em estruturas de concreto armado, precisaram ser adaptadas para um  $\nu$  de 0,2.

Carvalho e Figueiredo Filho (2014) adaptaram as tabelas de Bares para a norma vigente. Já as tabelas de Czérny foram adaptadas no livro Beton-Kalender de 1976 conforme consta em Zenzen (2012). As tabelas em questão estão apresentadas na forma de anexo.

#### 4.1.2 Erro relativo

Uma maneira de determinar a magnitude dos erros é utilizando-se do erro relativo, dado pela equação:

$$e(\%) = \frac{V_o - V_c}{V_c} \cdot 100 \quad (119)$$

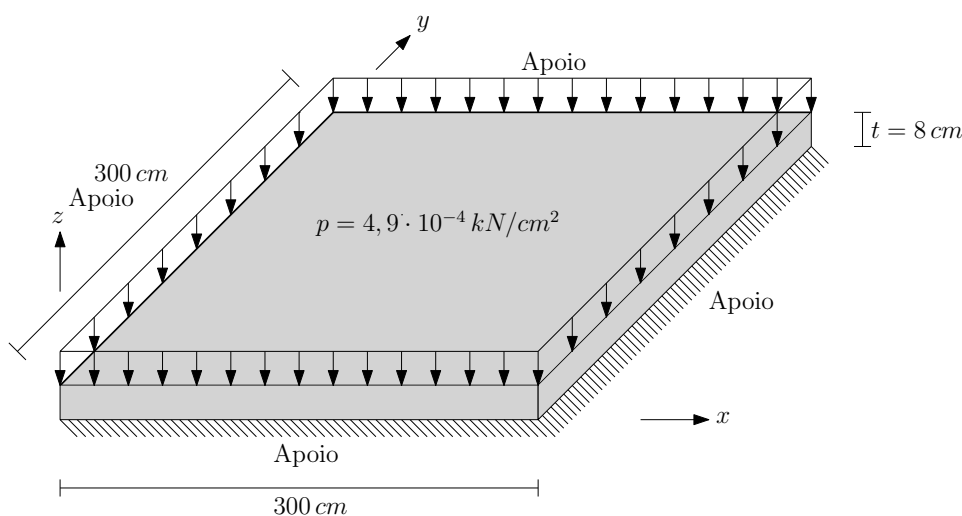
onde  $V_o$  se refere ao valor obtido pelo código implementado e  $V_c$  aos valores de comparação obtidos por meio das tabelas, outros *softwares* ou outros trabalhos.

#### 4.2 Exemplo 1 - Placa quadrada submetida a carregamento distribuído uniforme

O primeiro exemplo se resume em uma placa quadrada com uma carga distribuída uniforme aplicada sobre a mesma, onde, no caso, foi simulada uma carga comum à edificações residenciais, juntamente com o peso próprio de uma laje maciça. O módulo de Young utilizado foi de  $2400 \text{ kN/cm}^2$  e o coeficiente de Poisson de 0,2.

A placa (Figura 14) foi calculada por meio do algoritmo implementado com 8, 72, 200, 800, 1800, e 3200 elementos, e também por meio da tabela de Bares e de Czérny.

Figura 14 – Placa quadrada com todos os bordos simplesmente apoiados submetida a carregamento uniformemente distribuído



Fonte: Autoria própria (2022)

A Tabela 1 mostra a comparação entre os resultados obtidos através do código implementado, utilizando uma malha composta por 3200 elementos, com os fornecidos pelas tabelas de Bares e de Czérny. Nota-se que os valores de  $M_x$  e  $M_y$  são iguais no ponto central da placa, isso se deve ao fato da placa ser simétrica, tanto em termos de dimensões quanto em termos de vinculações e ainda, ao carregamento ser uniforme.

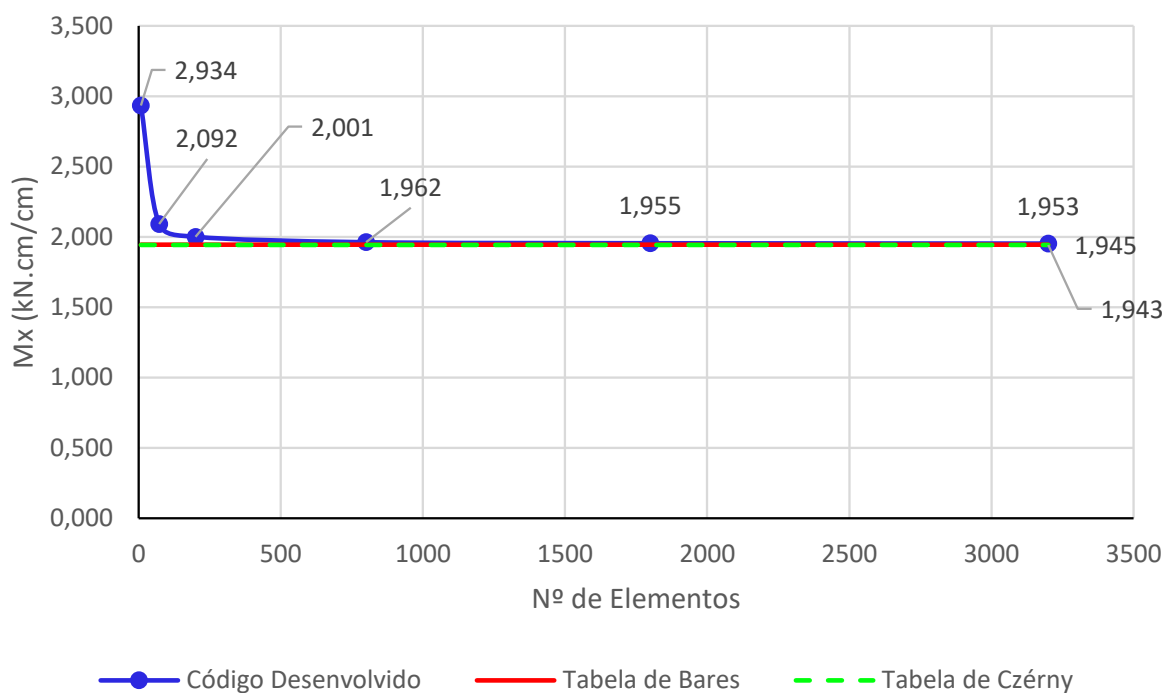
Tabela 1 – Comparação entre resultados de momentos e deslocamentos obtidos para o ponto central da placa, através do código implementado e das tabelas de Bares e Czérny

	$M_x (\frac{kN.cm}{cm})$	$M_y (\frac{kN.cm}{cm})$	$w (cm)$
<b>Código (MEF)</b>	1,952559	1,952559	-0,151275
<b>Tabela de Bares</b>	1,944810	1,944810	-0,150840
<b>Erro relativo (%)</b>	0,398428	0,398428	0,288274
<b>Tabela de Czérny</b>	1,942731	1,942731	-0,150934
<b>Erro relativo (%)</b>	0,505855	0,505855	0,226095

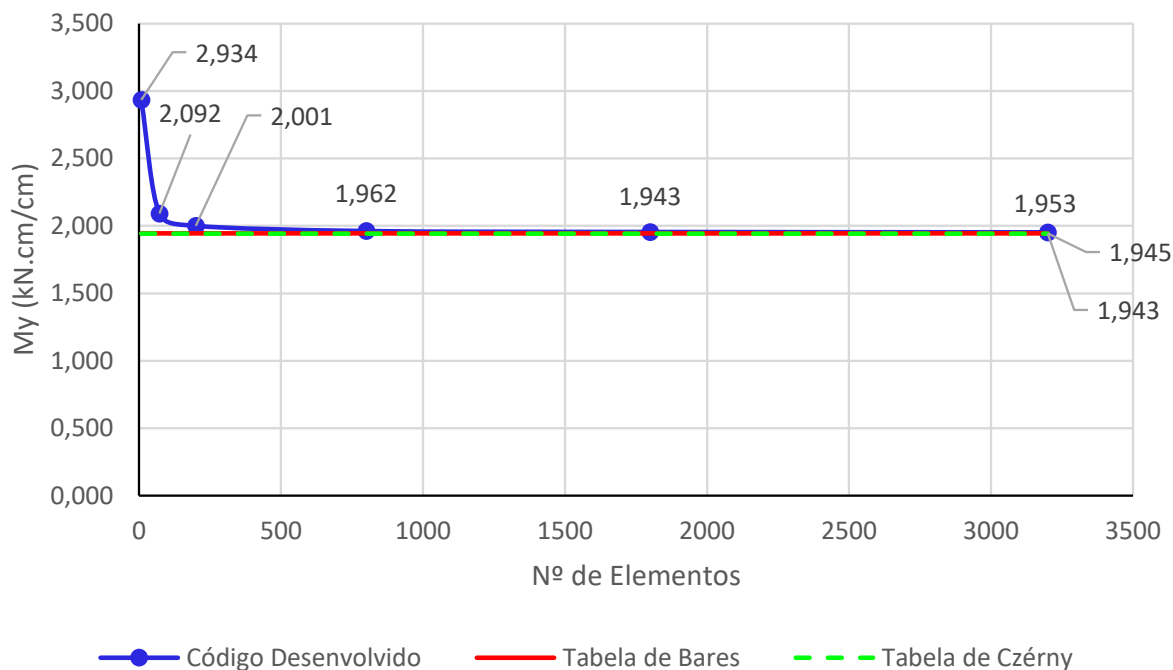
Fonte: Autoria própria (2022)

Os gráficos das Figuras 15, 16 e 17 mostram a convergência dos resultados às soluções por meio das tabelas de Bares e Czérny ao passo que se aumenta o número de elementos.

Figura 15 – Convergência do momento  $M_x$

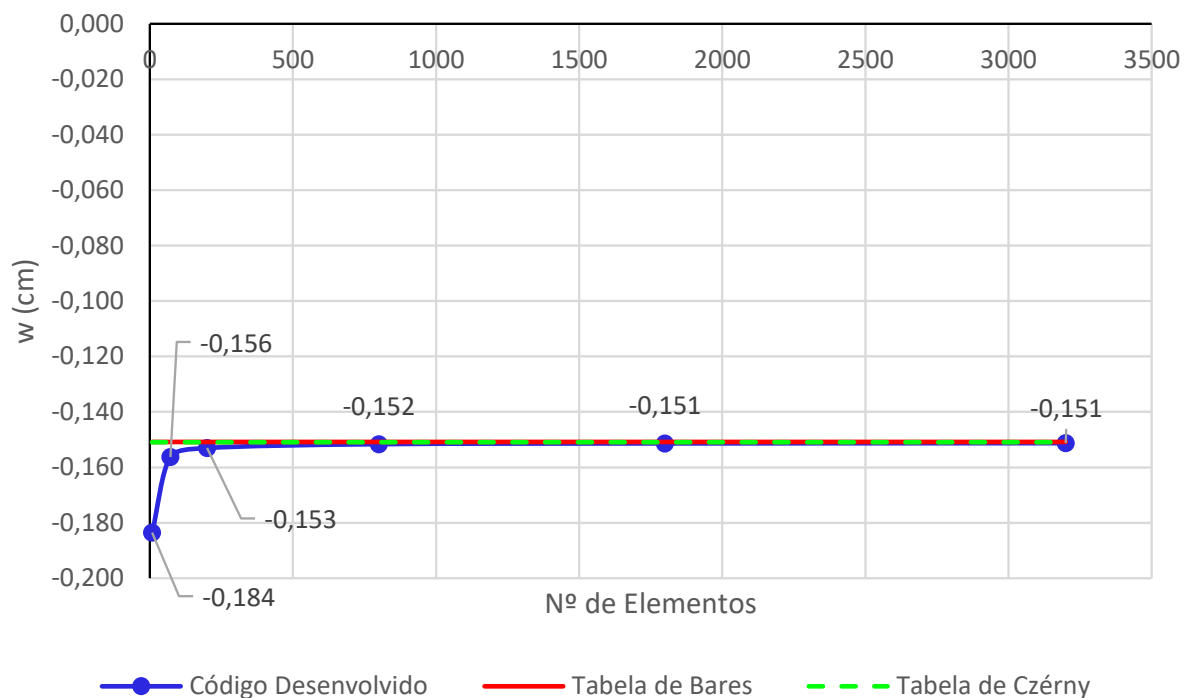


Fonte: Autoria própria (2022)

Figura 16 – Convergência do momento  $M_y$ 

Fonte: Autoria própria (2022)

Figura 17 – Convergência dos deslocamentos



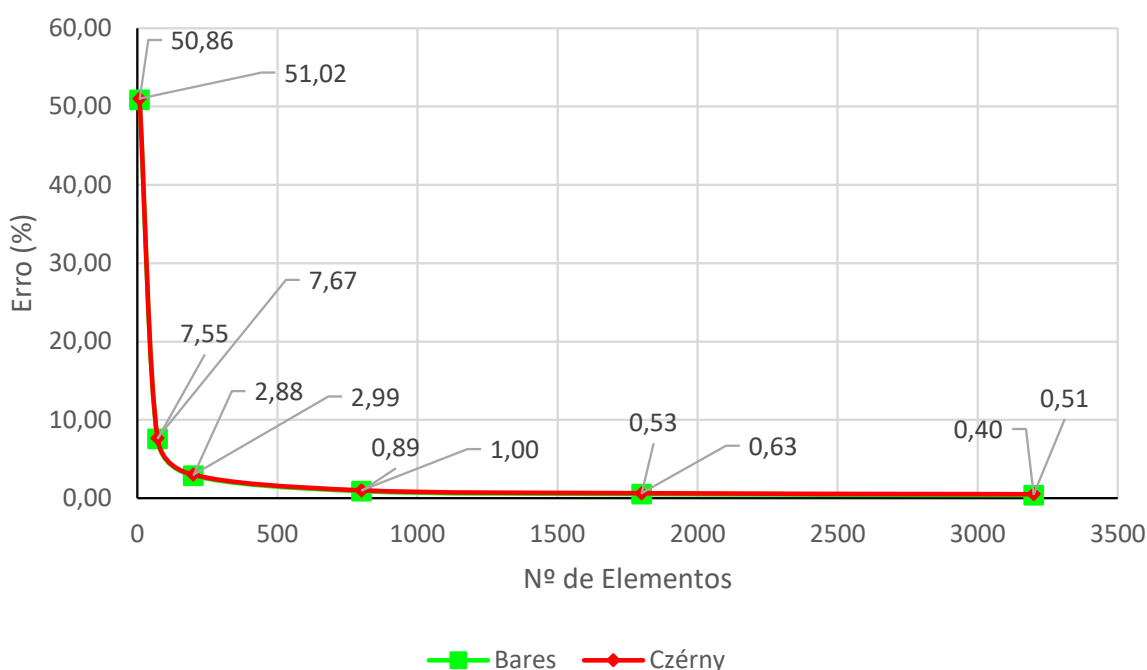
Fonte: Autoria própria (2022)

Percebe-se que a medida que aumenta-se o número de elementos o erro é reduzido, chegando o resultado a valores extremamente próximos aos das tabelas. O

erro se dá pelo fato dos cálculos serem realizados por meios aproximados e diferentes entre si.

No gráfico da figura 18 pode-se observar a ordem de grandeza da redução dos erros para os momentos fletores conforme se aumenta o número de elementos na análise. Nesse gráfico, os valores apresentados à esquerda referem-se, sempre, aos valores obtidos por meio da comparação com a tabela de Bares, e os apresentados à direita, com os obtidos pela comparação com a tabela de Czérny, respectivamente.

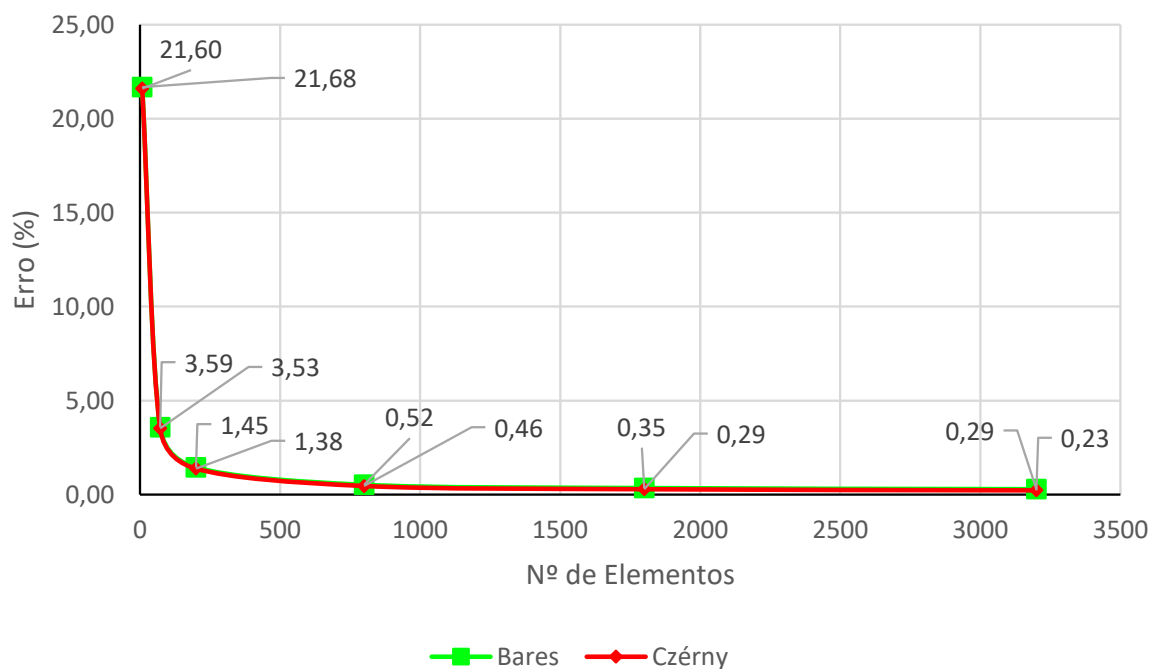
Figura 18 – Convergência do erro percentual relativo para os momentos fletores



Fonte: Autoria própria (2022)

A Figura 19, por sua vez, traz um gráfico similar, porém nesse pode-se constatar a convergência dos erros para os deslocamentos.

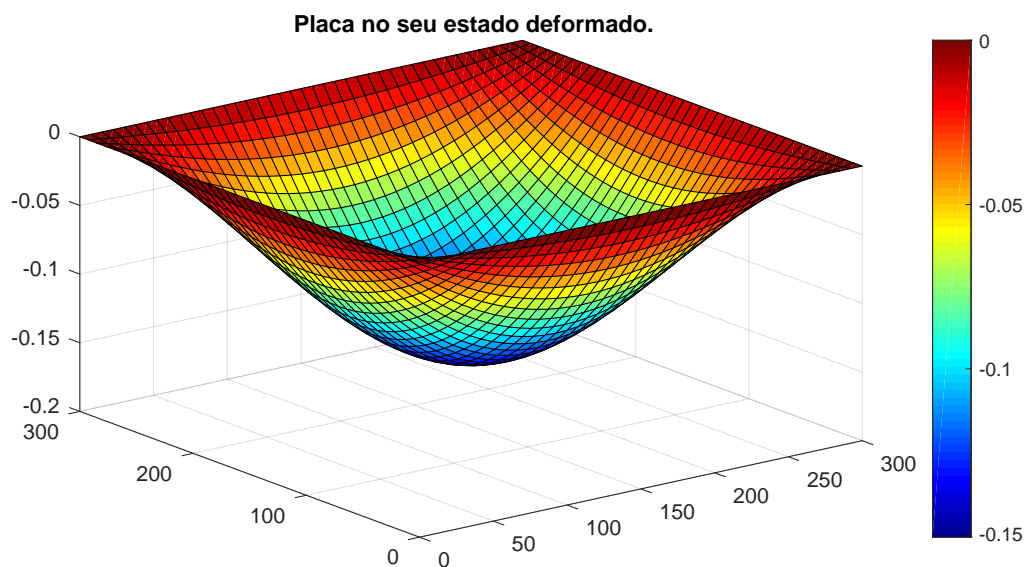
Figura 19 – Convergência do erro percentual relativo para os deslocamentos



Fonte: Autoria própria (2022)

Nota-se que os resultados de deslocamento tendem a convergir mais rapidamente que resultados de momento fletor. Isso se dá por conta da redução de grau do polinômio interpolador, pois, quando deriva-se o mesmo para obter-se os momentos fletores, o polinômio originalmente de terceiro grau passa a ser linear, o que reduz a precisão envolvida.

Por fim, na Figura 20, tem-se a configuração deformada da placa analisada.

Figura 20 – Configuração deformada da placa (valores em *cm*)

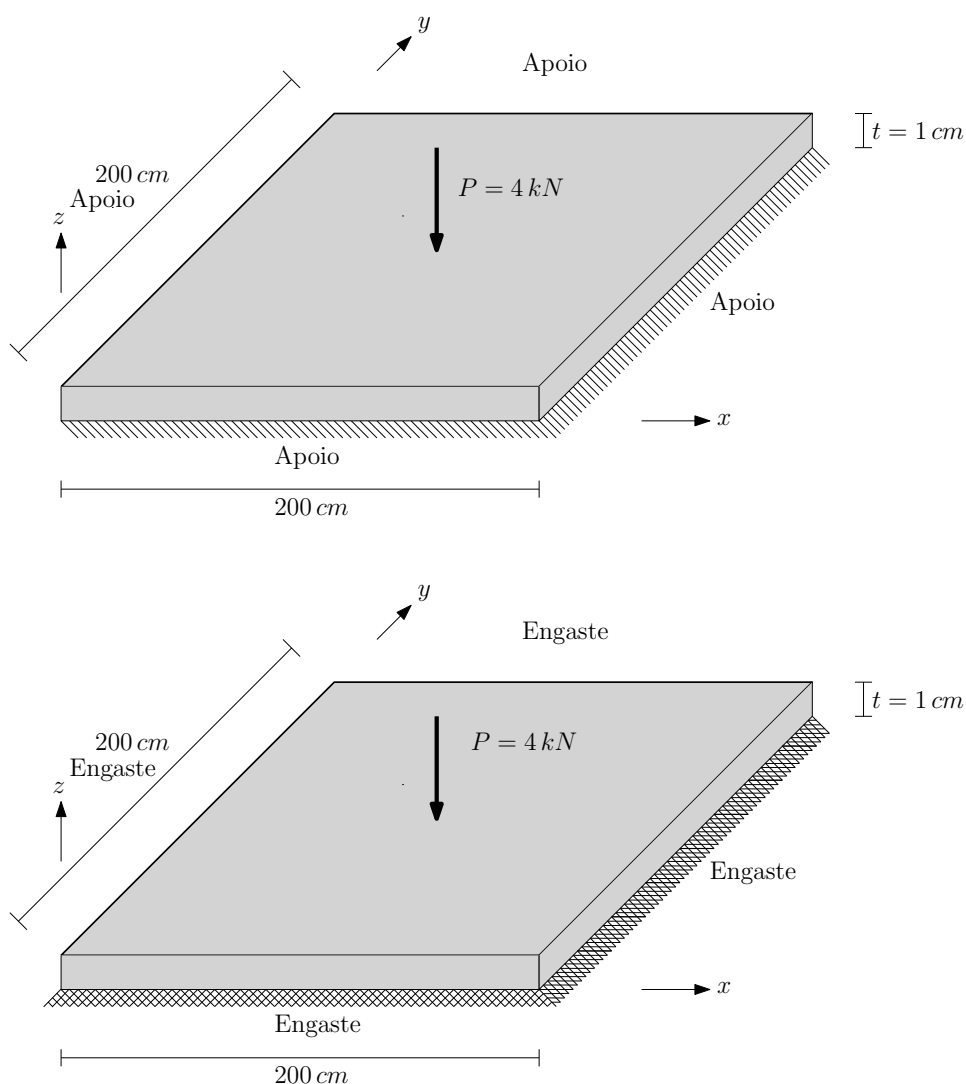
Fonte: Autoria própria (2022)

#### 4.3 Exemplo 2 - Placa quadrada submetida a carregamento aplicado no centro

O segundo exemplo se trata de uma placa quadrada com uma força aplicada em seu centro, o módulo de Young nesse caso é de  $10000 \text{ kN/cm}^2$  e o coeficiente de Poisson de 0,3. A placa em questão foi calculada com duas diferentes vinculações, a primeira com todas as bordas apoiadas e a segunda com todas as bordas engastadas. Mais informações podem ser encontradas na Figura 21.



Figura 21 – Placa quadrada com carga pontual aplicada no centro



Fonte: Autoria própria (2022)

A Tabela 2 mostra os deslocamentos do ponto central da placa para ambas as situações de vinculações, para diferentes quantidades de elementos, e também traz os valores fornecidos por Leal (2015), que utilizou de um código em elementos finitos usando uma malha de elementos retangulares, compostos por quatro nós, contendo também três graus de liberdade em cada nó. Além disso, pode-se verificar o erro relativo obtido com cada valor de flecha calculado quando comparados com a solução do autor mencionado.

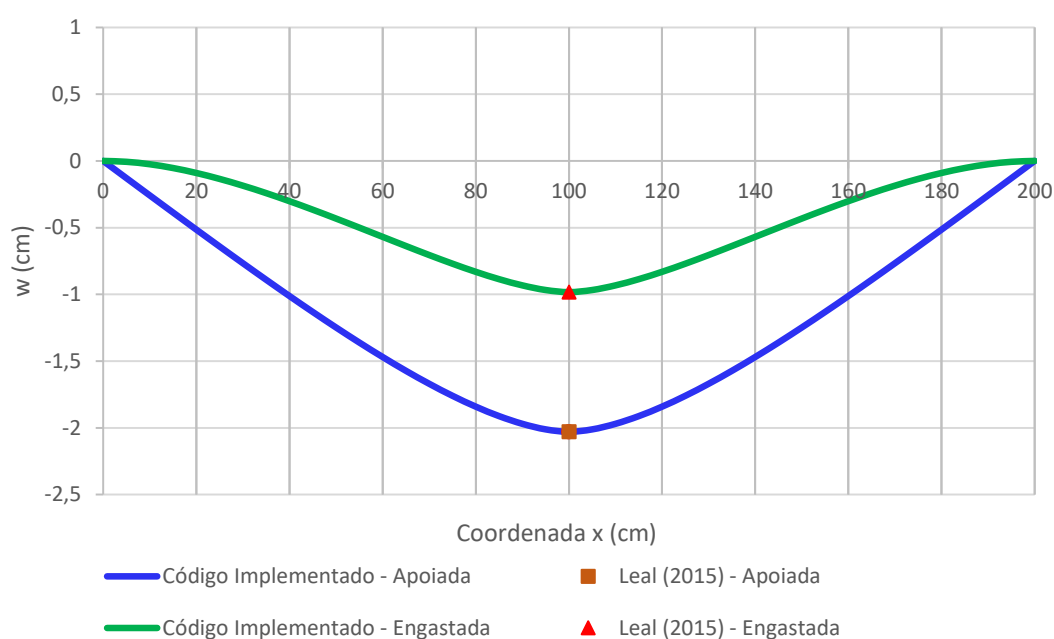
Tabela 2 – Comparação dos resultados obtidos através do código implementado com os obtidos por Leal (2015)

	Nº de elementos	$w(cm)$ Apoiada	Erro relativo (%)	$w(cm)$ Engastada	Erro relativo (%)
<b>Código (MEF)</b>	32	-2,177980	7,329	-1,070273	8,917
	200	-2,060237	1,527	-1,009137	2,695
	800	-2,037060	0,385	-0,989699	0,717
	1800	-2,031890	0,130	-0,985111	0,250
	3200	-2,029896	0,032	-0,983306	0,067
<b>Leal (2015)</b>	1600	-2,029246	-	-0,982651	-

Fonte: Autoria própria (2022)

Pode-se comparar os resultados também de maneira gráfica, por meio da Figura 22, que compara os valores obtidos por meio do código desenvolvido com os valores encontrados em Leal (2015) para as duas condições de vinculação estabelecidas. Por meio do gráfico, também é possível observar a configuração deformada da seção crítica da placa (coordenada  $y = 100\text{ cm}$ ).

Figura 22 – Comparação da deflexão das placas nas configurações apoiada e engastada com os valores obtidos de Leal (2015)

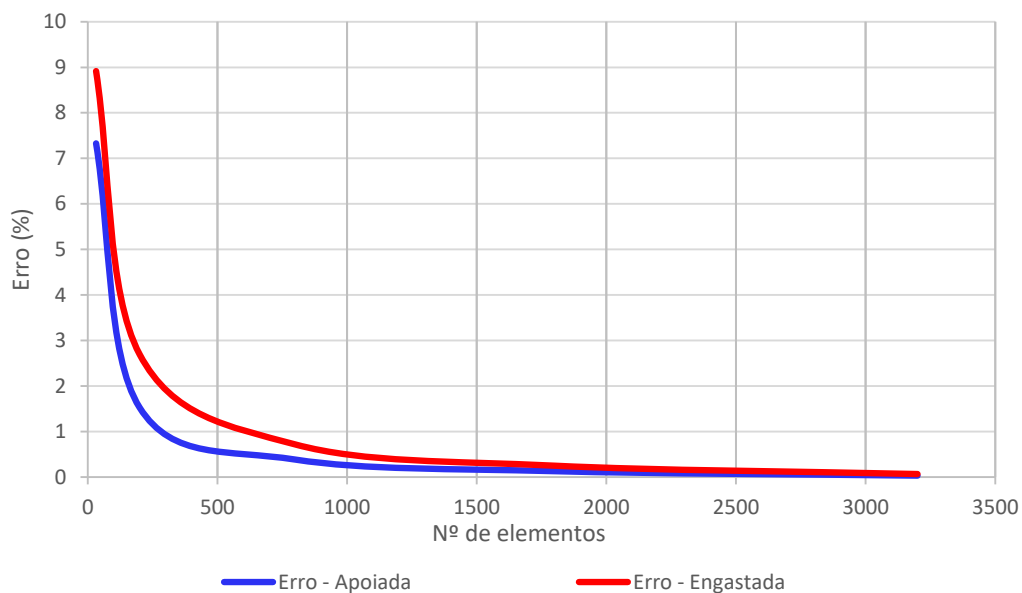


Fonte: Autoria própria (2022)

Os erros envolvidos no cálculo com os diferentes números de elementos fazendo uso das duas condições de contorno distintas também foram representados de

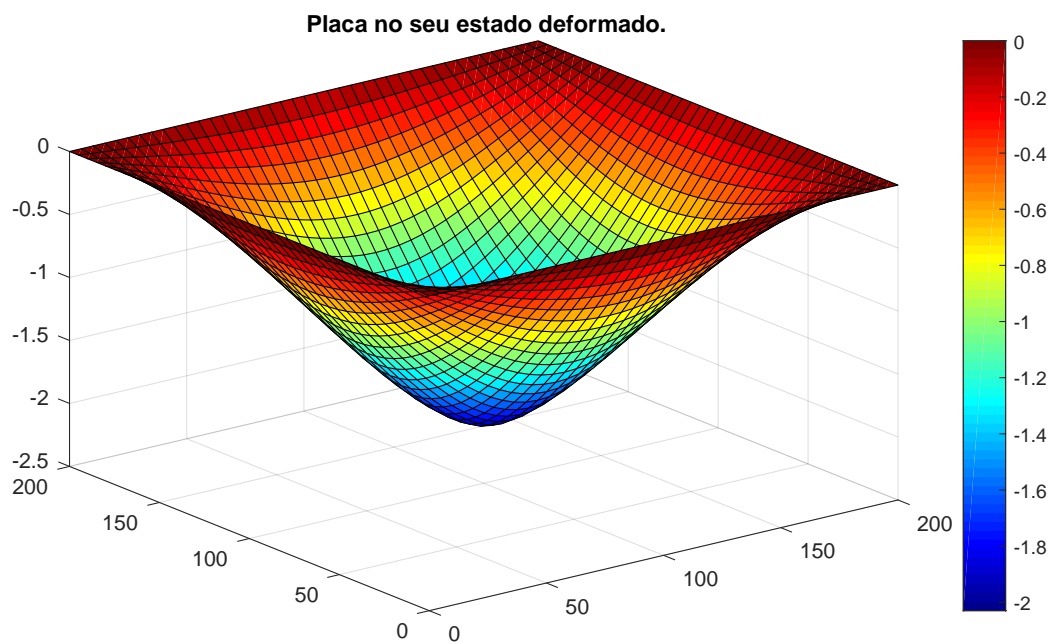
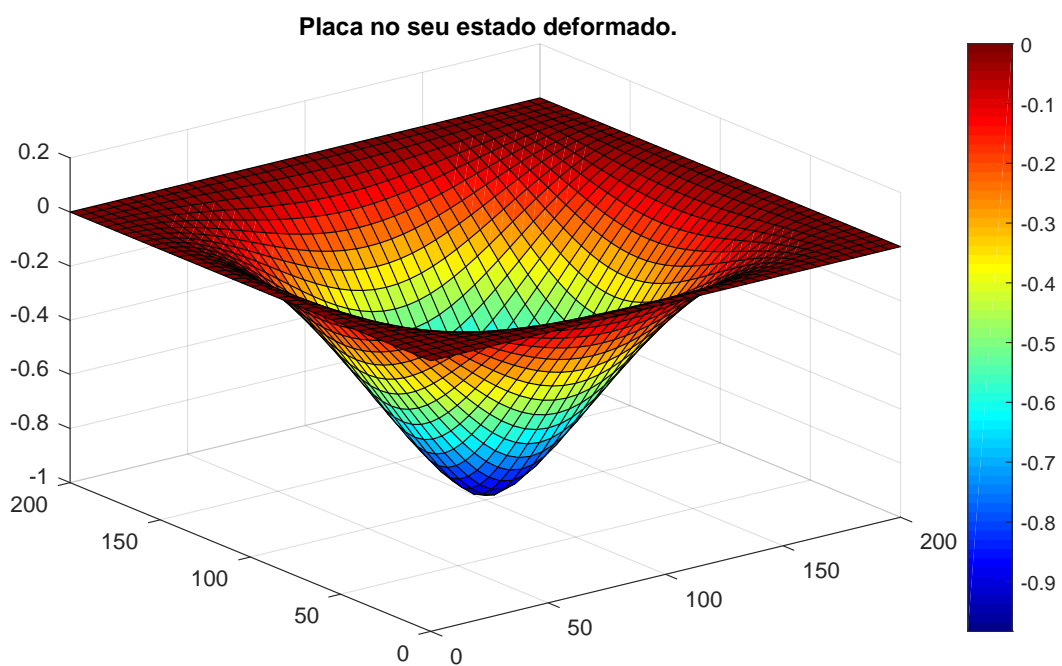
maneira gráfica (Figura 23) para que se possa observar as diferenças entre os mesmos. Pode-se constatar que os erros com a placa engastada foram sempre maiores, entretanto as diferenças não foram significativas.

Figura 23 – Convergência do erro percentual para a deflexão da placa



Fonte: Autoria própria (2022)

As Figuras 24 e 25 trazem as configurações deformadas para a placa do exemplo em questão para as condições de vinculação apoiada e engastada, respectivamente. Percebe-se que na placa engastada os giros são nulos nas extremidades.

Figura 24 – Configuração deformada da placa apoiada em todas as bordas (valores em *cm*)Figura 25 – Configuração deformada da placa engastada em todas as bordas (valores em *cm*)

A partir da análise realizada percebe-se que ao se alterar as condições de vinculação com a mesma carga pontual aplicada o resultado de deflexão diverge em cerca de 50 %.

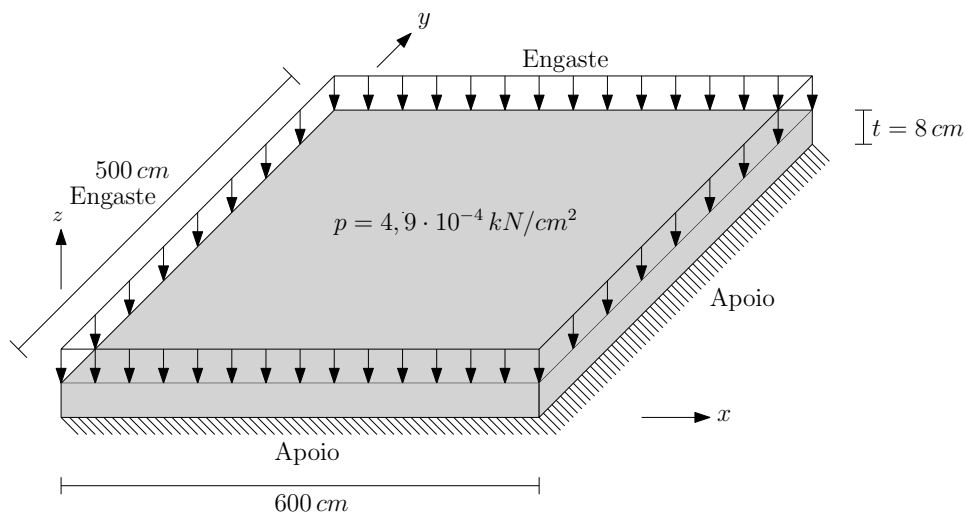
Em relação à comparação com os resultados fornecidos por Leal (2015), pode-se notar que o código implementado com elementos triangulares demora mais à convergir, tendo em vista que o resultado fornecido pelo referido autor alcança a devida precisão fazendo o uso de 1600 elementos apenas, enquanto que o resultado obtido pelo algoritmo implementado somente alcança a mesma precisão com 3200 elementos.

Entretanto, ambos os tipos de elementos, retangulares ou triangulares alcançam resultados similares, com erros percentuais tendendo à zero, o que reforça a correta implementação do MEF com o uso de elementos triangulares neste trabalho.

#### 4.4 Exemplo 3 - Placa retangular submetida a carregamento distribuído uniforme

O presente exemplo consta de uma placa retangular (Figura 26) submetida ao mesmo carregamento do Exemplo 1, porém com dois de seus bordos engastados e dois apoiados, de modo a simular a continuidade da laje sobre vigas.

Figura 26 – Placa retangular com dois bordos simplesmente apoiados e dois bordos engastados



Fonte: Autoria própria (2022)

Em uma primeira tentativa, a placa em questão foi calculada fazendo-se o uso de 3200 elementos, utilizando-se a mesma quantidade de elementos em cada uma das duas dimensões, e os resultados comparados com um modelo implementado no SCIA Engineer utilizando 3000 elementos. A Tabela 3 expressa os resultados obtidos.

Tabela 3 – Comparação entre resultados obtidos através do código implementado e do software SCIA Engineer para a mesma quantidade de elementos em ambos os lados

	<b>Código (MEF)</b>	<b>SCIA</b>	<b>Erro relativo (%)</b>
$M_x(kN.cm/cm)$	3,696002	3,700	-0,108
$M'_x(kN.cm/cm)$	-8,984439	-9,330	-3,704
$M_y(kN.cm/cm)$	5,030336	5,040	-0,192
$M'_y(kN.cm/cm)$	-10,612839	-10,600	0,121
$w(cm)$	-0,871191	-0,875	-0,435

Fonte: Autoria própria (2022)

Tendo em vista a ordem de grandeza maior obtida para o erro referente à um dos momentos negativos, o exemplo foi recalculado por meio do código implementado com 6000 elementos, porém com um número maior de elementos em sua face maior, e também por meio do software SCIA engineer com 3000 elementos.

A Tabela 4 compara os valores obtidos através do código implementado e do SCIA Engineer. Os valores de  $M_x$  e  $M_y$  se referem aos momentos que tracionam as fibras inferiores da placa na seção mais solicitada, neste caso não sendo em seu centro devido às condições de vinculação da mesma. Enquanto que os valores de  $M'_x$  e  $M'_y$  se referem aos momentos que tracionam as fibras superiores da mesma, atuando nas extremidades dos bordos engastados. Os gráficos das Figuras 30, 32, 34 e 35 mostram com maior clareza as coordenadas onde se situam esses esforços.

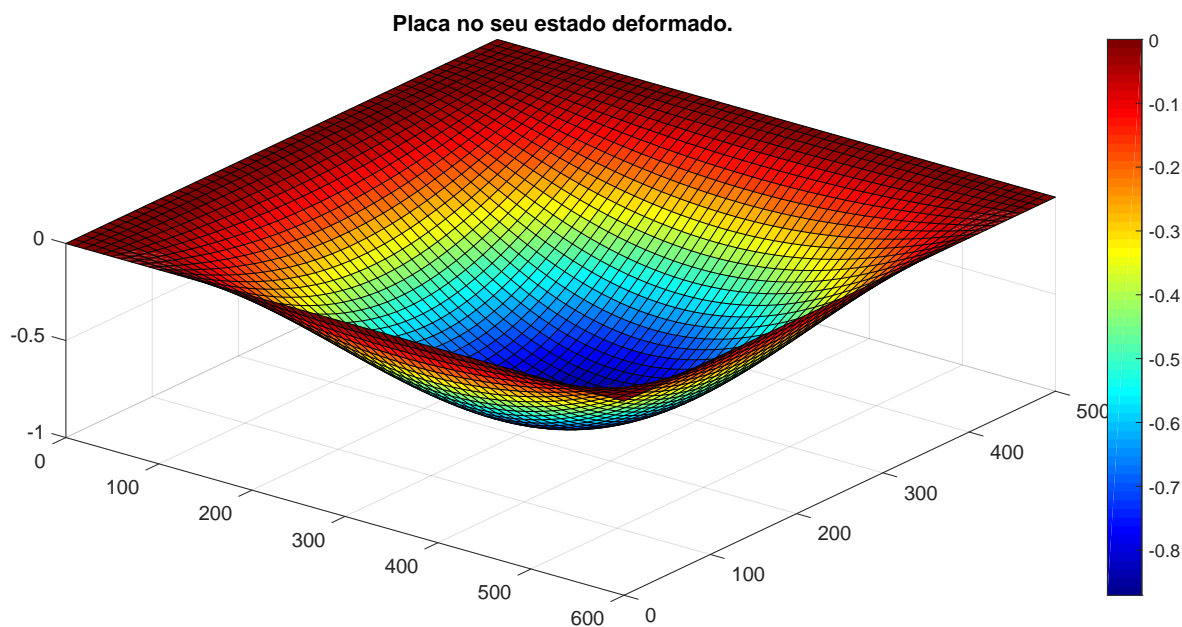
Tabela 4 – Comparação entre resultados obtidos através do código implementado e do software SCIA Engineer para uma maior quantidade de elementos na maior dimensão da placa

	<b>Código (MEF)</b>	<b>SCIA</b>	<b>Erro relativo (%)</b>
$M_x(kN.cm/cm)$	3,691333	3,700	-0,234
$M'_x(kN.cm/cm)$	-9,226976	-9,330	-1,104
$M_y(kN.cm/cm)$	5,029922	5,040	-0,200
$M'_y(kN.cm/cm)$	-10,481505	-10,600	-1,118
$w(cm)$	-0,870702	-0,875	-0,491

Fonte: Autoria própria (2022)

Na Figura 27 pode-se observar a configuração deformada da placa em questão obtida com o código implementado.

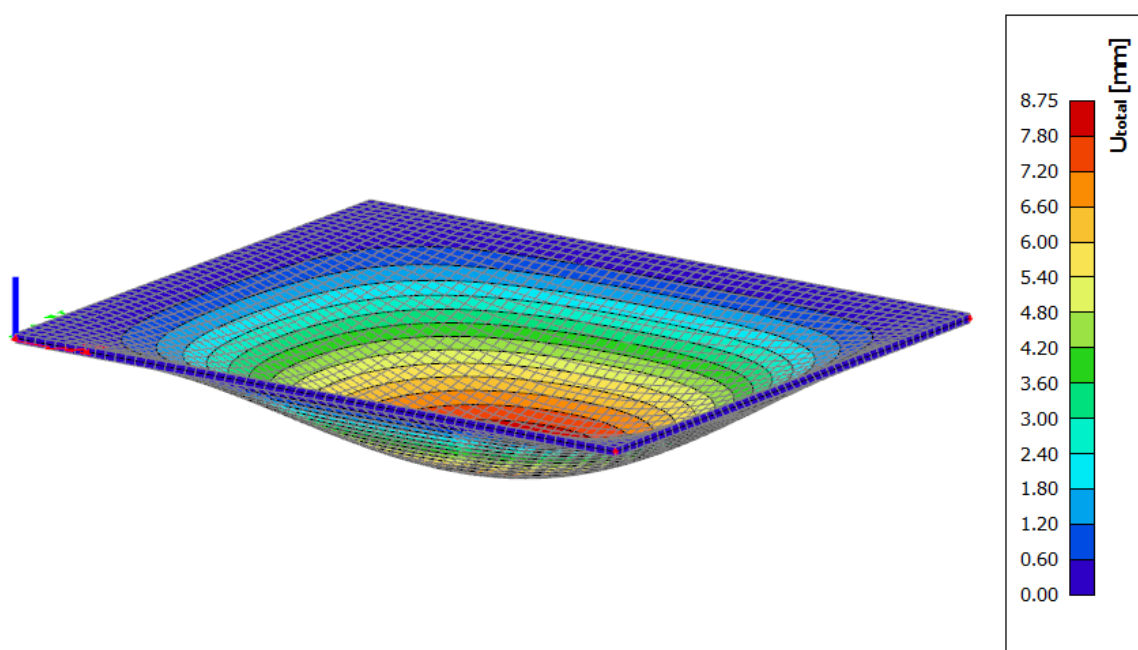
Figura 27 – Configuração deformada da placa obtida por meio do código implementado (valores em *cm*)



Fonte: Autoria própria (2022)

A Figura 28, por sua vez, mostra a configuração deformada obtida no *software* SCIA Engineer.

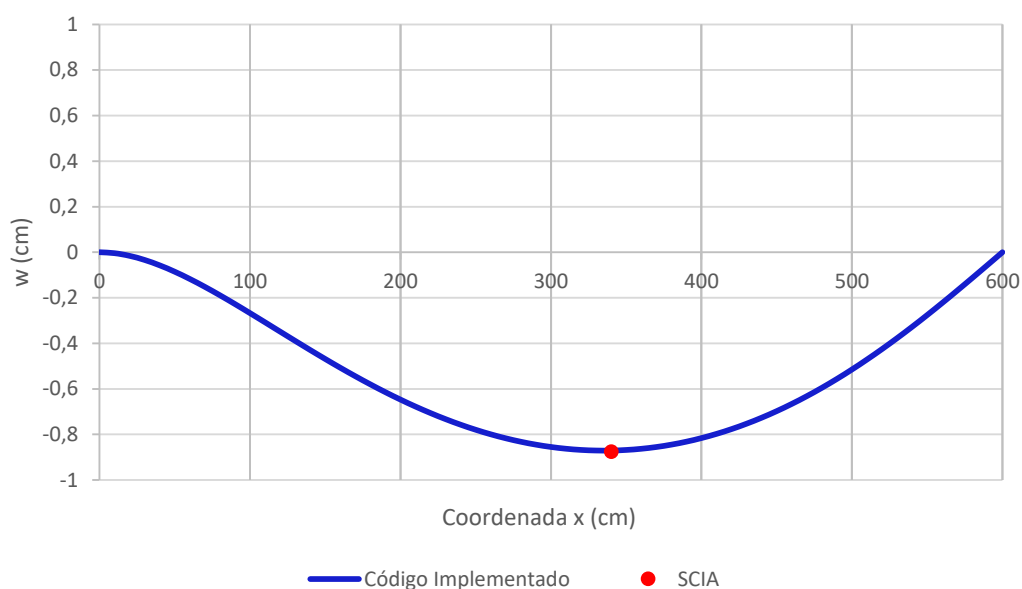
Figura 28 – Configuração deformada da placa obtida por meio do SCIA Engineer



Fonte: SCIA Engineer (2022)

O gráfico da Figura 29 apresenta uma comparação entre os deslocamentos obtidos por meio do algoritmo implementado e o deslocamento máximo obtido no SCIA, na seção crítica da placa.

Figura 29 – Comparação entre os deslocamentos obtidos via código implementado e via SCIA Engineer, na seção  $y = 220 \text{ cm}$

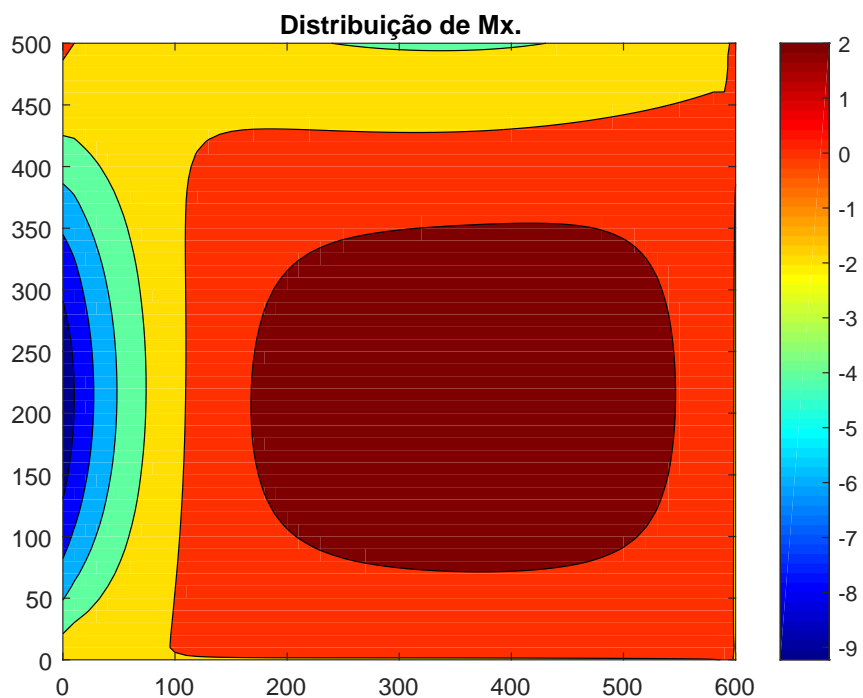


Fonte: Autoria própria (2022)

Também foram obtidos os gráficos das Figuras 30 e 31, onde pode-se observar a distribuição de momentos  $M_x$  na placa analisada. Os gráficos foram obtidos por meio do código implementado e do SCIA Engineer, respectivamente. As unidades dos momentos dos gráficos gerados pelo algoritmo implementado são  $kN.cm/cm$ .

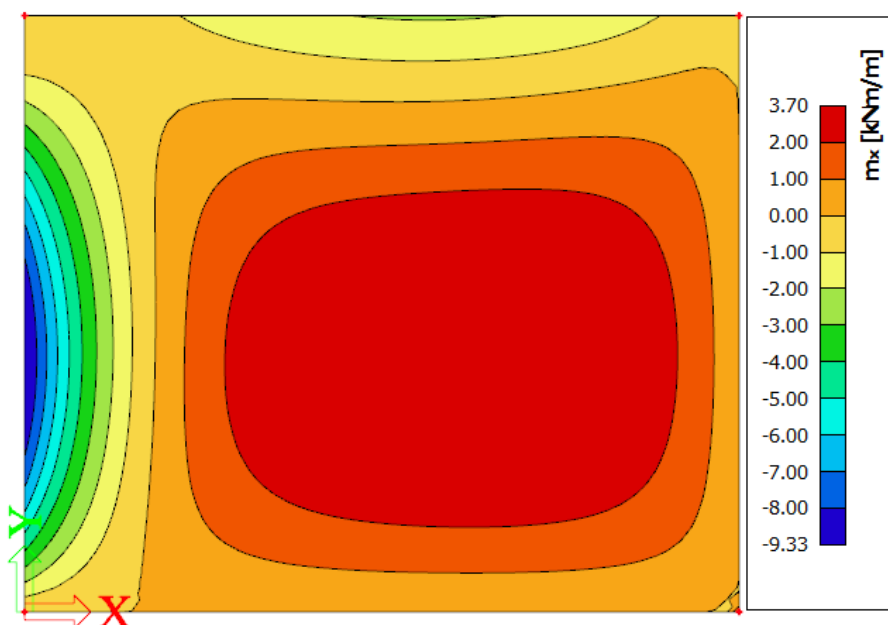


Figura 30 – Distribuição de  $M_x$  obtida por meio do código implementado (dimensões da placa em  $cm$ )



Fonte: Autoria própria (2022)

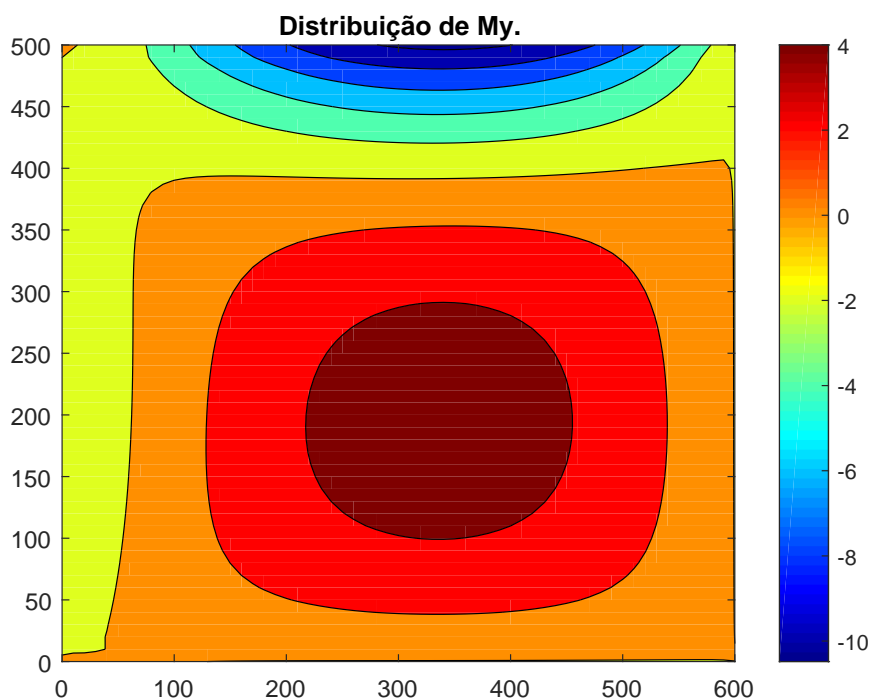
Figura 31 – Distribuição de  $M_x$  obtida por meio do SCIA Engineer



Fonte: SCIA Engineer (2022)

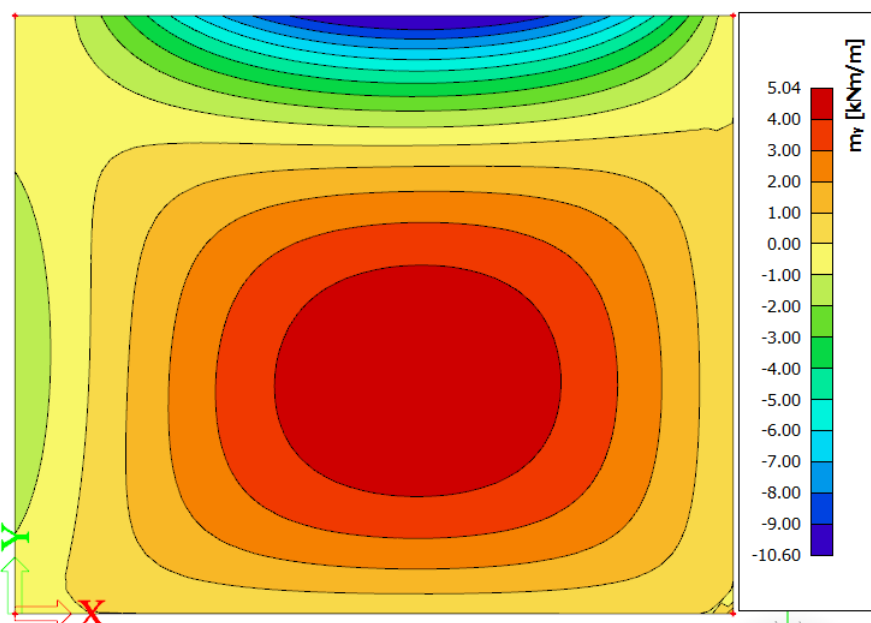
Da mesma forma, foram obtidos também os gráficos de momento para os momentos  $M_y$  (Figuras 32 e 33).

Figura 32 – Distribuição de  $M_y$  obtida por meio do código implementado (dimensões da placa em  $cm$ )



Fonte: Autoria própria (2022)

Figura 33 – Distribuição de  $M_y$  obtida por meio do SCIA Engineer .

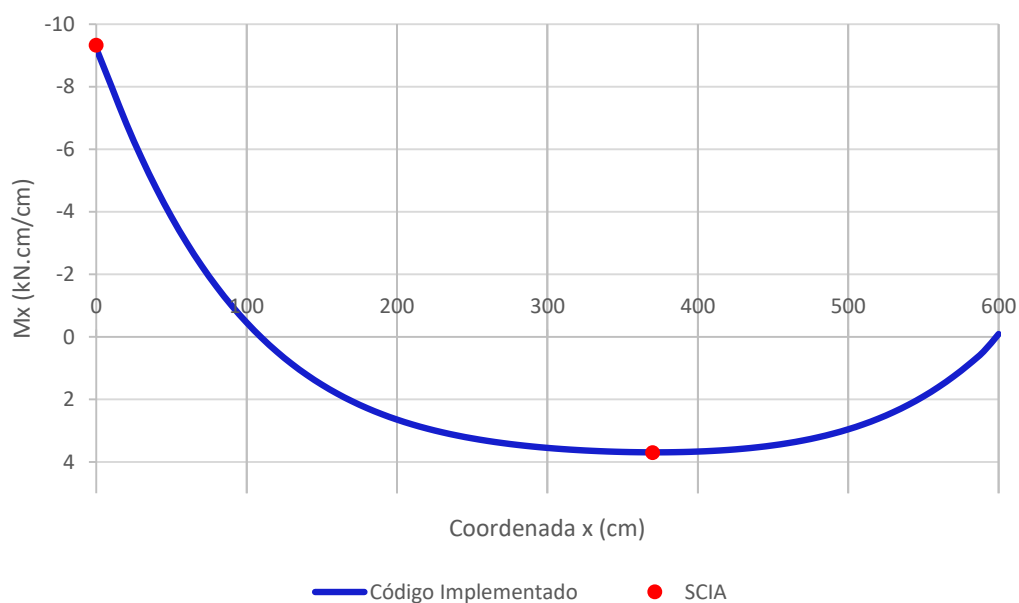


Fonte: SCIA Engineer (2022)

Para melhor visualização foram elaborados ainda gráficos comparativos entre os momentos obtidos pelo algoritmo implementado e os valores de momentos máximos fornecidos pelo SCIA. Os momentos foram tomados na seção mais crítica da

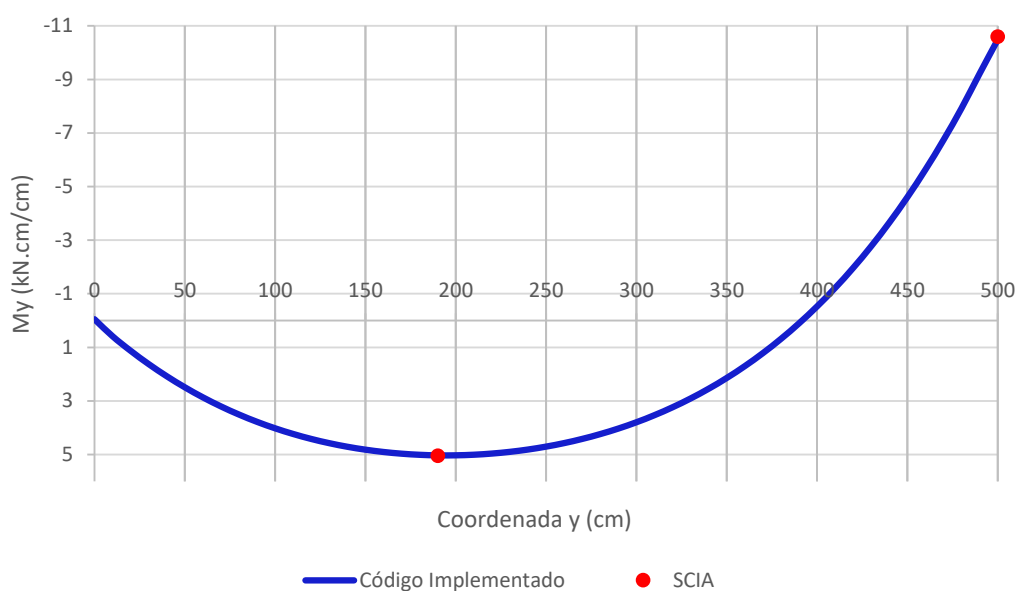
placa nas direções  $x$  e  $y$  e posicionados no gráfico na forma de diagramas (Figuras 34 e 35).

Figura 34 – Momentos fletores  $M_x$  obtidos na seção  $y = 220$  cm da placa por meio do código implementado e do SCIA Engineer



Fonte: Autoria própria (2022)

Figura 35 – Momentos fletores  $M_y$  obtidos na seção  $x = 350$  cm da placa por meio do código implementado e do SCIA Engineer



Fonte: Autoria própria (2022)

Com a comparação de dados realizada por meio dos gráficos e tabelas anteriormente apresentados pode-se perceber que os resultados variaram muito pouco, em

torno de 1,1 %, em relação aos dados obtidos por meio do *software* SCIA Engineer. Dessa forma, é verificada mais uma vez a adequada implementação do algoritmo baseado no MEF, mesmo em situações nas quais as vinculações e dimensões da placa não são todas iguais.

O percentual de erro nesse caso se deve basicamente ao fato de no SCIA serem utilizados elementos retangulares, que possuem um nó e conseqüentemente 3 graus de liberdade por elemento a mais, o que culmina em um polinômio interpolador com mais termos, fornecendo uma maior precisão.

Quando comparados aos resultados obtidos na primeira tentativa, alguns resultados ficaram até mais distantes que os obtidos anteriormente, no entanto, em uma visão geral, na segunda tentativa os resultados apresentaram erros mais homogêneos, não apresentando um erro muito maior que os outros, como é o caso da primeira tentativa. Isso ocorre provavelmente por conta dos elementos possuírem dimensões maiores em um dos lados, na primeira tentativa, o que faz com que fiquem distorcidos. Além disso, foi notado que utilizando-se a segunda configuração, a solução demorou mais para convergir, assim fez-se o uso de um maior número de elementos na respectiva análise.

#### **4.5 Exemplo 4 - Placas simplesmente apoiadas genéricas com diferentes relações entre suas dimensões.**

Por fim, neste último exemplo, foram utilizadas três diferentes placas, com uma carga  $q$  uniformemente distribuída sobre as mesmas, módulo de young  $E$ , espessura  $t$  e coeficiente de Poisson 0,2. Entretanto, cada uma com relações entre o lado maior ( $l_y$ ) e o lado menor ( $l_x$ ) da placa, distintas, onde os valores podem ser comparados com os presentes nas tabelas de Bares e Czérny.

Como se sabe, após um certo valor da relação  $l_y/l_x$ , as tabelas apresentam dados constantes para os coeficientes, apresentando a relação como “ $\infty$ ”, o qual sugere que após esse certo valor, não há alterações significativas nas expressões utilizadas para cálculo de deslocamentos e esforços. Assim, de modo a ter-se um valor de comparação, a primeira relação de  $l_y/l_x$  tomada foi uma para a qual os valores dos coeficientes utilizados nas equações fornecidas pelas tabelas eram conhecidos, ao passo que os outros dois valores da relação se encontram após o ponto mencionado

no início do parágrafo.

A Tabela 5 mostra os coeficientes obtidos com o código implementado e os presentes nas tabelas de Bares e Czérny, com base na relação estabelecida no parágrafo anterior.

**Tabela 5 – Comparação entre valores dos coeficientes das tabelas de Bares e Czérny com os valores obtidos por meio do código implementado para diferentes valores da relação  $l_y/l_x$**

$l_y/l_x$	$\alpha$			$\alpha_2$		
	Tabela de Bares	Código (MEF)	Erro relativo (%)	Tabela de Czérny	Código (MEF)	Erro relativo (%)
2,00	11,68	11,72	0,342	8,6	8,53	-0,814
5,00	15,35	14,96	-2,541	6,7	6,69	-0,149
10,00	15,35	15,01	-2,215	6,7	6,66	-0,597

Fonte: Autoria própria (2022)

Como pode-se notar, a variação dos valores dos coeficientes obtidos utilizando o código implementado foi bastante reduzida, com alguns valores se aproximando mais com os valores da tabela de Bares e alguns outros com os da tabela de Czérny. Ademais, o resultado obtido também mostra que as tabelas fornecem valores razoáveis quando a relação  $l_y/l_x$  é superior aos valores contidos nas mesmas.

Com base nessas premissas, obtém-se mais uma confirmação de que o código foi corretamente implementado e fornece resultados confiáveis, até mesmo em situações de placas retangulares em que um dos seus lados tem ordem de grandeza muito superior ao outro. Entretanto, caso fosse necessário, as malhas poderiam ser ainda mais refinadas o que certamente forneceria um resultado mais próximo das soluções apresentadas nas tabelas.

## 5 CONSIDERAÇÕES FINAIS

O presente trabalho teve como objetivo fundamental a implementação computacional de uma formulação baseada no Método dos Elementos Finitos direcionada a análise linear de placas isotrópicas consideradas delgadas, buscando determinar os deslocamentos e esforços internos de momento fletores atuando nas mesmas.

A formulação utilizada exigiu que fosse realizada uma breve apresentação da teoria de placas delgadas juntamente com as hipóteses de Kirchhoff. O Princípio dos Trabalhos Virtuais foi utilizado para se determinar a matriz de rigidez de cada elemento, que foi obtida fazendo-se o uso de um polinômio interpolador de terceiro grau contendo nove termos para aproximar o campo de deslocamentos presente nos mesmos, bem como o uso de coordenadas triplas homogêneas.

Tendo em posse a teoria, deu-se início à programação de um código computacional implementado no *software* MATLAB®.

Uma vez implementado o algoritmo, partiu-se para a simulação numérica de quatro exemplos de placas submetidas a diferentes tipos de carregamentos e vinculações, para que se pudesse demonstrar a veracidade dos resultados obtidos. Os resultados foram comparadas por meio de tabelas e gráficos, sendo assim de mais fácil interpretação.

Alguns erros puderam ser notados quando os valores obtidos por meio do algoritmo foram comparados com valores fornecidos por outros meios, como as tabelas de Bares, Czérny e programas comerciais, como o SCIA Engineer. Foi notado também, que quando a placa é retangular e usa-se o mesmo número de elementos em ambas as direções, fazendo com que os elementos conseqüentemente se tornem maiores em uma dimensão que em outra, os resultados tendem a ser menos precisos em uma delas. Assim é necessária uma correção, sendo essa a aplicação de um maior número de elementos na maior dimensão, fazendo dessa forma com que a malha fique mais regular, ou seja, com dimensões semelhantes em ambas as direções. De maneira geral, entretanto, os erros se mostraram bastante reduzidos, estando dentro do esperado e assim denotando a correta implementação do código computacional.

Como sugestão para futuros trabalhos, pode-se utilizar o MEF para fazer a análise linear de cascas, que são aplicáveis em projeto de silos, por exemplo, ou ainda realizar a análise de placas com bordas curvas, as quais o elemento finito triangular

seria especialmente aplicável.

## REFERÊNCIAS

- ALVES FILHO, A. **Elementos finitos: A base da tecnologia CAE**. 6. ed. São Paulo: Érica, 2013.
- ALVES FILHO, A. **Elementos finitos: A base da tecnologia CAE**. São Paulo: Érica, 2000.
- ASSAN, A. E. **Método dos elementos finitos: primeiros passos**. 2. ed. Campinas: Editora da Unicamp, 2003.
- ASSOCIAÇÃO BRASILEIRA DE NORMAS TÉCNICAS. **ABNT NBR 6118: Projeto de estruturas de concreto: procedimento**. Rio de Janeiro: ABNT, 2014.
- AZEVEDO, A. F. M. **Método dos elementos finitos**. 1. ed. Porto: Faculdade de Engenharia do Porto, 2003. Disponível em: [http://www.alvaroazevedo.com/publications/books/livro\\_mef\\_aa\\_1ed/doc/livro\\_mef\\_aa.pdf](http://www.alvaroazevedo.com/publications/books/livro_mef_aa_1ed/doc/livro_mef_aa.pdf). Acesso em 28 de março de 2022.
- BASTOS, P. S. S. **Lajes de concreto armado**. Bauru: Unesp, 2021. Disponível em: <https://www.feb.unesp.br/pbastos/concreto1/Lajes.pdf>. Acesso em 12 de abril de 2022.
- CAMPOS, M. D. O método de elementos finitos aplicado à simulação numérica de escoamentos de fluidos. *In*: III Bienal da SBM - IME/UFG. 2006, Goiânia. **Anais [...]** Goiânia: IME/UFG, 2006.
- CARVALHO, R. C.; FIGUEIREDO FILHO, J. R. **Cálculo e detalhamento de estruturas usuais de concreto armado: segundo a NBR 6118:2014**. 4. ed. São Carlos: Edufscar, 2014.
- COOK, R. D.; MALKUS, D. S.; PLESHA, M. E.; WITT, R. J. **Concepts and applications of finite element analysis**. 4. ed. Hoboken: John Wiley & Sons, Inc., 2002.
- COSTA, H. B. **Elementos finitos (via resíduos ponderados) na resolução do problema de segunda ordem das placas**. 1986. Tese (Doutorado em Engenharia) - Escola Politécnica da Universidade de São Paulo. São Paulo, 1986.
- DINIZ, A. L. S. M.; SANTOS, A. P. S.; ANDRADE, D. D. A.; SILVEIRA, J. C.; ALVARES, P. M. **Lajes de concreto - tipos, aplicações e vantagens**. 2013. Trabalho de Conclusão de Curso (Bacharelado em Engenharia Civil) Universidade Anhembi Morumbi. São Paulo, 2013.
- HIBBELER, R. C. **Resistência dos materiais**. 7. ed. São Paulo: Pearson Prentice Hall, 2010.
- LEAL, C. E. F. **Formulação do método dos elementos finitos para a análise elástica linear de placas delgadas**. 2015. Trabalho de Conclusão de Curso (Curso de Engenharia Civil) Universidade Tecnológica Federal do Paraná. Campo Mourão, 2015.



MARTHA, L. F. C. R. **Análise de estruturas**: conceitos e métodos básicos. Rio de Janeiro: Elsevier, 2010.

MARTINELLI, D. A. O.; MONTANARI, I.; SAVASSI, W. **Placas Elásticas**: equações gerais e placas retangulares. Conceituação teórica, métodos das diferenças finitas e elementos finitos. São Carlos: EESC, 1986. 114p. Publicação 026/86.

OÑATE, E. **Structural analysis with the finite element method**: linear statics. v. 1. Barcelona: Springer, 2009.

SORIANO, H. L. **Método de elementos finitos em análise de estruturas**. São Paulo: Editora da Universidade de São Paulo, 2002.

TIMOSHENKO, S.; GOODIER, J. N. **Theory of elasticity**. New York: McGraw-Hill Book Company Inc., 1934.

TIMOSHENKO, S.; WOINOWSKY-KRIEGER, S. **Theory of plates and shells**. 2nd edition. New York: McGraw-Hill Book Company Inc., 1959.

VAZ, L. E. **Método dos elementos finitos em análise de estruturas**. Rio de Janeiro: Elsevier, 2011.

VENTSEL, E.; KRAUTHAMMER, T. **Thin plates and shells**: theory, analysis and applications. New York: Marcel Dekker Inc., 2001.

WAIDEMAM, L. **Análise dinâmica de placas delgadas utilizando elementos finitos triangulares e retangulares**. 2004. Dissertação (Mestrado em Engenharia) - Programa de Pós Graduação em Engenharia Civil, Universidade Estadual Paulista Júlio de Mesquita Filho. Ilha Solteira, 2004.

ZENZEN, A. **Comparação de métodos de cálculo para determinação dos momentos fletores em lajes de concreto armado**. 2012. Trabalho de Conclusão de Curso (Curso de Graduação em Engenharia Civil) Universidade Regional do Noroeste do Estado do Rio Grande do Sul. Ijuí, 2012.

ZIENKIEWICKZ, O. C.; TAYLOR, R. L. **The finite element method**: the basis. 5. ed. v. 1. Woburn: ButterWorth-Heinemann, 2000.

## **APÊNDICE A - CÓDIGO FONTE DO PROGRAMA (COMENTADO)**

```

1
2 clear all % Limpa a memoria
3 clc % Limpa o Command Window
4
5 p = 0; %Carga distribuida (em kN/cm^2)
6 E = 0; % Modulo de Elasticidade Longitudinal (em kN/cm^2)
7 pss = 0; % Coeficiente de Poisson (Adimensional)
8 t = 0; % Espessura da placa (em cm)
9
10 % Entrada:
11
12 %***** MONTAGEM DA MALHA - INICIO *****
13
14 dimx = input('Qual a dimensao em x da placa?'); % Dimensao da
    placa em x
15 dimy = input('Qual a dimensao em y da placa?'); % Dimensao da
    placa em y
16
17 nnosx = input('Qual o numero de nos na direcao x da placa?'); %
    Numero de nos na malha em x
18 nnosy = input('Qual o numero de nos na direcao y da placa?'); %
    Numero de nos na malha em y
19 nelx = nnosx-1; % Numero de elementos em x
20 nely = nnosy-1; % Numero de elementos em y
21 nel = 2*(nnosx-1)*(nnosy-1);% Numero de elementos total
22 nnostot = nnosx*nnosy;% Numero de nos total
23 nnosel=3; % Numero de nos por elemento (sempre igual a 3)
24
25 dx = dimx/(nnosx-1); % Dimensao do trecho entre cada no em x
26 dy = dimy/(nnosy-1); % Dimensao do trecho entre cada no em y
27
28
29 coordnos = zeros(2,(nnosx*nnosy)); % Cria matriz para conter as
    coordenadas x e y de cada no

```

```

30 conect = zeros (3, 2*(nnosx-1)*(nnosy-1));% Cria matriz para
    conter o numero dos nos que formam cada elemento
31 % Primeiro numero e 3, por cada elemento conter 3 nos e a segunda
    coordenada se refere ao numero total de elementos
32
33
34 %CALCULANDO AS COORDENADAS DOS NOS:
35 indice=0;
36
37 for i=1:nnosy;
38     y = (i-1)*dy; % Valor de y na rodada
39     for j=1:nnosx;
40         x = (j-1)*dx; % Valor de x na rodada
41         indice=indice+1; % Incremento de 1 na variavel indice
42         coordnos(1,indice) = x; % Aplica o valor de x obtido na
            coordenada respectiva da matriz coordnos
43         coordnos(2,indice) = y; % Aplica o valor de y obtido na
            coordenada respectiva da matriz coordnos
44     end
45 end
46
47 indice=0;
48 for i=1:nnosy-1;
49
50     for j=1:nnosx-1;
51
52         indice1 = j + (i-1)*nnosx;
53         indice2 = indice1 + 1;
54         indice3 = indice2 + nnosx;
55         indice4 = indice1 + nnosx;
56
57         indice=indice+1; % Incremento de 1 na variavel indice
58         conect(:,indice) = [indice1; indice3; indice4]; % Insere os
            valores obtidos na matriz conect

```

```

59
60     indice=indice+1; % Incremento de 1 na variavel indice
61     conect(:,indice) = [indice1; indice2; indice3]; % Insere os
        valores obtidos na matriz conect
62     end
63 end
64 conect = conect'; % Transpoe a matriz para que seja possivel
        realizar operacoes
65 coordnos = coordnos'; % Transpoe a matriz para que seja possivel
        realizar operacoes
66
67
68 coordel = zeros(nel,6); % Cria a matriz coordel (coordenada dos
        elementos)
69
70 for j=1:nel;
71     for i=1:3;
72         coordel(j,i) = coordnos(conect(j,i),1); % Monta a parte onde os
        numeros estao na primeira coluna de coordnos
73         coordel(j,i+3) = coordnos(conect(j,i),2); % Monta a parte onde
        os numeros estao na segunda coluna de coordnos
74     end
75 end
76
77 nos = conect;
78 %***** MONTAGEM DA MALHA - FIM *****
79
80 % CARGA CONCENTRADA:
81
82 ncc = input('Quantas cargas concentradas ha?');
83 conc = zeros(nnostot,5);
84
85 % Aplicando no vetor conc:
86 for i=1:ncc

```

```

87     conc(i,1)=input('Digite a coordenada x da carga concentrada.');
```

```

88     conc(i,2)=input('Digite a coordenada y da carga concentrada.');
```

```

89     conc(i,3)=input('Digite o valor da forza concentrada.');
```

```

90     conc(i,4)=input('Digite o valor do momento em x concentrado.');
```

```

91     conc(i,5)=input('Digite o valor do momento em y concentrado.');
```

```

92 end
```

```

93
```

```

94 % Calcula o numero de graus de liberdade
```

```

95 ngdltot = 3*nnostot;
```

```

96 K = zeros(ngdltot,ngdltot); % Cria a matriz K (Matriz de rigidez
```

```

    global)
```

```

97 F = zeros(ngdltot,1); % Cria o vetor de for as F (Vetor de forcas
```

```

    global)
```

```

98 fc = zeros(ngdltot,1); % Cria o vetor de cargas concentradas
```

```

99
```

```

100 % Aplica a carga concentrada nos locais corretos:
```

```

101 for j=1:ncc; % De 1 ate o numero de cargas concentradas
```

```

102 for i=1:nnostot; % De 1 ate o numero de nos total
```

```

103
```

```

104 if conc(j,1)==coordnos(i,1) && conc(j,2)==coordnos(i,2); %Se as
```

```

    coordenadas forem iguais para o no existente, aplica a carga
```

```

    nesse no
```

```

105 fc(3*i-2)=conc(j,3);
```

```

106 fc(3*i-1)=conc(j,4);
```

```

107 fc(3*i-0)=conc(j,5);
```

```

108 elseif i<ncc
```

```

109     disp('As coordenadas nao coincidem, altere a malha.');
```

```

    % Caso a
```

```

    coordenada onde a carga foi posicionada n o exista e preciso
```

```

    rodar novamente o algoritmo
```

```

110 end
```

```

111 end
```

```

112 end
```

```

113
```

```

114
```

```
115
116 %***** CONDICAOES DE CONTORNO - INICIO *****
117
118 cc=zeros(nnostot,4);% Cria a matriz cc (condicoes de contorno)
119
120 for i=1:nnostot;
121     cc(i,1) = i;
122 end
123 eng1=0;
124 eng2=0;
125 eng3=0;
126 eng4=0;
127 ap1=0;
128 ap2=0;
129 ap3=0;
130 ap4=0;
131
132 %COMO FUNCIONA?
133
134 % O codigo pede a condicao, se nao for nenhuma das duas pedidas, o
    bordo esta livre
135
136 %Condicao de contorno para engaste 1:
137
138 eng1 = input('Se os nos da primeira linha de elementos forem
    engastados digite 1, senao digite 0.');
```

```
139 if eng1 == 1
140     cc(1:nnosx,2) = 1;
141     cc(1:nnosx,3) = 1;
142     cc(1:nnosx,4) = 1;
143 elseif eng1 == 0
144
145 %Condicao de contorno para apoio 1:
146 ap1 = input('Se os nos da primeira linha de elementos forem
```

```

    apoiados digite 1, senao digite 0.');
```

%Linha de elementos de x=1:ultimo, y = 0

```

147 if ap1 == 1
148     cc(1:nnosx,2) = 1; % 2 e relacionado a deflexao
149     cc(1:nnosx,3) = 0; % 3 e relacionado ao giro em x
150     cc(1:nnosx,4) = 1; % 4 e relacionado ao giro em y
151 elseif ap1 == 0
152     cc(1:nnosx,2) = 0;
153     cc(1:nnosx,3) = 0;
154     cc(1:nnosx,4) = 0;
155     else
156     disp('Rode novamente o algoritmo.');
```

end

```

158 end
159
160 %Condicao de contorno para engaste 2:
161 eng2 = input('Se os nos da ultima linha de elementos forem
    engastados digite 1, senao digite 0.');
```

```

162 if eng2 == 1
163     cc((nnosy*nnosx)-(nnosx-1):(nnosy*nnosx),2) = 1;
164     cc((nnosy*nnosx)-(nnosx-1):(nnosy*nnosx),3) = 1;
165     cc((nnosy*nnosx)-(nnosx-1):(nnosy*nnosx),4) = 1;
166 elseif eng2 == 0
167
168 %Condicao de contorno para apoio 2:
169 ap2 = input('Se os nos da ultima linha de elementos forem apoiados
    digite 1, senao digite 0.');
```

%Linha de elementos de x=1:ultimo, y = ultimo

```

170 if ap2 == 1
171     cc((nnosy*nnosx)-(nnosx-1):(nnosy*nnosx),2) = 1;
172     cc((nnosy*nnosx)-(nnosx-1):(nnosy*nnosx),3) = 0;
173     cc((nnosy*nnosx)-(nnosx-1):(nnosy*nnosx),4) = 1;
174 elseif ap2 == 0
175     cc((nnosy*nnosx)-(nnosx-1):(nnosy*nnosx),2) = 0;
```



```

176     cc((nnosy*nnosx)-(nnosx-1):(nnosy*nnosx),3) = 0;
177     cc((nnosy*nnosx)-(nnosx-1):(nnosy*nnosx),4) = 0;
178     else
179         disp('Cancele e Rode novamente o algoritmo.');
```

180 end

181 end

182 %Condicao de contorno para engaste 3:

183

184 eng3 = input('Se os nos da primeira coluna de elementos forem  
engastados digite 1, senao digite 0.');

185 if eng3 == 1

186 for i=2:nnosy-1;

187 cc(nnosx\*i-nelx,2) = 1;

188 cc(nnosx\*i-nelx,3) = 1;

189 cc(nnosx\*i-nelx,4) = 1;

190 end

191 % Se o nos dos cantos inferior e superior forem livres tem-se  
que engastar os nos das extremidades:

192 if cc(1,2)==0 | cc((nnosy\*nnosx)-(nnosx-1),2)==0

193 cc(1,2)=1;

194 cc(1,3)=1;

195 cc(1,4)=1;

196 cc((nnosy\*nnosx)-(nnosx-1),2)=1;

197 cc((nnosy\*nnosx)-(nnosx-1),3)=1;

198 cc((nnosy\*nnosx)-(nnosx-1),4)=1;

199 end

200

201

202 elseif eng3 == 0

203

204 % Condicao de contorno para apoio 3:

205

206 ap3 = input('Se os nos da primeira coluna de elementos forem  
apoiados digite 1, senao digite 0.');

```

207 if ap3 == 1
208     for i=2:nnosy-1;
209         cc(nnosx*i-nelx,2) = 1;
210         cc(nnosx*i-nelx,3) = 1;
211         cc(nnosx*i-nelx,4) = 0;
212     end
213     % Se o nos dos cantos inferior e superior forem livres temos
que engastar os nos das extremidades:
214     if cc(1,2)==0 | cc((nnosy*nnosx)-(nnosx-1),2)==0
215         cc(1,2)=1;
216         cc(1,3)=1;
217         cc(1,4)=0;
218         cc((nnosy*nnosx)-(nnosx-1),2)=1;
219         cc((nnosy*nnosx)-(nnosx-1),3)=1;
220         cc((nnosy*nnosx)-(nnosx-1),4)=0;
221     end
222 end
223
224 elseif ap3 == 0
225     for i=2:nnosy-1;
226         cc(nnosx*i-nelx,2) = 0;
227         cc(nnosx*i-nelx,3) = 0;
228         cc(nnosx*i-nelx,4) = 0;
229     end
230     else
231         disp('Cancele e Rode novamente o algoritmo.');
```

232 end

233

234

235 % Condicao de contorno para engaste 4:

236 eng4 = input('Se os nos da ultima coluna de elementos forem  
engastados digite 1, senao digite 0.');

237 if eng4 == 1

238 for i=2:nnosy-1;

```

239     cc(nnosx*i,2) = 1;
240     cc(nnosx*i,3) = 1;
241     cc(nnosx*i,4) = 1;
242     end
243     % Se o nos dos cantos inferior e superior forem livres tem-se
que engastar os nos das extremidades:
244     if cc(nnosx,2)==0 | cc(nnosx*nnosy,2)==0
245         cc(nnosx,2)=1;
246         cc(nnosx,3)=1;
247         cc(nnosx,4)=1;
248         cc(nnosx*nnosy,2)=1;
249         cc(nnosx*nnosy,3)=1;
250         cc(nnosx*nnosy,4)=1;
251     end
252
253
254 elseif eng4 == 0
255
256     % Condição de contorno para apoio 4:
257 ap4 = input('Se os nos da ultima coluna de elementos forem apoiados
digite 1, senao digite 0. ');
258 if ap4 == 1
259     for i=2:nnosy-1;
260         cc(nnosx*i,2) = 1;
261         cc(nnosx*i,3) = 1;
262         cc(nnosx*i,4) = 0;
263     end
264     % Se o nos dos cantos inferior e superior forem livres tem-se
que engastar os nos das extremidades:
265     if cc(nnosx,2)==0 | cc(nnosx*nnosy,2)==0
266         cc(nnosx,2)=1; % Nos do canto (nnosx,0)
267         cc(nnosx,3)=1;
268         cc(nnosx,4)=0;
269         cc(nnosx*nnosy,2)=1;% Nos do canto (nnosx,nnosy)

```

```

270     cc(nnosx*nnosy,3)=1;
271     cc(nnosx*nnosy,4)=0;
272     end
273
274
275 elseif ap4 == 0
276     for i=2:nnosy-1;
277         cc(nnosx*i,2) = 0;
278         cc(nnosx*i,3) = 0;
279         cc(nnosx*i,4) = 0;
280     end
281     else
282         disp('Cancele e Rode novamente o algoritmo.');
```

283 end

284 end

285 %Precisa-se aplicar as restricoes nos nos dos cantos para compensar  
os zeros impostos nas condicionais ap1 e ap2

```

286 if ap1 == 1 | ap2 == 1 | ap3 == 1 | ap4 == 1 | eng1==1 | eng2==1 |
    eng3 == 1 | eng4 == 1
287
288     %No do canto (0,0)
289     cc(1,2)=1;
290     cc(1,3)=1;
291     cc(1,4)=1;
292     %No do canto (0,nnosy)
293     cc((nnosy*nnosx)-(nnosx-1),2)=1;
294     cc((nnosy*nnosx)-(nnosx-1),3)=1;
295     cc((nnosy*nnosx)-(nnosx-1),4)=1;
296     %No do canto (nnosx,0)
297     cc(nnosx,2)=1;
298     cc(nnosx,3)=1;
299     cc(nnosx,4)=1;
300     %No do canto (nnosx,nnosy)
301     cc(nnosx*nnosy,2)=1;
```

```

302     cc(nnosx*nnosy,3)=1;
303     cc(nnosx*nnosy,4)=1;
304
305 elseif ap1 == 1 & ap2 == 1 & ap3 == 1
306
307     %No do canto (0,0)
308     cc(1,2)=1;
309     cc(1,3)=1;
310     cc(1,4)=1;
311     %No do canto (0,nnosy)
312     cc((nnosy*nnosx)-(nnosx-1),2)=1;
313     cc((nnosy*nnosx)-(nnosx-1),3)=1;
314     cc((nnosy*nnosx)-(nnosx-1),4)=1;
315     %No do canto (nnosx,0)
316     cc(nnosx,2)=1;
317     cc(nnosx,3)=1;
318     cc(nnosx,4)=1;
319     %No do canto (nnosx,nnosy)
320     cc(nnosx*nnosy,2)=1;
321     cc(nnosx*nnosy,3)=1;
322     cc(nnosx*nnosy,4)=1;
323
324 elseif ap1 == 1 & ap2 == 1 & ap4 == 1
325
326     %No do canto (0,0)
327     cc(1,2)=1;
328     cc(1,3)=1;
329     cc(1,4)=1;
330     %No do canto (0,nnosy)
331     cc((nnosy*nnosx)-(nnosx-1),2)=1;
332     cc((nnosy*nnosx)-(nnosx-1),3)=1;
333     cc((nnosy*nnosx)-(nnosx-1),4)=1;
334     %No do canto (nnosx,0)
335     cc(nnosx,2)=1;

```

```

336     cc(nnosx,3)=1;
337     cc(nnosx,4)=1;
338     %No do canto (nnosx,nnosy)
339     cc(nnosx*nnosy,2)=1;
340     cc(nnosx*nnosy,3)=1;
341     cc(nnosx*nnosy,4)=1;
342
343     end
344
345
346     %***** CONDICAOES DE CONTORNO - FIM *****
347
348
349     for i=1:nel
350
351         %Matriz contendo as areas de cada elemento:
352
353         %Calculando os termos da matriz "Ael":
354
355         Ael(i) = (coordel(i,2)*coordel(i,6) + coordel(i,1)*coordel(i,5) +
356                 coordel(i,3)*coordel(i,4)...
357                 - coordel(i,2)*coordel(i,4) - coordel(i,3)*coordel(i,5) -
358                 coordel(i,1)*coordel(i,6))/2;
359
360         %Matriz constitutiva do material:
361
362         EE = (E/(1-pss^2))*[1 pss 0; pss 1 0; 0 0 ((1-pss)/2)];
363
364         %Declarando as funcoes de forma:
365         syms xi1 xi2 xi3
366
367         %Calculo dos coeficientes "a", "b" e "c":
368
369         a(1) = coordel(i,2)*coordel(i,6) - coordel(i,3)*coordel(i,5);

```

```

368     b(1) = coordel(i,5) - coordel(i,6);
369     c(1) = coordel(i,3) - coordel(i,2);
370
371     a(2) = coordel(i,3)*coordel(i,4) - coordel(i,1)*coordel(i,3);
372     b(2) = coordel(i,6) - coordel(i,4);
373     c(2) = coordel(i,1) - coordel(i,3);
374
375     a(3) = coordel(i,1)*coordel(i,5) - coordel(i,2)*coordel(i,4);
376     b(3) = coordel(i,4) - coordel(i,5);
377     c(3) = coordel(i,2) - coordel(i,1);
378
379 %Criacao das funcoes de phi1 a phi9 para cada elemento
380
381 phi1 = (xi1 - (xi1*xi2^2 - xi1^2*xi2)+(xi3*xi1^2 - xi3^2*xi1));
382 phi2 = (1/2)*(-b(3)*xi1*xi2 + b(2)*xi3*xi1 + b(3)*(xi1*xi2^2 - xi1
      ^2*xi2) + b(2)*(xi3*xi1^2 - xi3^2*xi1));
383 phi3 = (1/2)*(c(3)*xi1*xi2 - c(2)*xi3*xi1 - c(3)*(xi1*xi2^2 - xi1
      ^2*xi2) - c(2)*(xi3*xi1^2 - xi3^2*xi1));
384 phi4 = xi2 + (xi1*xi2^2 - xi1^2*xi2) - (xi2*xi3^2 - xi2^2*xi3);
385 phi5 = (1/2)*(b(3)*xi1*xi2 - b(1)*xi2*xi3 + b(3)*(xi1*xi2^2 - xi1
      ^2*xi2) + b(1)*(xi2*xi3^2 - xi2^2*xi3));
386 phi6 = (1/2)*(-c(3)*xi1*xi2 + c(1)*xi2*xi3 - c(3)*(xi1*xi2^2 - xi1
      ^2*xi2) - c(1)*(xi2*xi3^2 - xi2^2*xi3));
387 phi7 = xi3 + (xi2*xi3^2 - xi2^2*xi3) - (xi3*xi1^2 - xi3^2*xi1);
388 phi8 = (1/2)*(b(1)*xi2*xi3 - b(2)*xi3*xi1 + b(1)*(xi2*xi3^2 - xi2
      ^2*xi3) + b(2)*(xi3*xi1^2 - xi3^2*xi1));
389 phi9 = (1/2)*(-c(1)*xi2*xi3 + c(2)*xi3*xi1 - c(1)*(xi2*xi3^2 - xi2
      ^2*xi3) - c(2)*(xi3*xi1^2 - xi3^2*xi1));
390
391 %Aplicando dados na matriz funcoes de forma:
392
393 phi(1,1) = phi1;
394 phi(1,2) = phi2;
395 phi(1,3) = phi3;

```

```

396 phi(1,4) = phi4;
397 phi(1,5) = phi5;
398 phi(1,6) = phi6;
399 phi(1,7) = phi7;
400 phi(1,8) = phi8;
401 phi(1,9) = phi9;
402
403 %Variaveis m (derivadas parciais) que serao contidas na matriz M (
      produto [1]*[phi]:
404
405 %Primeira linha da matriz de derivadas:
406     for j=1:9
407         m1(j) = b(1)^2*(diff(diff(phi(1,j),xi1),xi1)) + b(2)^2*(diff(diff
              (phi(1,j),xi2),xi2)) +...
408         b(3)^2*(diff(diff(phi(1,j),xi3),xi3)) + 2*b(1)*b(2)*(diff(diff(
              phi(1,j),xi1),xi2))+...
409         2*b(1)*b(3)*(diff(diff(phi(1,j),xi3),xi1)) + 2*b(2)*b(3)*(diff(
              diff(phi(1,j),xi3),xi2));
410     end
411
412 %Segunda linha da matriz de derivadas:
413     for j=1:9
414         m2(j) = c(1)^2*(diff(diff(phi(1,j),xi1),xi1)) + c(2)^2*(diff(
              diff(phi(1,j),xi2),xi2)) +...
415         c(3)^2*(diff(diff(phi(1,j),xi3),xi3)) + 2*c(1)*c(2)*(diff(diff(
              phi(1,j),xi1),xi2))+...
416         2*c(1)*c(3)*(diff(diff(phi(1,j),xi3),xi1)) + 2*c(2)*c(3)*(diff(
              diff(phi(1,j),xi3),xi2));
417     end
418
419 %Terceira linha da matriz de derivadas:
420     for j=1:9
421         m3(j) = 2*(b(1)*c(1)*(diff(diff(phi(1,j),xi1),xi1)) + b(2)*c(2)
              *(diff(diff(phi(1,j),xi2),xi2)) +...

```



```

422     b(3)*c(3)*(diff(diff(phi(1,j),xi3),xi3)) + (b(1)*c(2) + b(2)
      *c(1))*(diff(diff(phi(1,j),xi2),xi1)) + ...
423     (b(1)*c(3) + b(3)*c(1))*(diff(diff(phi(1,j),xi3),xi1)) + (b
      (2)*c(3) + b(3)*c(2))*(diff(diff(phi(1,j),xi3),xi2)));
424     end
425
426 %Criacao das matrizes M(3,9) que contem o produto [1]*[phi]:
427
428 for j=1:9
429     M(1,j) = m1(j);
430     M(2,j) = m2(j);
431     M(3,j) = m3(j);
432 end
433
434 %Cria uma matriz simbolica generica MT:
435
436 MT = sym('MT',[9 3]);
437
438 %Transposta de M (Aplica os valores na matriz simbolica generica
      criada):
439 for j=1:9;
440     for k=1:3;
441
442 if MT(j,k) == M(k,j);
443     MT(j,k) = M(k,j);
444 elseif MT(j,k) ~= M(k,j);
445     MT(j,k) = M(k,j);
446 end
447 end
448 end
449
450
451 %Produto ([1][phi])^T * EE * ([1]*[phi])
452 %Substituicao de variaveis, para M e MT dependerem apenas de xi1 e

```

```

    xi2:
453
454 M = subs(M, xi3, 1-xi1-xi2);
455 MT = subs(MT, xi3, 1-xi1-xi2);
456
457 %Criacao da funcao que depende de xi1 e xi2:
458
459 f_xi1xi2(:, :) = MT(:, :)*EE(:, :)*M(:, :);
460
461 %Calculo da integral dupla(Presente no texto):
462
463 integral(:, :) = int((int(f_xi1xi2(:, :), 0, 1-xi2)), 0, 1);
464
465 %Converte a matriz integral de fracao para decimal:
466
467 integral = double(integral);
468
469 %Calculo do produto antes da integral (Presente no texto):
470
471 pp(i) = (1/(16*(Ael(i)^4)))*((t^3)/12)*(2*Ael(i));
472
473 %Montagem da Matriz de rigidez para cada elemento:
474
475 k = zeros(9,9);
476
477 %Primeira linha:
478 k(1,1) = (pp(i)*integral(1,1));
479 k(1,2) = (pp(i)*integral(1,2));
480 k(1,3) = (pp(i)*integral(1,3));
481 k(1,4) = (pp(i)*integral(1,4));
482 k(1,5) = (pp(i)*integral(1,5));
483 k(1,6) = (pp(i)*integral(1,6));
484 k(1,7) = (pp(i)*integral(1,7));
485 k(1,8) = (pp(i)*integral(1,8));

```

```
486 k(1,9) = (pp(i)*integral(1,9));
487
488 %Segunda linha:
489 k(2,1) = (pp(i)*integral(2,1));
490 k(2,2) = (pp(i)*integral(2,2));
491 k(2,3) = (pp(i)*integral(2,3));
492 k(2,4) = (pp(i)*integral(2,4));
493 k(2,5) = (pp(i)*integral(2,5));
494 k(2,6) = (pp(i)*integral(2,6));
495 k(2,7) = (pp(i)*integral(2,7));
496 k(2,8) = (pp(i)*integral(2,8));
497 k(2,9) = (pp(i)*integral(2,9));
498
499 %Terceira linha:
500 k(3,1) = (pp(i)*integral(3,1));
501 k(3,2) = (pp(i)*integral(3,2));
502 k(3,3) = (pp(i)*integral(3,3));
503 k(3,4) = (pp(i)*integral(3,4));
504 k(3,5) = (pp(i)*integral(3,5));
505 k(3,6) = (pp(i)*integral(3,6));
506 k(3,7) = (pp(i)*integral(3,7));
507 k(3,8) = (pp(i)*integral(3,8));
508 k(3,9) = (pp(i)*integral(3,9));
509
510 %Quarta linha:
511 k(4,1) = (pp(i)*integral(4,1));
512 k(4,2) = (pp(i)*integral(4,2));
513 k(4,3) = (pp(i)*integral(4,3));
514 k(4,4) = (pp(i)*integral(4,4));
515 k(4,5) = (pp(i)*integral(4,5));
516 k(4,6) = (pp(i)*integral(4,6));
517 k(4,7) = (pp(i)*integral(4,7));
518 k(4,8) = (pp(i)*integral(4,8));
519 k(4,9) = (pp(i)*integral(4,9));
```

```
520
521 %Quinta linha:
522 k(5,1) = (pp(i)*integral(5,1));
523 k(5,2) = (pp(i)*integral(5,2));
524 k(5,3) = (pp(i)*integral(5,3));
525 k(5,4) = (pp(i)*integral(5,4));
526 k(5,5) = (pp(i)*integral(5,5));
527 k(5,6) = (pp(i)*integral(5,6));
528 k(5,7) = (pp(i)*integral(5,7));
529 k(5,8) = (pp(i)*integral(5,8));
530 k(5,9) = (pp(i)*integral(5,9));
531
532 %Sexta linha:
533 k(6,1) = (pp(i)*integral(6,1));
534 k(6,2) = (pp(i)*integral(6,2));
535 k(6,3) = (pp(i)*integral(6,3));
536 k(6,4) = (pp(i)*integral(6,4));
537 k(6,5) = (pp(i)*integral(6,5));
538 k(6,6) = (pp(i)*integral(6,6));
539 k(6,7) = (pp(i)*integral(6,7));
540 k(6,8) = (pp(i)*integral(6,8));
541 k(6,9) = (pp(i)*integral(6,9));
542
543 %Setima linha:
544 k(7,1) = (pp(i)*integral(7,1));
545 k(7,2) = (pp(i)*integral(7,2));
546 k(7,3) = (pp(i)*integral(7,3));
547 k(7,4) = (pp(i)*integral(7,4));
548 k(7,5) = (pp(i)*integral(7,5));
549 k(7,6) = (pp(i)*integral(7,6));
550 k(7,7) = (pp(i)*integral(7,7));
551 k(7,8) = (pp(i)*integral(7,8));
552 k(7,9) = (pp(i)*integral(7,9));
553
```

```

554 %Oitava linha:
555 k(8,1) = (pp(i)*integral(8,1));
556 k(8,2) = (pp(i)*integral(8,2));
557 k(8,3) = (pp(i)*integral(8,3));
558 k(8,4) = (pp(i)*integral(8,4));
559 k(8,5) = (pp(i)*integral(8,5));
560 k(8,6) = (pp(i)*integral(8,6));
561 k(8,7) = (pp(i)*integral(8,7));
562 k(8,8) = (pp(i)*integral(8,8));
563 k(8,9) = (pp(i)*integral(8,9));
564
565 %Nona linha:
566 k(9,1) = (pp(i)*integral(9,1));
567 k(9,2) = (pp(i)*integral(9,2));
568 k(9,3) = (pp(i)*integral(9,3));
569 k(9,4) = (pp(i)*integral(9,4));
570 k(9,5) = (pp(i)*integral(9,5));
571 k(9,6) = (pp(i)*integral(9,6));
572 k(9,7) = (pp(i)*integral(9,7));
573 k(9,8) = (pp(i)*integral(9,8));
574 k(9,9) = (pp(i)*integral(9,9));
575
576 %Montagem da Matriz de Rigidez Global:
577
578 %Aplica os valores de k(9,9)(Matriz de rigidez elementar) em K(
    ngdltot,ngdltot)(Matriz de rigidez global):
579
580 noi = nos(i,1); %Numero do no inicial
581 noint = nos(i,2); %Numero do no intermediario
582 nof = nos(i,3); %Numero do no final
583
584 %Primeira linha
585 K(3*noi-2,3*noi-2) = K(3*noi-2,3*noi-2) + k(1,1);
586 K(3*noi-2,3*noi-1) = K(3*noi-2,3*noi-1) + k(1,2);

```

```

587 K(3*noi-2,3*noi-0) = K(3*noi-2,3*noi-0) + k(1,3);
588 K(3*noi-2,3*noint-2) = K(3*noi-2,3*noint-2) + k(1,4);
589 K(3*noi-2,3*noint-1) = K(3*noi-2,3*noint-1) + k(1,5);
590 K(3*noi-2,3*noint-0) = K(3*noi-2,3*noint-0) + k(1,6);
591 K(3*noi-2,3*nof-2) = K(3*noi-2,3*nof-2) + k(1,7);
592 K(3*noi-2,3*nof-1) = K(3*noi-2,3*nof-1) + k(1,8);
593 K(3*noi-2,3*nof-0) = K(3*noi-2,3*nof-0) + k(1,9);
594
595 %Segunda linha
596 K(3*noi-1,3*noi-2) = K(3*noi-1,3*noi-2) + k(2,1);
597 K(3*noi-1,3*noi-1) = K(3*noi-1,3*noi-1) + k(2,2);
598 K(3*noi-1,3*noi-0) = K(3*noi-1,3*noi-0) + k(2,3);
599 K(3*noi-1,3*noint-2) = K(3*noi-1,3*noint-2) + k(2,4);
600 K(3*noi-1,3*noint-1) = K(3*noi-1,3*noint-1) + k(2,5);
601 K(3*noi-1,3*noint-0) = K(3*noi-1,3*noint-0) + k(2,6);
602 K(3*noi-1,3*nof-2) = K(3*noi-1,3*nof-2) + k(2,7);
603 K(3*noi-1,3*nof-1) = K(3*noi-1,3*nof-1) + k(2,8);
604 K(3*noi-1,3*nof-0) = K(3*noi-1,3*nof-0) + k(2,9);
605
606 %Terceira linha
607 K(3*noi-0,3*noi-2) = K(3*noi-0,3*noi-2) + k(3,1);
608 K(3*noi-0,3*noi-1) = K(3*noi-0,3*noi-1) + k(3,2);
609 K(3*noi-0,3*noi-0) = K(3*noi-0,3*noi-0) + k(3,3);
610 K(3*noi-0,3*noint-2) = K(3*noi-0,3*noint-2) + k(3,4);
611 K(3*noi-0,3*noint-1) = K(3*noi-0,3*noint-1) + k(3,5);
612 K(3*noi-0,3*noint-0) = K(3*noi-0,3*noint-0) + k(3,6);
613 K(3*noi-0,3*nof-2) = K(3*noi-0,3*nof-2) + k(3,7);
614 K(3*noi-0,3*nof-1) = K(3*noi-0,3*nof-1) + k(3,8);
615 K(3*noi-0,3*nof-0) = K(3*noi-0,3*nof-0) + k(3,9);
616
617 %Quarta linha
618 K(3*noint-2,3*noi-2) = K(3*noint-2,3*noi-2) + k(4,1);
619 K(3*noint-2,3*noi-1) = K(3*noint-2,3*noi-1) + k(4,2);
620 K(3*noint-2,3*noi-0) = K(3*noint-2,3*noi-0) + k(4,3);

```

```

621 K(3*noint -2,3*noint -2) = K(3*noint -2,3*noint -2) + k(4,4);
622 K(3*noint -2,3*noint -1) = K(3*noint -2,3*noint -1) + k(4,5);
623 K(3*noint -2,3*noint -0) = K(3*noint -2,3*noint -0) + k(4,6);
624 K(3*noint -2,3*nof -2) = K(3*noint -2,3*nof -2) + k(4,7);
625 K(3*noint -2,3*nof -1) = K(3*noint -2,3*nof -1) + k(4,8);
626 K(3*noint -2,3*nof -0) = K(3*noint -2,3*nof -0) + k(4,9);
627
628 %Quinta linha
629 K(3*noint -1,3*noi -2) = K(3*noint -1,3*noi -2) + k(5,1);
630 K(3*noint -1,3*noi -1) = K(3*noint -1,3*noi -1) + k(5,2);
631 K(3*noint -1,3*noi -0) = K(3*noint -1,3*noi -0) + k(5,3);
632 K(3*noint -1,3*noint -2) = K(3*noint -1,3*noint -2) + k(5,4);
633 K(3*noint -1,3*noint -1) = K(3*noint -1,3*noint -1) + k(5,5);
634 K(3*noint -1,3*noint -0) = K(3*noint -1,3*noint -0) + k(5,6);
635 K(3*noint -1,3*nof -2) = K(3*noint -1,3*nof -2) + k(5,7);
636 K(3*noint -1,3*nof -1) = K(3*noint -1,3*nof -1) + k(5,8);
637 K(3*noint -1,3*nof -0) = K(3*noint -1,3*nof -0) + k(5,9);
638
639 %Sexta linha
640 K(3*noint -0,3*noi -2) = K(3*noint -0,3*noi -2) + k(6,1);
641 K(3*noint -0,3*noi -1) = K(3*noint -0,3*noi -1) + k(6,2);
642 K(3*noint -0,3*noi -0) = K(3*noint -0,3*noi -0) + k(6,3);
643 K(3*noint -0,3*noint -2) = K(3*noint -0,3*noint -2) + k(6,4);
644 K(3*noint -0,3*noint -1) = K(3*noint -0,3*noint -1) + k(6,5);
645 K(3*noint -0,3*noint -0) = K(3*noint -0,3*noint -0) + k(6,6);
646 K(3*noint -0,3*nof -2) = K(3*noint -0,3*nof -2) + k(6,7);
647 K(3*noint -0,3*nof -1) = K(3*noint -0,3*nof -1) + k(6,8);
648 K(3*noint -0,3*nof -0) = K(3*noint -0,3*nof -0) + k(6,9);
649
650 %Setima linha
651 K(3*nof -2,3*noi -2) = K(3*nof -2,3*noi -2) + k(7,1);
652 K(3*nof -2,3*noi -1) = K(3*nof -2,3*noi -1) + k(7,2);
653 K(3*nof -2,3*noi -0) = K(3*nof -2,3*noi -0) + k(7,3);
654 K(3*nof -2,3*noint -2) = K(3*nof -2,3*noint -2) + k(7,4);

```

```

655 K(3*nof-2,3*noint-1) = K(3*nof-2,3*noint-1) + k(7,5);
656 K(3*nof-2,3*noint-0) = K(3*nof-2,3*noint-0) + k(7,6);
657 K(3*nof-2,3*nof-2) = K(3*nof-2,3*nof-2) + k(7,7);
658 K(3*nof-2,3*nof-1) = K(3*nof-2,3*nof-1) + k(7,8);
659 K(3*nof-2,3*nof-0) = K(3*nof-2,3*nof-0) + k(7,9);
660
661 %Oitava linha
662 K(3*nof-1,3*noi-2) = K(3*nof-1,3*noi-2) + k(8,1);
663 K(3*nof-1,3*noi-1) = K(3*nof-1,3*noi-1) + k(8,2);
664 K(3*nof-1,3*noi-0) = K(3*nof-1,3*noi-0) + k(8,3);
665 K(3*nof-1,3*noint-2) = K(3*nof-1,3*noint-2) + k(8,4);
666 K(3*nof-1,3*noint-1) = K(3*nof-1,3*noint-1) + k(8,5);
667 K(3*nof-1,3*noint-0) = K(3*nof-1,3*noint-0) + k(8,6);
668 K(3*nof-1,3*nof-2) = K(3*nof-1,3*nof-2) + k(8,7);
669 K(3*nof-1,3*nof-1) = K(3*nof-1,3*nof-1) + k(8,8);
670 K(3*nof-1,3*nof-0) = K(3*nof-1,3*nof-0) + k(8,9);
671
672 %Nona linha
673 K(3*nof-0,3*noi-2) = K(3*nof-0,3*noi-2) + k(9,1);
674 K(3*nof-0,3*noi-1) = K(3*nof-0,3*noi-1) + k(9,2);
675 K(3*nof-0,3*noi-0) = K(3*nof-0,3*noi-0) + k(9,3);
676 K(3*nof-0,3*noint-2) = K(3*nof-0,3*noint-2) + k(9,4);
677 K(3*nof-0,3*noint-1) = K(3*nof-0,3*noint-1) + k(9,5);
678 K(3*nof-0,3*noint-0) = K(3*nof-0,3*noint-0) + k(9,6);
679 K(3*nof-0,3*nof-2) = K(3*nof-0,3*nof-2) + k(9,7);
680 K(3*nof-0,3*nof-1) = K(3*nof-0,3*nof-1) + k(9,8);
681 K(3*nof-0,3*nof-0) = K(3*nof-0,3*nof-0) + k(9,9);
682
683 %VETORES DE FORCAS:
684
685 %Calcula a integral para aplicar o carregamento distribuido
686
687 %Transpondo phi separadamente
688

```



```

689 phi = subs(phi, xi3, 1-xi1-xi2);
690
691 phiT = sym('phiT',[9 1]);
692
693 for j=1:9;
694     for k=1;
695
696 if phiT(j,k) == phi(k,j);
697     phiT(j,k) = phi(k,j);
698 elseif phiT(j,k) ~= phi(k,j);
699     phiT(j,k) = phi(k,j);
700 end
701 end
702 end
703
704
705 %Primeira parte da integral:
706
707 ppint2(i) = 2*Ae1(i)*p;
708
709 %Segunda parte da integral:
710
711 int2(:,1) = int((int(phiT(:,1), 0, 1-xi2)), 0, 1);
712
713 fd(:,1) = ppint2(i)*int2(:,1);%Multiplica as duas partes da
714     integral
715
716 %Fazer a sobreposicao dos vetores de forca
717
718 %Primeira linha
719 F(3*noi-2) = F(3*noi-2) + fd(1);
720
721 %Segunda linha
722 F(3*noi-1) = F(3*noi-1) + fd(2);

```

```
722
723 %Terceira linha
724     F(3*nnoi-0) = F(3*nnoi-0) + fd(3);
725
726 %Quarta linha
727     F(3*npoint-2) = F(3*npoint-2) + fd(4);
728
729 %Quinta linha
730     F(3*npoint-1) = F(3*npoint-1) + fd(5);
731
732 %Sexta linha
733     F(3*npoint-0) = F(3*npoint-0) + fd(6);
734
735 %Setima linha
736     F(3*nof-2) = F(3*nof-2) + fd(7);
737
738 %Oitava linha
739     F(3*nof-1) = F(3*nof-1) + fd(8);
740
741 %Nona linha
742     F(3*nof-0) = F(3*nof-0) + fd(9);
743
744 end
745
746 KCC = K ; %Criacao da matriz de rigidez global com condicoes de
       contorno
747
748 for i = 1:nnostot ;
749
750     %Aplica condicoes de contorno no vetor de for as :
751
752     if cc(i,2) == 1; %Aplica as condicoes de contorno de
       deslocamentos
753         F(3*i-2)=0 ;
```

```
754     end
755
756     if cc(i,3) == 1; %Aplica as condicoes de contorno de giro em x
757         F(3*i-1)=0;
758     end
759
760     if cc(i,4) == 1; %Aplica as condicoes de contorno de giro em y
761         F(3*i-0)=0;
762     end
763
764     %Aplica condicoes de contorno na matriz de rigidez:
765
766     if cc(i,2) == 1; %Aplica as condicoes de contorno de
767     deslocamentos
768         for j = 1:ngdltot;
769             KCC(3*i-2,j)=0;
770             KCC(j,3*i-2)=0;
771         end
772         KCC(3*i-2,3*i-2)=1;%Aplica o valor 1 na diagonal principal
773     referentes aos nos restringidos
774     end
775
776     if cc(i,3) == 1; %Aplica as condicoes de contorno de giro em x
777         for j = 1:ngdltot;
778             KCC(3*i-1,j)=0;
779             KCC(j,3*i-1)=0;
780         end
781         KCC(3*i-1,3*i-1)=1;%Aplica o valor 1 na diagonal principal
782     referentes aos nos restringidos
783     end
784     if cc(i,4) == 1; %Aplica as condicoes de contorno de giro em y
```

```

785     for j = 1:ngdltot;
786         KCC(3*i-0,j)=0;
787         KCC(j,3*i-0)=0;
788     end
789     KCC(3*i-0,3*i-0)=1; %Aplica o valor 1 na diagonal principal
referentes aos nos restringidos
790     end
791 end
792
793 F = F + fc; %Soma as forcas oriundas do carregamento distribuido
com as concentradas
794
795 U = inv(KCC)*F; %Resolve o sistema de equacoes
796
797 %CRIA A MATRIZ PARA PLOTAR OS DESLOCAMENTOS
798
799 k=1;
800 while k<=nnostot;
801     for i=1:nnosy;
802         for j=1:nnosx;
803             w(i,j)=U(3*k-2);
804             k=k+1;
805         end
806     end
807 end
808
809
810 %ESFORCOS INTERNOS DE MOMENTO:
811
812 %Separando o vetor deslocamento geral em vetores deslocamento para
cada elemento:
813
814 mom = zeros(ngdltot,1);
815 u=zeros(9,1);

```

```

816 for i=1:nel
817     u(1) = U(3*(conect(i,1))-2);%Coloca na coluna 1 do vetor u a
      parte do vetor U referente aos nos do elemento 1.
818     u(2) = U(3*(conect(i,1))-1);%Coloca na coluna 2 do vetor u a
      parte do vetor U referente aos nos do elemento 2.
819     u(3) = U(3*(conect(i,1))-0);
820     u(4) = U(3*(conect(i,2))-2);
821     u(5) = U(3*(conect(i,2))-1);
822     u(6) = U(3*(conect(i,2))-0);
823     u(7) = U(3*(conect(i,3))-2);
824     u(8) = U(3*(conect(i,3))-1);
825     u(9) = U(3*(conect(i,3))-0);
826
827 %Area do elemento:
828     Ael(i) = (coordel(i,2)*coordel(i,6) + coordel(i,1)*coordel(i,5) +
      coordel(i,3)*coordel(i,4)...
829     - coordel(i,2)*coordel(i,4) - coordel(i,3)*coordel(i,5) -
      coordel(i,1)*coordel(i,6))/2;
830
831 %coef a, b, c:
832     a(1) = coordel(i,2)*coordel(i,6) - coordel(i,3)*coordel(i,5);
833     b(1) = coordel(i,5) - coordel(i,6);
834     c(1) = coordel(i,3) - coordel(i,2);
835
836     a(2) = coordel(i,3)*coordel(i,4) - coordel(i,1)*coordel(i,3);
837     b(2) = coordel(i,6) - coordel(i,4);
838     c(2) = coordel(i,1) - coordel(i,3);
839
840     a(3) = coordel(i,1)*coordel(i,5) - coordel(i,2)*coordel(i,4);
841     b(3) = coordel(i,4) - coordel(i,5);
842     c(3) = coordel(i,2) - coordel(i,1);
843
844 %Fun es phi:
845

```

```

846 phi1 = (xi1 - (xi1*xi2^2 - xi1^2*xi2)+(xi3*xi1^2 - xi3^2*xi1));
847 phi2 = (1/2)*(-b(3)*xi1*xi2 + b(2)*xi3*xi1 + b(3)*(xi1*xi2^2 - xi1
      ^2*xi2) + b(2)*(xi3*xi1^2 - xi3^2*xi1));
848 phi3 = (1/2)*(c(3)*xi1*xi2 - c(2)*xi3*xi1 - c(3)*(xi1*xi2^2 - xi1
      ^2*xi2) - c(2)*(xi3*xi1^2 - xi3^2*xi1));
849 phi4 = xi2 + (xi1*xi2^2 - xi1^2*xi2) - (xi2*xi3^2 - xi2^2*xi3);
850 phi5 = (1/2)*(b(3)*xi1*xi2 - b(1)*xi2*xi3 + b(3)*(xi1*xi2^2 - xi1
      ^2*xi2) + b(1)*(xi2*xi3^2 - xi2^2*xi3));
851 phi6 = (1/2)*(-c(3)*xi1*xi2 + c(1)*xi2*xi3 - c(3)*(xi1*xi2^2 - xi1
      ^2*xi2) - c(1)*(xi2*xi3^2 - xi2^2*xi3));
852 phi7 = xi3 + (xi2*xi3^2 - xi2^2*xi3) - (xi3*xi1^2 - xi3^2*xi1);
853 phi8 = (1/2)*(b(1)*xi2*xi3 - b(2)*xi3*xi1 + b(1)*(xi2*xi3^2 - xi2
      ^2*xi3) + b(2)*(xi3*xi1^2 - xi3^2*xi1));
854 phi9 = (1/2)*(-c(1)*xi2*xi3 + c(2)*xi3*xi1 - c(1)*(xi2*xi3^2 - xi2
      ^2*xi3) - c(2)*(xi3*xi1^2 - xi3^2*xi1));
855
856 %Aplica dados na matriz funcoes de forma:
857
858 phi(1,1) = phi1;
859 phi(1,2) = phi2;
860 phi(1,3) = phi3;
861 phi(1,4) = phi4;
862 phi(1,5) = phi5;
863 phi(1,6) = phi6;
864 phi(1,7) = phi7;
865 phi(1,8) = phi8;
866 phi(1,9) = phi9;
867
868
869 %Primeira linha da matriz de derivadas:
870     for j=1:9
871         d1(j) = (b(1)^2*(diff(diff(phi(1,j),xi1),xi1)) + b(2)^2*(diff(
            diff(phi(1,j),xi2),xi2)) +...
872         b(3)^2*(diff(diff(phi(1,j),xi3),xi3)) + 2*b(1)*b(2)*(diff(diff(

```

```

    phi(1,j),xi1),xi2))+...
873 2*b(1)*b(3)*(diff(diff(phi(1,j),xi3),xi1)) + 2*b(2)*b(3)*(diff(
    diff(phi(1,j),xi3),xi2)));
874     end
875
876 %Segunda linha da matriz de derivadas:
877     for j=1:9
878 d2(j) = (c(1)^2*(diff(diff(phi(1,j),xi1),xi1)) + c(2)^2*(diff(
    diff(phi(1,j),xi2),xi2)) +...
879 c(3)^2*(diff(diff(phi(1,j),xi3),xi3)) + 2*c(1)*c(2)*(diff(diff(
    phi(1,j),xi1),xi2))+...
880 2*c(1)*c(3)*(diff(diff(phi(1,j),xi3),xi1)) + 2*c(2)*c(3)*(diff(
    diff(phi(1,j),xi3),xi2)));
881     end
882
883
884 %Terceira linha da matriz de derivadas:
885     for j=1:9
886 d3(j) = (2*(b(1)*c(1)*(diff(diff(phi(1,j),xi1),xi1)) + b(2)*c(2)
    *(diff(diff(phi(1,j),xi2),xi2)) +...
887     b(3)*c(3)*(diff(diff(phi(1,j),xi3),xi3)) + (b(1)*c(2) + b(2)
    *c(1))*(diff(diff(phi(1,j),xi2),xi1)) + ...
888     (b(1)*c(3) + b(3)*c(1))*(diff(diff(phi(1,j),xi3),xi1)) + (b
    (2)*c(3) + b(3)*c(2))*(diff(diff(phi(1,j),xi3),xi2)));
889     end
890
891
892 %Multiplica as derivadas pelo vetor de deslocamentos:
893 del2w1 = -(1/(4*Ael(i)^2))*d1*u;
894
895 del2w2 = -(1/(4*Ael(i)^2))*d2*u;
896
897 del2w3 = -(1/(4*Ael(i)^2))*d3*u;
898

```

```
899
900 %Calcula os momentos:
901 D = (E*t^3)/(12*(1-pss^2));
902 Mx = -D*(del2w1 + (pss*del2w2));
903 My = -D*(del2w2 + (pss*del2w1));
904 Mxy = -(D/2)*(1+pss)*(del2w3);
905
906 %Para o primeiro no:
907
908 % xi1 = 1;
909 % xi2 = 0;
910 % xi3 = 0;
911
912 Mx1 = -D*(del2w1 + pss*del2w2);
913 My1 = -D*(del2w2 + pss*del2w1);
914 Mxy1 = -(D/2)*(1+pss)*(del2w3);
915
916 Mx1 = subs(Mx1,1); %substitui a variavel por um valor numerico
917 Mx1 = subs(Mx1,0);
918 Mx1 = subs(Mx1,0);
919 My1 = subs(My1,1);
920 My1 = subs(My1,0);
921 My1 = subs(My1,0);
922 Mxy1 = subs(Mxy1,1);
923 Mxy1 = subs(Mxy1,0);
924 Mxy1 = subs(Mxy1,0);
925
926
927 Mx1 = double(Mx1); %Transforma o valor obtido em decimal
928 My1 = double(My1);
929 Mxy1 = double(Mxy1);
930
931 %Para o segundo no:
932
```



```
933 % xi1 = 0;
934 % xi2 = 1;
935 % xi3 = 0;
936
937 Mx2 = -D*(del2w1 + pss*del2w2);
938 My2 = -D*(del2w2 + pss*del2w1);
939 Mxy2 = -(D/2)*(1+pss)*(del2w3);
940
941 Mx2 = subs(Mx2,0);
942 Mx2 = subs(Mx2,1);
943 Mx2 = subs(Mx2,0);
944 My2 = subs(My2,0);
945 My2 = subs(My2,1);
946 My2 = subs(My2,0);
947 Mxy2 = subs(Mxy2,0);
948 Mxy2 = subs(Mxy2,1);
949 Mxy2 = subs(Mxy2,0);
950
951 Mx2 = double(Mx2);
952 My2 = double(My2);
953 Mxy2 = double(Mxy2);
954
955 %Para o terceiro no:
956
957 % xi1 = 0;
958 % xi2 = 0;
959 % xi3 = 1;
960
961 Mx3 = -D*(del2w1 + pss*del2w2);
962 My3 = -D*(del2w2 + pss*del2w1);
963 Mxy3 = -(D/2)*(1+pss)*(del2w3);
964
965 Mx3 = subs(Mx3,0);
966 Mx3 = subs(Mx3,0);
```

```

967 Mx3 = subs(Mx3,1);
968 My3 = subs(My3,0);
969 My3 = subs(My3,0);
970 My3 = subs(My3,1);
971 Mxy3 = subs(Mxy3,0);
972 Mxy3 = subs(Mxy3,0);
973 Mxy3 = subs(Mxy3,1);
974
975 Mx3 = double(Mx3);
976 My3 = double(My3);
977 Mxy3 = double(Mxy3);
978
979 %Aloca os momentos obtidos em vetores mom1=Mx, mom2=My, mom3=Mxy
980
981 mom1 = [Mx1; Mx2; Mx3];
982 mom2 = [My1; My2; My3];
983 mom3 = [Mxy1; Mxy2; Mxy3];
984
985 %Soma os valores de momento obtidos para cada no:
986 for j=1:3
987     mom(3*conect(i,j)-2) = mom(3*conect(i,j)-2) + mom1(j);
988     mom(3*conect(i,j)-1) = mom(3*conect(i,j)-1) + mom2(j);
989     mom(3*conect(i,j)-0) = mom(3*conect(i,j)-0) + mom3(j);
990 end
991 mom;
992 end
993
994 %Cria um vetor para conter os momentos finais:
995 MOM = zeros(ngdltot,1);
996
997 %Faz a media dos momentos obtidos para nos pertencentes a mais de
    um
998 %elemento:
999 for i=1:nnostot;

```

```

1000 N = 0;
1001 for j=1:nel;
1002
1003     if i == conect(j,1) | i == conect(j,2) | i == conect(j,3);
1004         N = N+1;
1005     end
1006 end
1007 %Aplica no vetor criado a media obtida:
1008 MOM(3*i-2)=mom(3*i-2)/N;
1009 MOM(3*i-1)=mom(3*i-1)/N;
1010 MOM(3*i-0)=mom(3*i-0)/N;
1011 end
1012
1013
1014 %CRIA A MATRIZ PARA PLOTAR OS MOMENTOS EM X:
1015 k=1;
1016 while k<=nnostot;
1017     for i=1:nnosy;
1018         for j=1:nnosx;
1019             MOMX(i,j)=MOM(3*k-2);
1020             k=k+1;
1021         end
1022     end
1023 end
1024
1025 %CRIA A MATRIZ PARA PLOTAR OS MOMENTOS EM Y:
1026 k=1;
1027 while k<=nnostot;
1028     for i=1:nnosy;
1029         for j=1:nnosx;
1030             MOMY(i,j)=MOM(3*k-1);
1031             k=k+1;
1032         end
1033     end

```

```
1034 end
1035
1036 %CRIA A MATRIZ PARA PLOTAR OS MOMENTOS XY:
1037 k=1;
1038 while k<=nnostot;
1039     for i=1:nnosy;
1040         for j=1:nnosx;
1041             MOMXY(i,j)=MOM(3*k-0);
1042             k=k+1;
1043         end
1044     end
1045 end
1046
1047 %Cria vetores de dimensoes x e y:
1048
1049     x = [0:dx:dimx];
1050     y = [0:dy:dimy];
1051
1052 %Plota os deslocamentos:
1053 figure
1054 [X,Y] = meshgrid(x,y);
1055 grafdesl=surf(X,Y,w,'FaceAlpha',1);
1056 colormap(jet);
1057 title('Placa no seu estado deformado.');
```

```
1058 colorbar;
1059
1060 %Plota o Momento em X:
1061 figure
1062 [X,Y] = meshgrid(x,y);
1063 grafmomx = contourf(X,Y,MOMX);
1064 colormap(jet);
1065 title('Distribui o de Mx.');
```

```
1066 colorbar;
1067
```

```
1068 %Plota o Momento em X:
1069 figure
1070 [X,Y] = meshgrid(x,y);
1071 grafmomy = contourf(X,Y,MOMY);
1072 colormap(jet);
1073 title('Distribui  o de My.');
```

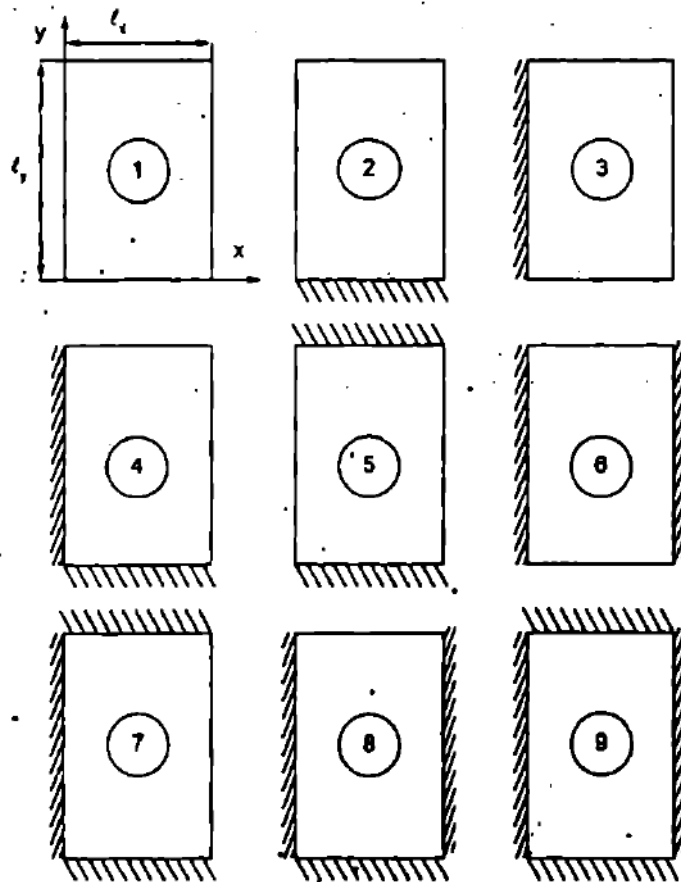
```
1074 colorbar;
1075
1076 %Plota o Momento em XY:
1077 figure
1078 [X,Y] = meshgrid(x,y);
1079 grafmomxy = contourf(X,Y,MOMXY);
1080 colormap(jet);
1081 title('Distribui  o de Mxy.');
```

```
1082 colorbar;
1083
1084 %FIM
```

**ANEXO A - TABELAS DE BARES E CZÉRNÝ**

Figura 36 – Casos de vinculação - tabela de Bares



Fonte: Carvalho e Figueiredo Filho (2014)

$$f = \frac{p \ell_x^4}{E h^3} \cdot \frac{\alpha}{100}$$

$$\lambda = \frac{\ell_y}{\ell_x}$$

$$m_x = \mu_x \cdot \frac{p \ell_x^2}{100}$$

$$m_y = \mu_y \cdot \frac{p \ell_x^2}{100}$$

Figura 37 – Coeficientes  $\alpha$  para o cálculo de flechas - tabela de Bares adaptada para  $\nu = 0,2$ 

$\lambda$	Caso 1	Caso 2	Caso 3	Caso 4	Caso 5	Caso 6	Caso 7	Caso 8	Caso 9
1,00	4,67	3,20	3,20	2,42	2,21	2,21	1,81	1,81	1,46
1,05	5,17	3,61	3,42	2,67	2,55	2,31	2,04	1,92	1,60
1,10	5,64	4,04	3,63	2,91	2,92	2,41	2,27	2,04	1,74
1,15	6,09	4,47	3,82	3,12	3,29	2,48	2,49	2,14	1,87
1,20	6,52	4,91	4,02	3,34	3,67	2,56	2,72	2,24	1,98
1,25	6,95	5,34	4,18	3,55	4,07	2,63	2,95	2,33	2,10
1,30	7,36	5,77	4,35	3,73	4,48	2,69	3,16	2,42	2,20
1,35	7,76	6,21	4,50	3,92	4,92	2,72	3,36	2,48	2,30
1,40	8,14	6,62	4,65	4,08	5,31	2,75	3,56	2,56	2,37
1,45	8,51	7,02	4,78	4,23	5,73	2,80	3,73	2,62	2,45
1,50	8,87	7,41	4,92	4,38	6,14	2,84	3,91	2,68	2,51
1,55	9,22	7,81	5,00	4,53	6,54	2,86	4,07	2,53	2,57
1,60	9,54	8,17	5,09	4,65	6,93	2,87	4,22	2,87	2,63
1,65	9,86	8,52	5,13	4,77	7,33	2,87	4,37	2,78	2,68
1,70	10,15	8,87	5,17	4,88	7,70	2,88	4,51	2,79	2,72
1,75	10,43	9,19	5,26	4,97	8,06	2,88	4,63	2,81	2,76
1,80	10,71	9,52	5,36	5,07	8,43	2,89	4,75	2,83	2,80
1,85	10,96	9,82	5,43	5,16	8,77	2,89	4,87	2,85	2,83
1,90	11,21	10,11	5,50	5,23	9,08	2,90	4,98	2,87	2,85
1,95	11,44	10,39	5,58	5,31	9,41	2,90	5,08	2,89	2,88
2,00	11,68	10,68	5,66	5,39	9,72	2,91	5,19	2,91	2,91
$\infty$	15,35	15,35	6,38	6,38	15,35	3,07	6,38	3,07	3,07

Fonte: Carvalho e Figueiredo Filho (2014)



Figura 38 – Coeficientes  $\mu_x$  e  $\mu_y$  para o cálculo de momentos - tabela de Bares adaptada para  $\nu = 0,2$ , casos 1, 2 e 3

$\lambda$	Caso 1		Caso 2			Caso 3		
	$\mu_x$	$\mu_y$	$\mu_x$	$\mu_y$	$\mu_y$	$\mu_x$	$\mu_x$	$\mu_y$
1,00	4,41	4,41	3,07	3,94	8,52	3,94	8,52	3,07
1,05	4,80	4,45	3,42	3,78	8,79	4,19	8,91	2,84
1,10	5,18	4,49	3,77	3,90	9,18	4,43	9,30	2,76
1,15	5,56	4,49	4,14	3,97	9,53	4,64	9,63	2,68
1,20	5,90	4,48	4,51	4,05	9,88	4,85	9,95	2,59
1,25	6,27	4,45	4,88	4,10	10,16	5,03	10,22	2,51
1,30	6,60	4,42	5,25	4,15	10,41	5,20	10,48	2,42
1,35	6,93	4,37	5,60	4,18	10,64	5,36	10,71	2,34
1,40	7,25	4,33	5,95	4,21	10,86	5,51	10,92	2,25
1,45	7,55	4,30	6,27	4,19	11,05	5,64	11,10	2,19

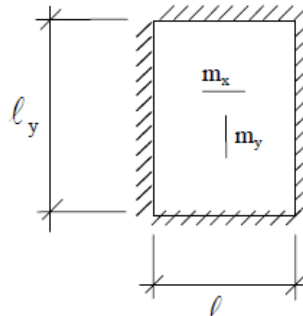
$\lambda$	Caso 1		Caso 2			Caso 3		
	$\mu_x$	$\mu_y$	$\mu_x$	$\mu_y$	$\mu_y$	$\mu_x$	$\mu_x$	$\mu_y$
1,50	7,86	4,25	6,60	4,18	11,23	5,77	11,27	2,12
1,55	8,12	4,20	6,90	4,17	11,39	5,87	11,42	2,04
1,60	8,34	3,14	7,21	4,14	11,55	5,98	11,55	1,95
1,65	8,62	4,07	7,42	4,12	11,67	6,07	11,67	1,87
1,70	8,86	4,00	7,62	4,09	11,79	6,16	11,80	1,79
1,75	9,06	3,96	7,66	4,05	11,88	6,24	11,92	1,74
1,80	9,27	3,91	7,69	3,99	11,96	6,31	12,04	1,68
1,85	9,45	3,83	8,22	3,97	12,03	6,38	12,14	1,64
1,90	9,63	3,75	8,74	3,94	12,14	6,43	12,24	1,59
1,95	9,77	3,71	8,97	3,88	12,17	6,47	12,29	1,54
2,00	10,00	3,64	9,18	3,80	12,20	6,51	12,34	1,48
$\infty$	12,57	3,77	9,18	3,80	12,20	7,61	12,76	1,48

Fonte: Carvalho e Figueiredo Filho (2014)

Figura 39 – Coeficientes para o cálculo de momentos - tabela de Czérny adaptada para  $\nu = 0,2$ 

TABELA 1 - TIPO 1  
Laje com as 4 bordas livremente apoiadas  
(carga uniforme)

$l_y/l_x$	$\alpha_x$	$\alpha_y$	$\beta_x$	$\beta_y$	$\alpha_2$
1,00	22,7	22,7			21,4
1,05	20,8	22,5			19,4
1,10	19,3	22,3			17,8
1,15	18,1	22,3			16,5
1,20	16,9	22,3			15,4
1,25	15,9	22,4			14,3
1,30	15,2	22,7			13,6
1,35	14,4	22,9			12,9
1,40	13,8	23,1			12,3
1,45	13,2	23,3			11,7
1,50	12,7	23,5			11,2
1,55	12,3	23,5			10,8
1,60	11,9	23,5			10,4
1,65	11,5	23,5			10,1
1,70	11,2	23,5			9,8
1,75	10,8	23,5			9,5
1,80	10,7	23,5			9,3
1,85	10,4	23,5			9,1
1,90	10,2	23,5			8,9
1,95	10,1	23,5			8,7
2,00	9,9	23,5			8,6
>2	8,0	23,5			6,7



$$m_x = \frac{p l_x^2}{\alpha_x}$$

$$m_y = \frac{p l_x^2}{\alpha_y}$$

$$w_{\max} = \frac{p l_x^4}{E h^3 \alpha_2}$$

$\nu = 0,2$

Beton-Kalender (1976)

Fonte: Zenzen (2012)